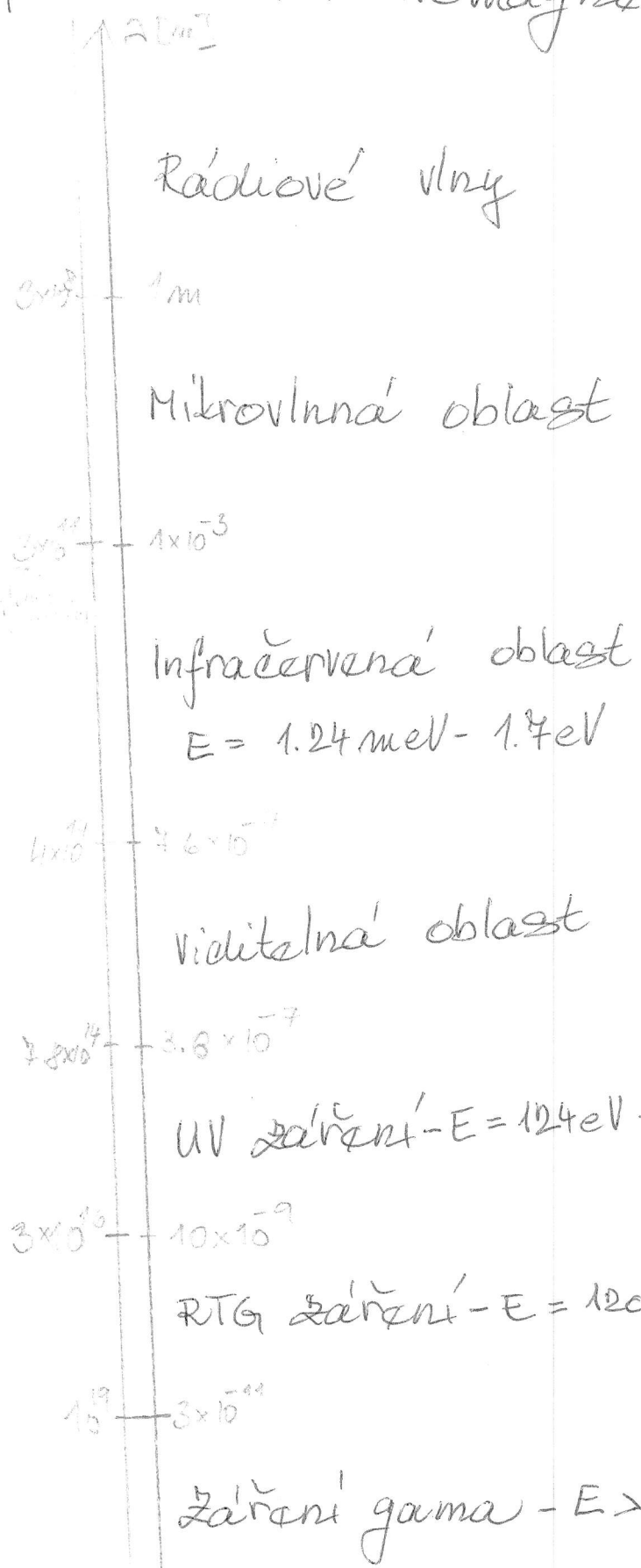


1) Fyzika polovodičů pro optoelektroniku II

Úvod: Světlo - elektromagnetické vlnění

Spektrum elektromagnetického vlnění:

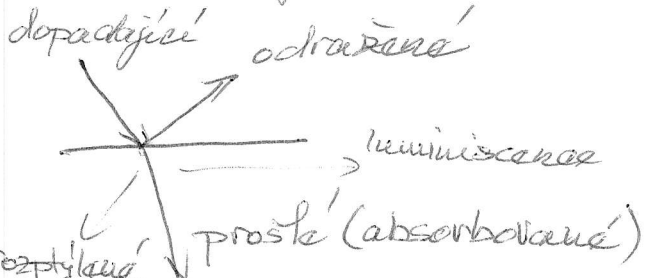


oxitací: rotační pohyby molekul (FIR)
 kmity atomů (iontů) v krystaloch
 a molekulách (FIR, MIR)
 atomů a iontů (elektronové) (FIR-UV)
 plazmy v depozovaných
 polovodičích (FIR - UV)
 plazmy elekt. v kovech (MIR-UV)
 vázaných el. (mezivln.
 přechody) (MIR-UV)

~~UV-A~~ Blízká IR $\lambda = 950 - 1400 \mu\text{m}$
 krátkovlnná $\lambda = 1,4 - 3 \mu\text{m}$ IRB
 Střední IR $\lambda = 3 - 8 \mu\text{m}$
 dlouhovlnná $\lambda = 8 - 15 \mu\text{m}$ IRC
 Daleká IR $\lambda = 15 - 1000 \mu\text{m}$

UV-C $\lambda = 100 - 280 \text{ nm}$
 UV-B $\lambda = 280 - 315 \text{ nm}$
 UV-A $\lambda = 315 - 380 \text{ nm}$

② Světlo jako EM záření dopadá na materiál



• Většina zakázaných pásů v polovodičích do 6 eV
⇒ absorber světla

• optická spektra nesou důležité informace o fyzikálních vlastnostech dané látky

• optické vlastnosti látek jsou důležité pro jejich aplikace v optoelektronice (lasery, diody, detektory, vláknovody)

• Dva přístupy popisu optických vlastností látek:
1) fenomenologický (makroskopický)
2) + mikroskopický (semi-kvantový)

Obsah přednášky: naučit se zacházet s vlnovou teorií na optické úrovni a jak ji spojit s mikroskopického přístupu ⇒ popis různých mechanismů

1) přednášky: doplnit do učeného EM spektra různé mechanismy absorpce v různých materiálech

• prostředí disperzní, absorpční, izotropní, nemagnetická
Doporučená literatura: Yu, Cardona: Fundamentals of semiconductors

2) Y. B. Zaud: Light and Matter

3) Grosso, Pastori - Parravicini: Solid State Physics

4) Born, Wolf: Principles of Optics

+ rozdání články a obrázky

③. Fenomenologický popis interakce elektromagnetické vlny s látkou \Rightarrow
 \Rightarrow látka složená z nabitých částic

• Elektromagnetické vlnění je popsáno vektory $\vec{E}, \vec{B}, \vec{D}, \vec{H}$ ^(pole) \Rightarrow konzervní vektory v celém rozsahu pole, spojivými funkcemi času a prostoru + spojité derivace. Nespojitosti pouze se vyskytují pouze na plochách změny fyzikálních vlastností prostředí

• Zdrojem elektromagnetického pole je rozložení elektrického náboje a proudu

• Vektory elektromagnetického pole splňují Maxwellovy ~~roz~~ rovnice makroskopické Maxwellovy rovnice

$\nabla \times \vec{E}(\vec{r}, t) = -\frac{\partial \vec{B}(\vec{r}, t)}{\partial t}$ Faradayův zákon
Časová změna magnetického pole indukují elektrické pole (uvážte si směr)

$\nabla \times \vec{B}(\vec{r}, t) = \epsilon_0 \mu_0 \frac{\partial \vec{E}(\vec{r}, t)}{\partial t} + \vec{j}(\vec{r}, t)$ Ampérův - Maxwellův zákon
Magnetické pole je vytvořeno elektrickým proudem a elektrickým polem které se mění v čas

\Rightarrow člen $\frac{\partial \vec{E}}{\partial t}$ není skutečný proud

\hookrightarrow období Faradayova zákona \Rightarrow možnost šíření vakuu

$$\textcircled{4} \quad \nabla \cdot \vec{E}(\vec{r}, t) = \frac{\rho(\vec{r}, t)}{\epsilon_0} \quad \text{Gaussův zákon}$$

Elektrické pole produkované elektrickými náboji diverguje od pozitivního náboje a konverguje k negativnímu

Elektrické pole $\vec{E} = \frac{\vec{F}_e}{q_0}$ → testovací náboj (neovlivňuje ostatní)

$$\nabla \cdot \vec{B}(\vec{r}, t) = 0 \quad \text{Gaussův magnetický zákon}$$

Magnetické pole: Pomocí Lorentzovy síly

$$\vec{F}_B = q\vec{v} \times \vec{B} \Rightarrow |\vec{B}| = \frac{|\vec{F}_B|}{q|\vec{v}| \sin \theta}$$

Práce magnetického pole je vždy nulová (síla kolmá na rychlost)

Šíření EM vlnění ve vakuu

- bez zdrojů

$$\text{M.R.:} \quad \nabla \times \vec{E} = - \frac{\partial \vec{B}}{\partial t}$$

$$\nabla \times \vec{B} = \mu_0 \epsilon_0 \frac{\partial \vec{E}}{\partial t}$$

$$\nabla \cdot \vec{B} = 0$$

$$\nabla \cdot \vec{E} = 0$$

ODVOZENÍ VLNOVÉ ROVNICE:

$$\nabla \times \nabla \times \vec{E} = - \frac{\partial}{\partial t} \nabla \times \vec{B}$$

$$\nabla \times \nabla \times \vec{X} = \nabla(\nabla \cdot \vec{X}) - \Delta \vec{X}$$

$$\nabla(\nabla \cdot \vec{E}) - \Delta \vec{E} = \mu_0 \epsilon_0 \frac{\partial^2 \vec{E}}{\partial t^2}$$

bez zdrojů $\Rightarrow 0$

$$\Delta \vec{E} - \mu_0 \epsilon_0 \frac{\partial^2 \vec{E}}{\partial t^2} = 0$$

Vlnová rovnice pro šíření EM vlny ve vakuu

5) Obdobně pro \vec{B}

$$\Rightarrow \Delta \vec{B} - \mu_0 \epsilon_0 \frac{\partial^2 \vec{B}}{\partial t^2} = 0$$

matematické vyjádření vlnové rovnice (1747 d'Alembert)

$$1D: \frac{\partial^2 y}{\partial x^2} - \frac{1}{v^2} \frac{\partial^2 y}{\partial t^2} = 0$$

$\Rightarrow \mu_0 \epsilon_0 = \frac{1}{c^2}$ c... rychlost šíření světla
ve vakuu

$$c = 299\,792\,458 \text{ m/s}$$

$\epsilon_0 = 8.8541878176 \times 10^{-12} \text{ C/Vm}$ permitivita vakua

$\mu_0 = 12.566370614 \times 10^{-7} \text{ mkg}$ permeabilita vakua
 $1.2566370614 \times 10^{-6} \text{ Vs/A}$

$$\vec{J} = 0$$

Rození vlnové rovnice:

$$\vec{A}(\vec{r}, t) = \vec{A}_0 \cdot \cos(\vec{k} \cdot \vec{r} - \omega t + \phi) = \text{Re} \left\{ \vec{A}_0 e^{i(\vec{k} \cdot \vec{r} - \omega t + \phi)} \right\}$$

komplexní amplituda
 $\vec{A}_0 e^{i\phi} \rightarrow$ posunutí fáze

\vec{k} ... vlnový vektor

$$\vec{k} = |\vec{k}| \cdot \hat{k} = (k_x, k_y, k_z) = |\vec{k}| (s_x, s_y, s_z)$$

jednotkový vektor ve směru šíření

Fázová rychlost \Rightarrow rychlost ~~šíření~~ změny fáze

vlny \Rightarrow řešení vlnové rovnice $\vec{A}(\vec{r}, t) = \vec{A}_0 \cos(\vec{k}(\vec{r} - \vec{v}t))$

$$\Rightarrow \vec{v} = \frac{\omega}{\vec{k}}$$

$$\Rightarrow \text{ve vakuu: } c = \frac{\omega}{k} \Rightarrow |\vec{k}| = \frac{\omega}{c} = \frac{2\pi}{\lambda}$$

Souvislost s energií: $E = h\nu = \hbar\omega$

$$\hbar\omega = \frac{2\pi\hbar}{\lambda} = E \Rightarrow E(\text{eV}) = \frac{12398}{\lambda[\mu\text{m}]}$$

$$\textcircled{6} \quad E = h\nu = 1 \text{ eV} \Rightarrow \lambda = 1,2398 \mu\text{m}$$

$$\bar{\nu} = \frac{1}{\lambda} = 8065 \text{ cm}^{-1}$$

$$T = 11600 \text{ K}$$

Planckův zákon:
$$u_{\omega}(T) = \frac{dE}{d\omega} = \frac{h}{4\pi^3 c^3} \frac{\omega^3}{\exp(h\nu/k_B T) - 1}$$

hustota energie záření o frekvenci ω při teplotě T

~~Spektrální reprezentace~~

Rovinná vlna:

$$\vec{E}(\vec{r}, t) = \vec{E}_0 \exp i(\vec{k} \cdot \vec{r} - \omega t)$$

$$\vec{B}(\vec{r}, t) = \vec{B}_0 \exp i(\vec{k} \cdot \vec{r} - \omega t)$$

↓
Dosazení do MR

$$i\vec{k} \times \vec{E} = +i\omega \vec{B} \Rightarrow \vec{B} = \frac{\vec{k} \times \vec{E}}{\omega}$$

$$i\vec{k} \times \vec{B} = -i\mu_0 \epsilon_0 \omega \vec{E}$$

$$\vec{k} \cdot \vec{E} = 0$$

$$\vec{k} \cdot \vec{B} = 0$$

Linearita vlnové rovnice \Rightarrow řešení je ^{obecné} libovolná superpozice harmonických vln ve tvaru

$$\vec{E} = \sum_i \vec{E}_{0i} \exp i(\vec{k}_i \cdot \vec{r} - \omega_i t)$$

$$\vec{B} = \sum_i \frac{\vec{k}_i \times \vec{E}_{0i}}{\omega_i} \exp i(\vec{k}_i \cdot \vec{r} - \omega_i t)$$

④ Nahrazení' samy integrálem \Rightarrow realný' sket

$$\vec{E}(\vec{r}, t) = \frac{1}{\sqrt{2\pi}} \int_{-\infty}^{\infty} \vec{E}(\vec{r}, \omega) e^{-i\omega t} d\omega \dots \text{inverzní Fourierova transformace}$$

$\vec{E}(\vec{r}, \omega) \dots$ spektrum \rightarrow obsahuj' $e^{i\vec{k}(\omega) \cdot \vec{r}}$

$$\vec{E}(\vec{r}, \omega) = \frac{1}{\sqrt{2\pi}} \int_{-\infty}^{\infty} \vec{E}(\vec{r}, t) e^{i\omega t} dt$$

řádkování' grupové rychlosti \Rightarrow rychlost šířeni' vlnového balíku

$$\vec{v}_g = \frac{\partial \omega}{\partial \vec{k}}; \quad v_g = \frac{\partial \omega}{\partial k}$$

Vakuum - nedišperzní prostředí \rightarrow všechny vlny se šíř' stejně rychle

$$\Rightarrow \omega = ck$$

$$v_g = \frac{\partial ck}{\partial k} = \underline{\underline{c}}$$

Pro jednu frekvenci prostorová část $\vec{E}(\vec{r}, t)$ splňuje Helmholtzovu rovnici

$$\underline{\underline{\text{Materiálové prostředí}}} \quad \Delta \vec{E}(\vec{r}) + k^2 \vec{E}(\vec{r}) = 0$$

Doposud šířeni' ve vakuu \Rightarrow bez zdroje

generace EM pole: Elektrické pole je excitováno nabojí a časově proměnnými magnetickými poli

Magnetické pole je generováno elektrickými proudy a časově proměnnými elektrickými poli

\Rightarrow Elektromagnetické pole je excitováno (porucha) vyvolána' elektrickými nabojí

Ⓟ Maxwellovy rovnice

$$\nabla \times \vec{E} = -\frac{\partial \vec{B}}{\partial t}$$

$$\nabla \times \vec{B} = \mu_0 \vec{j} + \mu_0 \epsilon_0 \frac{\partial \vec{E}}{\partial t}$$

$$\nabla \cdot \vec{E} = \frac{\rho}{\epsilon_0}$$

$$\nabla \cdot \vec{B} = 0$$

vliv nábojů (prostředí): prostřednictvím ϵ, \vec{j}

Multipólový rozvoj ρ a \vec{j}

$$\vec{j} = \vec{j}_f + \frac{\partial \vec{P}}{\partial t} + \nabla \times \vec{M} + \frac{\partial}{\partial t} (\nabla \cdot \vec{Q}) + \dots$$

$$\rho = \rho_f - \nabla \cdot \vec{P} - \nabla (\nabla \cdot \vec{Q}) - \dots$$

\vec{P} ... hustota dipólového elektrického momentu

\vec{Q} ... hustota kvadrupólového elektrického momentu

\vec{M} ... hustota magnetického momentu

ρ_f ... hustota volných nábojů (monopólů)

\vec{j}_f ... hustota volných proudů

$\vec{j}_f = \vec{j}_s + \vec{j}_e$ hustota vodivostních proudů

hustota proudů z vnějších zdrojů \rightarrow většinou = 0

Ohmův zákon: $\vec{j}_e = \sigma \vec{E}$
měrná vodivost

Dipólová hypotéza: Pokud jde o elektrické vlastnosti je neutrální dielektrikum ekvivalentní souboru elektrických dipólů

⑨ Pokiaľ jde o magnetická vlastnosti je neutrálni dielektrikum ekvivalentní souboru magnetických dipolů

Elektrostatická a magnetostatická definice
 \vec{D} a \vec{H}

2. MR:

$$\epsilon_0 \nabla \cdot \vec{E} = \rho = \rho_f - \nabla \cdot \vec{P}$$

$$\nabla \cdot (\epsilon_0 \vec{E} + \vec{P}) = \rho_f \Rightarrow \boxed{\vec{D} = \epsilon_0 \vec{E} + \vec{P}}$$

$$\downarrow$$

$$\boxed{\nabla \cdot \vec{D} = \rho_f}$$

$$\nabla \times \vec{B} = \mu_0 \vec{j} = \mu_0 (\vec{j}_f + \vec{j}_m) = \mu_0 (\vec{j}_f + \nabla \times \vec{M})$$

$$\nabla \times (\vec{B}/\mu_0 - \vec{M}) = \vec{j}_f \Rightarrow \boxed{\nabla \times \vec{H} = \vec{j}_f}$$

$$\boxed{\vec{H} = \vec{B}/\mu_0 - \vec{M}} \quad \vec{B} = \mu_0 \vec{H} + \underbrace{\mu_0 \vec{M}}_{\vec{P}_m}$$

$$\nabla \times \vec{B} = \mu_0 \vec{j}_f + \mu_0 \epsilon_0 \frac{\partial \vec{E}}{\partial t}$$

$$\nabla \times \vec{B} = \mu_0 (\vec{j}_f + \frac{\partial \vec{P}}{\partial t} + \nabla \times \vec{M}) + \mu_0 \epsilon_0 \frac{\partial \vec{E}}{\partial t}$$

$$\nabla \times (\vec{B}/\mu_0 - \vec{M}) = \mu_0 \vec{j}_f + \cancel{\mu_0 \frac{\partial \vec{P}}{\partial t}} + \mu_0 \frac{\partial}{\partial t} (\epsilon_0 \vec{E} + \vec{P})$$

$$\boxed{\nabla \times \vec{H} = \mu_0 \vec{j}_f + \mu_0 \frac{\partial \vec{D}}{\partial t}}$$

Makroskopická polarizace \vec{P} :

$$\vec{P} = \vec{D} - \epsilon_0 \vec{E}$$

- v prázdňím prostoru je nulový \Rightarrow vázan se složením dielektrika

M.R.: $\nabla \cdot \vec{E} = \frac{1}{\epsilon_0} (\rho_f - \nabla \cdot \vec{P})$

10

- účinek dielektrika na pole lze vysvětlit ekvivalentní objemovou hustotou náboje

$$\rho' = -\nabla \cdot \vec{P}$$

V každém vnitřním bodě dielektrika splňuje potenciál upravenou Poissonovu rovnici

$$\Delta \varphi = -\frac{1}{\epsilon_0} (\rho + \rho')$$

Potenciál v libovolném bodě dielektrika:

$$\varphi(x, y, z) = \frac{1}{4\pi\epsilon_0} \int \frac{\rho - \nabla \cdot \vec{P}}{r} dV'$$

~~upravený integrál pomocí vztahu~~

~~$$\frac{\nabla \cdot \vec{P}}{r} = \nabla \cdot \left(\frac{\vec{P}}{r} \right) - \nabla \cdot \left(\frac{1}{r} \right) \vec{P}$$~~

\vec{P} lze považovat za moment dipolů na jednotku objemu, nebo-li polarizaci

⇒ Přítomnost hmotného tělesa (paměť látky) v elektromagnetickém poli může být plně vyjádřena ekvivalentním rozložením hustoty náboje $-\nabla \cdot \vec{P}$ a ekvivalentním rozložením hustoty proudu $(\partial \vec{P} / \partial t) + \nabla \times \vec{M}$

V izotropních prostředích jsou \vec{P} a \vec{M} rovnoběžné s \vec{E} a \vec{H}

Vztah mezi \vec{E} a \vec{P} můžeme vyjádřit pomocí:

$$\vec{P} = \epsilon_0 [\chi_c^{(1)} \vec{E} + \chi_c^{(2)} \vec{E}^2 + \chi_c^{(3)} \vec{E}^3 + \dots]$$

11) Pro náš případ \Rightarrow lineární prostředí

$$\vec{P} = \epsilon_0 \chi_e^{(1)} \vec{E}$$

Dosažením do vztahu pro \vec{D}

$$\vec{D} = \epsilon_0 \vec{E} + \vec{P} = \epsilon_0 \vec{E} + \epsilon_0 \chi_e \vec{E} = \epsilon_0 \epsilon_r \vec{E} = \epsilon \vec{E}$$

ϵ_r ... relativní permitivita

$$\epsilon_r = 1 + \chi_e$$

Obdobně pro \vec{M} ... lineární prostředí

$$\vec{B} = \mu_0 \vec{H} + \mu_0 \vec{M} = \mu_0 \vec{H} + \mu_0 \chi_m^{(1)} \vec{H} = \mu_0 \mu_r \vec{H} = \mu \vec{H}$$

$$\mu_r = 1 + \chi_m$$

- popisují jak materiál reaguje na pole

Vlnová rovnice v prostředí bez volných nábojů a proudů \Rightarrow dielektrikum

$$\begin{aligned} \nabla \cdot \vec{D} &= 0 & \nabla \times \vec{E} &= -\frac{\partial \vec{B}}{\partial t} \\ \nabla \cdot \vec{B} &= 0 & \nabla \times \vec{H} &= \frac{\partial \vec{D}}{\partial t} \end{aligned}$$

$$\nabla \times \nabla \times \vec{E} = \frac{\mu_0}{\mu} \nabla \times \vec{H} = -\mu \frac{\partial^2 \vec{D}}{\partial t^2}$$

$$\Delta \vec{E} - \mu \epsilon \frac{\partial^2 \vec{E}}{\partial t^2} = 0$$

$$\frac{1}{n^2} = \mu \epsilon = \mu_0 \epsilon_0 \mu_r \epsilon_r = \frac{1}{c^2} \mu_r \epsilon_r = \frac{1}{c^2} \cdot \underline{n^2}$$

\hookrightarrow index lomu /
materiálu

Řešení ve tvaru

$$\vec{E}(\vec{r}, t) = \vec{E}_0 e^{i(\vec{k} \cdot \vec{r} - \omega t)}$$

$$k^2 = \frac{\omega^2}{c^2} \cdot n^2$$

$$\downarrow$$
$$\underline{\underline{|k| = \frac{\omega}{c} \cdot n}}$$

Pro viditelné optické frekvence $\mu_r \approx 1$

$$\Rightarrow \underline{\underline{n = \sqrt{\epsilon_r}}}$$

12

μ_r :	Bi	0,99983	} Diamagnetika
	Ag	0,99997	
	Cu	0,99999	
	W	1,00008	} Paramagnetika
	Al	1,00002	
	Mn	1,00083	

Ferromagnetika \Rightarrow vysoká $\mu_r \Rightarrow$ nelineárny vzťah medzi \vec{M} a \vec{H}

ϵ_r :	vzduch	1,00054
	polystyren	2,6
	papír	3,5
	porcelán	6,5
	sklo	7,6
	keramik	12
	voda	80 ^{??}

Polarizovateľnosť: u molekúl $\vec{p} = \alpha \vec{E}$ dipól. moment
 - deformovateľnosť elektrónového obalu molekuly

Ferroelektrika \Rightarrow vysoká $\epsilon_r \Rightarrow$ majú nenulovú spontánnu polarizáciu

Absorbujúci / vodič / prostredie

Dotec $\vec{j} = 0$ pretože $\nabla = 0$

Nyní $\nabla \neq 0 \Rightarrow$ vodič

13) prostředí bez vnějších zdrojů

$$\text{M. R.: } \nabla \cdot \vec{E} = 0 \quad \nabla \cdot \vec{B} = 0$$

$$\nabla \times \vec{E} = -\frac{\partial \vec{B}}{\partial t}$$

$$\nabla \times \vec{B} = \vec{j} + \mu \epsilon \frac{\partial \vec{E}}{\partial t}$$

$$\vec{j} = \nabla \times \vec{E}$$

$$\nabla \times \nabla \times \vec{E} = -\frac{\partial}{\partial t} (\nabla \times \vec{B}) = -\frac{\partial}{\partial t} (\mu \nabla \times \vec{E} + \mu \epsilon \frac{\partial \vec{E}}{\partial t})$$

$$-\Delta \vec{E} = -\mu \nabla \frac{\partial \vec{E}}{\partial t} - \mu \epsilon \frac{\partial^2 \vec{E}}{\partial t^2}$$

$$\boxed{\Delta \vec{E} - \mu \nabla \frac{\partial \vec{E}}{\partial t} - \mu \epsilon \frac{\partial^2 \vec{E}}{\partial t^2} = 0} \quad \text{Telegrafní rovnice}$$

Popisuje šíření EM vlny v prostředí s vodivostí σ

V oblasti, kde vodivost není nulová, nemohou být trvale rozloženy volné náboje

Důkaz pro homogenní, izotropní, lineární prostředí:

$$\nabla \times \vec{B} = \vec{j} + \mu \epsilon \frac{\partial \vec{E}}{\partial t} \quad / \nabla \cdot$$

$$\nabla \cdot (\nabla \times \vec{B}) = \mu \nabla \cdot \vec{j} + \mu \frac{\partial}{\partial t} (\nabla \cdot \vec{B})$$

$$\nabla \cdot \vec{j} + \frac{\partial \rho}{\partial t} = 0$$

$$\nabla \cdot \nabla \vec{E} + \frac{\partial \rho}{\partial t} = 0$$

$$\nabla \cdot \vec{E} = \frac{\rho}{\epsilon}$$

$$\boxed{\frac{\partial \rho}{\partial t} + \frac{\sigma}{\epsilon} \rho = 0}$$

$$\text{Řešení: } \frac{d\rho}{\rho} = -\frac{\sigma}{\epsilon} dt$$

$$\rho = \rho_0 e^{-\frac{\sigma}{\epsilon} t} = \rho_0 e^{-\frac{t}{\tau}}$$

14) $\tau_D = \frac{\epsilon}{\sigma}$... relaxační doba dielektrika

$$\text{Cu: } \sigma = 6 \cdot 10^8 \frac{\text{F}}{\text{m} \cdot \text{s}} \quad \tau_D = \frac{9 \cdot 10^{-12} \cdot 10}{6 \cdot 10^8} = 1,3 \cdot 10^{-19} \text{ s}$$

⇒ velmi krátká relaxační doba

⇒ $\rho_f = 0 \Rightarrow \nabla \cdot \vec{D} = 0$ oprávněný předpoklad
c. b. d.

⇒ mořská voda $2 \cdot 10^{-10} \text{ s}$

destilovaná voda (špatný vodič) $< 10^{-6} \text{ s}$

⇒ izolanty ⇒ křemenné sklo $\Rightarrow 10^6 \text{ s} \Rightarrow \sigma \rightarrow 0 \Rightarrow \rho \Rightarrow \rho_0$

① Fyzika polovodičů pro optoelektroniku II

Řešení telegrafní rovnice:

$$\Delta \vec{E} - \mu \sigma \frac{\partial \vec{E}}{\partial t} - \mu \epsilon \frac{\partial^2 \vec{E}}{\partial t^2} = 0$$

Řešení ve tvaru rovinné vlny

$$\vec{E} = \vec{E}_0 e^{i(\vec{k} \cdot \vec{r} - \omega t)}; \quad \vec{k} = k \hat{z} = \frac{\omega}{c} N \hat{z}$$

dosazení do telegrafní rovnice

$$-k^2 + i\mu\sigma\omega + \mu\epsilon\omega^2 = 0$$

$$k^2 = i\mu\sigma\omega + \mu\epsilon\omega^2$$

$$\frac{k^2}{\omega^2} = \mu\epsilon \left(1 + \frac{i\sigma}{\epsilon\omega}\right) = \frac{N^2}{c^2}$$

$$N^2 = c^2 \mu\epsilon \left(1 + \frac{i\sigma}{\epsilon\omega}\right) \quad \mu\epsilon = \mu_0 \epsilon_0 \epsilon_r \mu_r = \frac{1}{c^2} \epsilon_r \mu_r$$

$$N^2 = \mu_r \epsilon_r \left(1 + \frac{i\sigma}{\epsilon\omega}\right) \dots \text{komplexní index lomu}$$

$$\mu_r = 1$$

$$N^2 = \epsilon_r + \frac{i\sigma}{\epsilon_0 \omega} \quad N = n + i\kappa \quad \kappa \dots \text{index extinkce}$$

$$\text{z toho plyne: } n^2 - \kappa^2 = \epsilon_r \quad (1)$$

$$2n\kappa = \frac{\sigma}{\omega \epsilon_0} \quad (2)$$

Vztah pro n^2 :

$$\text{Vyjádříme } \kappa \text{ z (2)} \Rightarrow \kappa = \frac{\sigma}{\omega \epsilon_0 2n} \text{ a dosadíme}$$

do (1)

$$n^2 - \frac{\sigma^2}{4m^2 \omega^2 \epsilon_0^2} = \epsilon_r$$

↓

$$4m^4 \omega^2 \epsilon_0^2 - \epsilon_r 4m^2 \omega^2 \epsilon_0^2 - \sigma^2 = 0$$

② kvadratická rovnice pro n^2

$$n^2 = \frac{-b \pm \sqrt{b^2 - 4ac}}{2a}$$

$$n^2 = \frac{4\epsilon_r \omega^2 \epsilon_0^2 + \sqrt{16\epsilon_r^2 \omega^4 \epsilon_0^4 + 16\omega^2 \epsilon_0^2 \sigma^2}}{2 \cdot 4\epsilon_r \omega^2 \epsilon_0^2}$$

$$n^2 = \frac{4\epsilon_r \omega^2 \epsilon_0^2 + \sqrt{16\omega^4 \epsilon_0^4 \left(\epsilon_r^2 + \frac{\sigma^2}{\omega^2 \epsilon_0^2}\right)}}{8\omega^2 \epsilon_0^2}$$

$$n^2 = \frac{4\epsilon_r \cancel{\omega^2 \epsilon_0^2} + 4\cancel{\omega^2 \epsilon_0^2} \left(\epsilon_r^2 + \frac{\sigma^2}{\omega^2 \epsilon_0^2}\right)^{1/2}}{2 \cdot 2 \cancel{\omega^2 \epsilon_0^2}}$$

$$n^2 = \frac{1}{2} \left[\epsilon_r + \epsilon_r \left(1 + \frac{\sigma^2}{\omega^2 \epsilon_0^2 \epsilon_r^2}\right)^{1/2} \right]$$

Obdobně i pro κ^2

$$\kappa^2 = \frac{1}{2} \left[-\epsilon_r + \epsilon_r \left(1 + \frac{\sigma^2}{\omega^2 \epsilon_0^2 \epsilon_r^2}\right)^{1/2} \right]$$

při optických
↑ frekvencích

$\sigma \dots$ ~~optická~~ vodivost

↳ obecně není stejná
jako nízkofrekvenční a
elektrická vodivost

$$\kappa \in \mathbb{C} \Rightarrow \underline{\kappa} \in \mathbb{C}$$

dosazení komplexního κ do předpisu pro
rovinnou vlnu

$$\vec{E}(\vec{r}, t) = \vec{E}_0 e^{i\left(\frac{\omega}{c} \kappa \hat{k} \cdot \vec{r} - \omega t\right)} = \vec{E}_0 e^{i\left(\frac{\omega}{c} \kappa \hat{k} \cdot \vec{r} - \omega t\right)} e^{-\frac{\omega}{c} \kappa \hat{k} \cdot \vec{r}}$$

⇓

$$\vec{E}(\vec{r}, t) = \vec{E}_0 \underbrace{e^{-\frac{\omega}{c} \kappa \hat{k} \cdot \vec{r}}}_{\text{tlum}} \cos\left(\frac{\omega}{c} \kappa \hat{k} \cdot \vec{r} - \omega t\right)$$

V prostředí s nenulovou vodivostí je EM vlna
tlumena. \Rightarrow absorpce

③ pokud $\nabla = 0 \Rightarrow \mu \neq 0$ a $\epsilon = n^2$ reálná šíření

\Rightarrow vlnová optická vlastnosti popsány pomocí $\mu, \epsilon \Rightarrow n$

pokud $\nabla \neq 0 \Rightarrow n^2 \neq \epsilon_n \Rightarrow$ rychlost vlny se definuje jako $\frac{c}{n}$ a na $\frac{c}{\sqrt{\epsilon_n}}$

Tok energie EM vlny dán Poyntingovým vektorem

$\vec{S} = \vec{E} \times \vec{H}$... hustota toku výkonu

$$\vec{S} = \frac{\vec{k} \times \vec{E}_0}{\omega} e^{i(\vec{k} \cdot \vec{r} - \omega t)}$$

$$\vec{S} = \vec{E} \times \frac{\vec{B}}{\mu_0} (*)$$

\rightarrow barve v úvahu pouze reálná pole

$$\vec{E}(\vec{r}, t) = \frac{1}{2} \left[\vec{E}_0 e^{i(\vec{k} \cdot \vec{r} - \omega t)} + \vec{E}_0^* e^{-i(\vec{k}^* \cdot \vec{r} - \omega t)} \right]$$

$$\vec{B}(\vec{r}, t) = \frac{1}{2} \left[\frac{\vec{k} \times \vec{E}_0}{\omega} e^{i(\vec{k} \cdot \vec{r} - \omega t)} + \frac{\vec{k}^* \times \vec{E}_0^*}{\omega} e^{-i(\vec{k}^* \cdot \vec{r} - \omega t)} \right]$$

Po dosazení do (*) $[i(\vec{k} - \vec{k}^*) = -2 \frac{\omega}{c} \hat{k}]$

$$\vec{S} = \frac{1}{4\mu_0} \left[\frac{1}{\omega} (\vec{E}_0 \cdot \vec{E}_0) e^{2i(\vec{k} \cdot \vec{r} - \omega t)} + \frac{1}{\omega} (\vec{E}_0 \cdot \vec{E}_0^*) e^{-2 \frac{\omega}{c} \hat{k} \cdot \vec{r}} + c.c. \right]$$

Středování v čase \rightarrow první člen v závorce $\rightarrow 0$
 \Rightarrow rapidně osciluje \Rightarrow zůstává pouze druhý člen:

$$\langle \vec{S} \rangle_t = \frac{1}{4\mu_0} \frac{k+k^*}{\omega} (\vec{E}_0 \cdot \vec{E}_0^*) e^{-2 \frac{\omega}{c} \hat{k} \cdot \vec{r}} = \frac{1}{24\mu_0} \frac{\rho_{\text{opt}} \cdot n}{\omega} (\vec{E}_0 \cdot \vec{E}_0^*) e^{-2 \frac{\omega}{c} \hat{k} \cdot \vec{r}} = \frac{1}{2} \frac{\epsilon_0 n}{\mu_0 \omega} (\vec{E}_0 \cdot \vec{E}_0^*) e^{-2 \frac{\omega}{c} \hat{k} \cdot \vec{r}}$$

$$\textcircled{4} \quad \langle \vec{S} \rangle_t = \hat{k} \frac{\mu \epsilon_0 c}{2} (\vec{E}_0 \cdot \vec{E}_0^*) e^{-2\frac{\omega x}{c} \hat{k} \cdot \vec{r}}$$

Intenzita záření:

$$I = \frac{\mu \epsilon_0 c}{2} (\vec{E}_0 \cdot \vec{E}_0^*) e^{-2\frac{\omega x}{c} \hat{k} \cdot \vec{r}}$$

$$I = I_0 e^{-\alpha \cdot L} \quad \alpha = \frac{2\omega \kappa}{c} = \frac{4\pi \kappa}{\lambda}$$

$\alpha \dots$ absorbní koeficient

$$\alpha = \underbrace{\alpha_{\text{abs}}}_{\text{absorbce}} + \underbrace{\alpha_{\text{scatt}}}_{\text{rozptyl}}$$

$\textcircled{\text{Pr}} \quad \text{kovy: } \sigma = 10^7 \text{ F/ms; } \lambda = 550 \text{ nm}$

$$\omega = \frac{2\pi c}{\lambda} = 1,1\pi \cdot 10^{15} \text{ Hz}$$

$$\vec{E}(\vec{r}, t) = \vec{E}_0 e^{-\frac{\omega}{c} \kappa \hat{k} \cdot \vec{r}} \cos\left(\frac{\omega}{c} n \hat{k} \cdot \vec{r} - \omega t\right)$$

$$\frac{\sigma}{\omega \epsilon_0} = \frac{10^7}{1,1\pi \cdot 10^{15} \cdot 8,8 \cdot 10^{-12}} \sim 10^3 \gg \epsilon_r$$

imaginární část κ^2 mnohem větší než reálná

$$\text{úbytek } \vec{E}: \sim e^{-\frac{\omega}{c} \kappa \cdot z}$$

$$\text{úbytek na } \frac{1}{e} \Rightarrow \frac{\omega}{c} \kappa \cdot d = 1$$

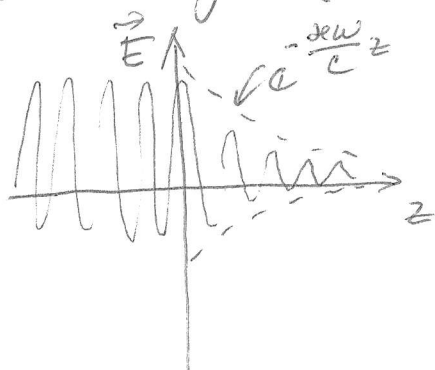
$$d = \frac{c}{\omega \kappa} \dots \text{ hloubka vniknutí (skin depth)}$$

$$\kappa^2 = \frac{1}{2\mu_r} \left[-\epsilon_r + \epsilon_r \left(1 + \frac{\sigma^2}{\omega^2 \epsilon_0^2 \epsilon_r^2} \right)^{1/2} \right]$$

$$\frac{\sigma}{\omega \epsilon_0} \gg \epsilon_r \Rightarrow \kappa^2 = \frac{1}{2\mu_r} \frac{\sigma}{\omega \epsilon_0} \Rightarrow \kappa = \sqrt{\frac{\sigma \mu_r}{2\omega \epsilon_0}}$$

$$d = \frac{c}{\omega R} = \frac{c}{\omega \sqrt{\frac{\mu R \sigma}{2\omega \epsilon_0}}} = \frac{c}{\sqrt{\frac{\mu R \sigma \omega}{2\epsilon_0}}} = \sqrt{\frac{2\epsilon_0}{\mu R \sigma \omega}} = \sqrt{\frac{2}{\mu R \sigma \omega}}$$

skin efekt



$$\lambda_0 = 550 \text{ nm} \Rightarrow d = \frac{\lambda_0}{140} \Rightarrow \text{velmi rychlý útlum}$$

$$\text{Cu: } \lambda_0 = 100 \text{ nm} \Rightarrow d = 0.6 \text{ nm}$$

$$\lambda_0 = 10 \mu\text{m} \Rightarrow d = 6.7 \text{ nm}$$

$$\lambda_0 = 10 \text{ cm} \Rightarrow d = 0.6 \mu\text{m}$$

$$\lambda_0 = 1 \text{ km} \Rightarrow d = 62 \mu\text{m}$$

Komplexní permitivita (dielektrická funkce), optická vodivost, susceptibilita

- popis odrazu materiálu různými vlněnými
- dle toho pomocí n a κ

M.R.

$$\nabla \cdot \vec{D} = \rho_f \quad \nabla \times \vec{E} = -\frac{\partial \vec{B}}{\partial t}$$

$$\nabla \cdot \vec{B} = 0 \quad \nabla \times \vec{H} = \vec{j}_f + \frac{\partial \vec{D}}{\partial t} \quad \& \text{ nemagnetická prostředí}$$

$$\vec{D} = \epsilon_0 \vec{E} + \vec{P} \quad \& \quad \vec{P} = \epsilon_0 \chi \vec{E}$$

$$\nabla \times \vec{H} - \epsilon_0 \frac{\partial \vec{E}}{\partial t} = \vec{j}_f + \frac{\partial \vec{P}}{\partial t}$$

nenulové všude (i ve vakuu) nenulové pouze v nějakém prostředí

levá strana rovnice: předpokládáme řešení \Rightarrow rovnice $\Rightarrow \vec{E}, \vec{H}, \vec{P} \sim e^{i(\vec{k} \cdot \vec{r} - \omega t)}$

$$\rightarrow \hat{\Delta} \vec{E} = \nabla \times \vec{H} - i\epsilon_0 \omega \vec{E} = \hat{\sigma} \vec{E} \quad \hat{\sigma} \dots \text{komplexní opt. vodivost}$$

$$\hat{\sigma} = \sigma_1 + i\sigma_2 = \sigma - i\omega \epsilon_0 \chi$$

⑥ $LB = \frac{i\sigma}{\omega} \frac{\partial \vec{E}}{\partial t} + \epsilon_0 \chi \frac{\partial \vec{E}}{\partial t} = \epsilon_0 \hat{\chi} \frac{\partial \vec{E}}{\partial t}$

$\hat{\chi} = \chi + \frac{i\sigma}{\omega \epsilon_0} \dots \dots$ komplexní susceptibilita

Permitivita: $\epsilon_r = 1 + \chi$

$\Rightarrow \hat{\epsilon}_r = 1 + \hat{\chi} = 1 + \chi + \frac{i\sigma}{\omega \epsilon_0} = \epsilon_r + \frac{i\sigma}{\omega \epsilon_0} \Rightarrow$ komplexní rel. permitivita (dielektrická fca)

$\hat{\epsilon}_r = \epsilon_1 + i\epsilon_2$

Vzájemné vztahy:

$\sigma_1 = \sigma; \sigma_2 = -\omega \epsilon_0 \chi = -\omega \epsilon_0 (\epsilon_r - 1)$

$\epsilon_1 = \epsilon_r; \epsilon_2 = \frac{\sigma}{\omega \epsilon_0} \Rightarrow \epsilon_1 = 1 - \frac{\sigma_2}{\omega \epsilon_0}; \epsilon_2 = \frac{\sigma_1}{\omega \epsilon_0}$

$\sigma_1 = \omega \epsilon_2 \epsilon_0; \sigma_2 = (1 - \epsilon_1) \omega \epsilon_0$

$n^2 - k^2 = \mu_r \epsilon_1$
 $2nk = \mu_r \epsilon_2$ } $\Rightarrow n^2 = \frac{\mu_r}{2} \left[\sqrt{\epsilon_1^2 + \epsilon_2^2} + \epsilon_1 \right]$

$k^2 = \frac{\mu_r}{2} \left[\sqrt{\epsilon_1^2 + \epsilon_2^2} - \epsilon_1 \right]$

$\alpha = \frac{2\omega k}{c} = \mu_r \frac{\omega \epsilon_2}{m \cdot c} = \mu_r \frac{\sigma_1}{m c \epsilon_0}$

Typy prostředí:

- lineární: $\vec{P} = \epsilon_0 \chi \vec{E}$
- izotropní: χ
- anizotropní: $\vec{\chi} = \begin{bmatrix} \chi_{xx} & \chi_{xy} & \chi_{xz} \\ \chi_{yx} & \chi_{yy} & \chi_{yz} \\ \chi_{zx} & \chi_{zy} & \chi_{zz} \end{bmatrix}$
- homogenní: $\chi = \chi(\vec{r})$
- nehomogenní: $\chi = \chi(\vec{r})$
- disperzní: $\chi = \chi(\omega)$

4) Disperzní prostředí

- doposud jsme se nezabývali spektrální závislosti materiálových parametrů
- disperzní prostředí - fázová rychlost závisí na frekvenci ω
- pokud $\sigma \neq 0$ \vec{E} a \vec{B} nekmitají ve fázi
 - pokud uvažujeme vysoké frekvence má látka disperzní vlastnosti i pokud je σ zanedbatelně malá.
- do 10^8 Hz je ϵ_r na ω v podstatě nezávislá ⇒ relaxační doba je kratší než perioda pole
- u nsvolice jsou disperzní vlastnosti spjaté (většinou) pouze s ϵ_r
 - ⇒ materiál nemůže okamžitě reagovat na podnět
- + princip kauzality ⇒ odpověď materiálu na pole nemůže vzniknout dříve než aplikace pole.
- odezva látky popsána $\hat{\epsilon}, \hat{\sigma}, \hat{\chi}, \hat{\chi} \Rightarrow$ komplexní čísla ⇒ komplexní funkce odezvy materiálu
 - ⇒ vždy disipace energie či fázová změna (změna fáze)
 - ⇒ lze odvodit vztahy mezi reálnou a imaginární složkou odezvy

⊕ - časově proměnné EM pole \Rightarrow procesy v látce probíhají s konečnou rychlostí \Rightarrow zpoždění polarizace za příslušnou intenzitou pole

Obecně máme odpověď na ~~vyvolanou~~ vnější podnět popsanou:

$$\hat{X}(\vec{r}, t) = \int \int_{-\infty}^{\infty} \hat{G}(\vec{r}, \vec{r}', t, t') \hat{f}(\vec{r}', t') d\vec{r}' dt'$$

\hat{G} ... funkce odezvy (může být $\hat{E}, \hat{\sigma}, \hat{\chi}, \dots$)
 \hat{f} ... funkce podnětu (\vec{E}_{ext})

Časová ~~lanzalita~~ invariance \Rightarrow volba časového počátku nemění $\hat{G} \Rightarrow \hat{G}(t, t') = \hat{G}(t - t')$

Omezení na prostorově ~~nehomogenní~~ homogenní prostředí \Rightarrow lokální aproximace odezva závisí pouze na podnětu ve stejném místě v prostoru

$$\hat{G}(\vec{r}, \vec{r}', t, t') = \delta(\vec{r} - \vec{r}') \hat{G}(t - t')$$

\downarrow
 $|\vec{r} - \vec{r}'| \gg \lambda$
 \hookrightarrow nepatří pro $\lambda \gg \lambda$

Časová lanzalita: $\hat{G}(t - t') = 0$ pro $t < t'$

\Rightarrow omezení $\int_{-\infty}^{\infty} \int_{-\infty}^t$

Homogenní prostředí
 $\hat{X}(t) = \int_{-\infty}^{\infty} \hat{G}(t - t') \hat{f}(t') dt'$

\Rightarrow Spektrální reprezentace: F. T.

$$\hat{f}(\omega) = \frac{1}{\sqrt{2\pi}} \int_{-\infty}^{\infty} \hat{f}(t) e^{i\omega t} dt$$

$$\hat{X}(\omega) = \frac{1}{\sqrt{2\pi}} \int_{-\infty}^{\infty} \hat{X}(t) e^{i\omega t} dt$$

$$\hat{G}(\omega) = \frac{1}{\sqrt{2\pi}} \int_{-\infty}^{\infty} \hat{G}(t - t') e^{i\omega(t - t')} dt$$

\Rightarrow konvoluce
 $\hat{X}(\omega) = \hat{G}(\omega) \hat{f}(\omega)$

① $\hat{G}(\omega)$... překveně závislá (susceptibilita) ^{zobecněná}

- reálná část popisuje útlum, imaginární část
fázovou změnu (fázový rozdíl) mezi \hat{x} a \hat{f}

Matematika: zavedeme komplexní frekvenci

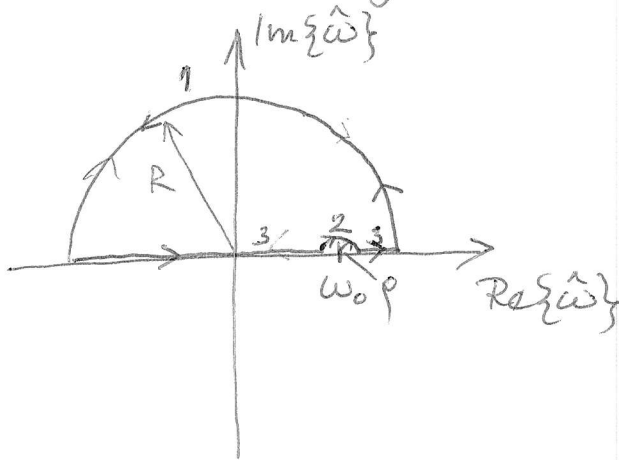
$$\hat{\omega} = \omega_1 + i\omega_2$$

Potom:

$$\hat{G}(\hat{\omega}) = \int \hat{G}(t-t') e^{i\omega_1(t-t') - \omega_2(t-t')} dt$$

Druhý člen $e^{-\omega_2(t-t')}$ určuje jestli je f ee v horní
či dolní poloovině $\Rightarrow t < t'$ (kauzalita) $\hat{G}(\omega)$
určová v horní poloovině (všude končená).

uvážijme integrační cestu:



Cauchyho teorém

$$\oint_C h(z) dz = 0$$

↑ holomorfní

holomorfní
vnitř C

Cauchyho věta o reziduu $\Rightarrow \oint_C \frac{\hat{G}(\hat{\omega}')}{\hat{\omega}' - \hat{\omega}_0} d\hat{\omega}' = 0$

Integrál lze rozepsat jako

$$\underbrace{\int_1 \frac{\hat{G}(\hat{\omega}')}{\hat{\omega}' - \hat{\omega}_0} d\hat{\omega}'}_1 + \underbrace{\int_2 \frac{\hat{G}(\hat{\omega}')}{\hat{\omega}' - \hat{\omega}_0} d\hat{\omega}'}_2 + \underbrace{\int_3 \frac{\hat{G}(\hat{\omega}')}{\hat{\omega}' - \hat{\omega}_0} d\hat{\omega}'}_3 = 0$$

pokud $R \rightarrow \infty$
 $\hat{\omega}' \rightarrow \infty \Rightarrow \hat{G} \rightarrow 0$
 \Downarrow
0

$-\pi \hat{G}(\hat{\omega}_0)$

integrál ve smyslu
hlavní hodnoty

$$P \int_{-\infty}^{\infty} \frac{\hat{G}(\hat{\omega}')}{\hat{\omega}' - \hat{\omega}_0} d\hat{\omega}'$$

$$\int_0^{\infty} \frac{G(\omega')}{\omega' - \omega_0} d\omega'$$

$$\int_{-\pi}^{\pi} \frac{G(\omega')}{e^{i\varphi}} i e^{i\varphi} d\varphi = i G(\omega') \int_{-\pi}^{\pi} d\varphi = \underline{\underline{-2i\pi G(\omega')}}$$

$$\hat{\omega}' - \hat{\omega}_0 = \rho e^{i\varphi}$$

$$\omega' = \omega_0 + \rho e^{i\varphi}$$

$$d\omega' = i \rho e^{i\varphi} d\varphi$$

~~0~~

~~0~~ π

10) Druhý integrál:

bruber
 $\hat{\omega}' = \hat{\omega}_0 + \rho e^{i\varphi}$

$$\int_{\rho}^{\infty} \frac{\hat{G}(\hat{\omega}')}{\hat{\omega}' - \hat{\omega}_0} d\hat{\omega}'$$

použijeme: $\hat{\omega}' - \hat{\omega}_0 = \rho e^{i\varphi}$
 potom $(d\hat{\omega}') = +i\rho e^{i\varphi} d\varphi$

potom pro $\rho \rightarrow 0$

$$\int_{-\pi}^{\pi} \hat{G}(\hat{\omega}_0) i d\varphi = -2\pi \hat{G}(\hat{\omega}_0)$$



⇒ dostaneme: ($\hat{\omega}_0 \rightarrow \hat{\omega}$)

$$2\pi \hat{G}(\omega) = \mathcal{P} \int_{-\infty}^{\infty} \frac{\hat{G}(\omega')}{\omega' - \omega} d\omega'$$

principal value

$$\hat{G}(\omega) = \frac{1}{2\pi} \mathcal{P} \int_{-\infty}^{\infty} \frac{\hat{G}(\omega')}{\omega' - \omega} d\omega'$$

Víme že: $\hat{G}(\omega) = G_1(\omega) + iG_2(\omega)$

Potom: $G_1(\omega) = \frac{1}{\pi} \mathcal{P} \int_{-\infty}^{\infty} \frac{G_2(\omega')}{\omega' - \omega} d\omega'$

$$G_2(\omega) = -\frac{1}{\pi} \mathcal{P} \int_{-\infty}^{\infty} \frac{G_1(\omega')}{\omega' - \omega} d\omega'$$

Kramarovy - Krönigovy relace (Kramers 1927, Krönig 1926) } nazvané

- G_1 a G_2 jsou vzájemné Hilbertovy transformace

Doposud pouze matematická odvození

Nyní spojení s materiálem: Konečná rychlost odrazu materiálu $\Rightarrow \chi, \epsilon$ atd jsou fce ω

⑪ $\vec{P}(\vec{r}, t) = \int_{-\infty}^{t^+} \epsilon_0 \chi(t-t') \vec{E}(\vec{r}, t') dt' \Rightarrow$ předp. *linearita*
 parametová' *fce/fce* odložený
 \parallel
 $\epsilon_0 \chi(t-t')$

$$\vec{D}(\omega) = \epsilon_0 \vec{E}(\omega) + \vec{P}(\omega) = \epsilon_r \epsilon_0 \vec{E}(\omega)$$

$$\Rightarrow \vec{P}(\omega) = \epsilon_0 (\epsilon_r - 1) \vec{E}(\omega) \dots$$

lokální, lineární, synchronní
vztah

předpokládáme: $E \propto e^{-i\omega t}$

$$t - t' = u \quad dt' = -du$$

$$\vec{P}(\vec{r}, t) = \epsilon_0 \int_0^\infty \chi(u) \vec{E}_0(\vec{r}) e^{-i\omega(t-u)} du$$

$$\vec{P}(\vec{r}, t) = \underbrace{\vec{E}_0(\vec{r})}_{\text{instant.}} e^{-i\omega t} \int_0^\infty \chi(u) e^{i\omega u} du$$

okamžitá hodnota $\vec{E}(\vec{r}, t)$

~~u t' ...~~

$$\vec{P}(\vec{r}, t) = \vec{E}(\vec{r}, t) \epsilon_0 \underbrace{\chi(t)}_{\text{F.T.}} \Rightarrow \vec{P}(\omega) = \epsilon_0 \hat{\chi}(\omega) \vec{E}(\omega)$$

$$\int_0^\infty \chi(u) e^{i\omega u} du$$

$$\Rightarrow \hat{\chi}(\omega) = \int_0^\infty \chi(t) e^{i\omega t} dt \Rightarrow \text{disperze}$$

okamžitá odzva:

$$\vec{P}(\vec{r}, t) = \epsilon_0 \int_{-\infty}^t \chi(t-t') \delta(t-t') \vec{E}(\vec{r}, t') dt'$$

\Downarrow
 $\vec{P}(\vec{r}, t) = \epsilon_0 \chi \vec{E}(\vec{r}, t) \Rightarrow$ pokud by odzva
 prostředí byla "nekonečně
 rychlá", bylo by prostředí
 nedisperzní

(12) $\hat{\chi}(-\omega) = \int_0^{\infty} \chi(t) e^{-2i\omega t} dt = \hat{\chi}^*(\omega)$

$$\left. \begin{aligned} \hat{\chi}(-\omega) = \chi^*(\omega) &\Rightarrow \chi_1(-\omega) = \chi_1^*(\omega) \\ &\chi_2(-\omega) = -\chi_2^*(\omega) \end{aligned} \right\} (*)$$

K. K. relace

$$\chi_1(\omega) = \frac{1}{\pi} \mathcal{P} \int_{-\infty}^{\infty} \frac{\chi_2(\omega')}{\omega' - \omega} d\omega'$$

$$\chi_2(\omega) = -\frac{1}{\pi} \mathcal{P} \int_{-\infty}^{\infty} \frac{\chi_1(\omega')}{\omega' - \omega} d\omega'$$

S užitím (*) můžeme vyloučit záporné frekvence

$$\mathcal{P} \int_{-\infty}^{\infty} \frac{f(x)}{x-a} dx = \mathcal{P} \int_0^{\infty} \frac{x[f(x) - f(-x)] + a[f(x) + f(-x)]}{x^2 - a^2} dx$$

$$\chi_1(\omega) = \frac{2}{\pi} \mathcal{P} \int_0^{\infty} \frac{\omega' \chi_2(\omega')}{\omega'^2 - \omega^2} d\omega'$$

~~$\chi_1(\omega) = \chi_1(\omega)$~~

$$\chi_2(\omega) = -\frac{2\omega}{\pi} \mathcal{P} \int_0^{\infty} \frac{\chi_1(\omega')}{\omega'^2 - \omega^2} d\omega'$$

dielektrická funkce:

$$\hat{\chi}(\omega) = \hat{\epsilon}_r(\omega) - 1$$

$$\epsilon_1(\omega) - 1 = \frac{2}{\pi} \mathcal{P} \int_0^{\infty} \frac{\omega' \epsilon_2(\omega')}{\omega'^2 - \omega^2} d\omega'$$

$$\epsilon_2(\omega) = -\frac{2\omega}{\pi} \mathcal{P} \int_0^{\infty} \frac{\epsilon_1(\omega') - 1}{\omega'^2 - \omega^2} d\omega'$$

① Fyzika polovodičů pro optoelektroniku II

Kramers - Krönigovy relace - pokračování

Výsledek k-k relací \Rightarrow pokud nemí absorpcev celém spektrálním oboru ($\epsilon_2(\omega) = 0$)nemí frekvencí závislost $\epsilon_1 \Rightarrow$ nemí disperze

$$\Rightarrow \epsilon_1(\omega) = 1$$

k-k relace pro komponenty komplex.

indexu lomu $n = n(\omega) + i k(\omega)$

$$n(\omega) - 1 = \frac{2}{\pi} \mathcal{P} \int_0^{\infty} \frac{\omega' k(\omega')}{\omega'^2 - \omega^2} d\omega'$$

$$k(\omega) = -\frac{2\omega}{\pi} \mathcal{P} \int_0^{\infty} \frac{n(\omega') - 1}{\omega'^2 - \omega^2} d\omega'$$

Případ Lora: \vec{j} je úměrná \vec{E} vzhledemk Ohmovu zákonu $\Rightarrow \vec{j} \dots$ funkce odezvy

$$\sigma_1(\omega) = \frac{1}{\pi} \mathcal{P} \int_{-\infty}^{\infty} \frac{\sigma_2(\omega')}{\omega' - \omega} d\omega' = \frac{2}{\pi} \mathcal{P} \int_0^{\infty} \frac{\omega' \sigma_2(\omega')}{\omega'^2 - \omega^2} d\omega'$$

$$\sigma_2(\omega) = -\frac{1}{\pi} \mathcal{P} \int_{-\infty}^{\infty} \frac{\sigma_1(\omega')}{\omega' - \omega} d\omega' = -\frac{2\omega}{\pi} \mathcal{P} \int_0^{\infty} \frac{\sigma_1(\omega')}{\omega'^2 - \omega^2} d\omega'$$

$$\left. \begin{array}{l} \sigma_1 = \omega \epsilon_2 \epsilon_0 \\ \sigma_2 = (1 - \epsilon_1) \omega \epsilon_0 \end{array} \right\} \Rightarrow \omega \epsilon_2 \epsilon_0 = -\frac{2}{\pi} \mathcal{P} \int_0^{\infty} \frac{\omega'^2 (\epsilon_1 - 1) \epsilon_0}{\omega'^2 - \omega^2} d\omega'$$

$$(\epsilon_1 - 1) \omega \epsilon_0 = \frac{2\omega}{\pi} \mathcal{P} \int_0^{\infty} \frac{\omega' \epsilon_2 \epsilon_0}{\omega'^2 - \omega^2} d\omega'$$

② 3 podmínka

$$\mathcal{P} \int_0^{\infty} \frac{1}{\omega'^2 - \omega^2} d\omega' = 0 \text{ přepíšeme}$$

k.k. pro $\epsilon_2(\omega')$

$$\begin{aligned} \int_0^{\infty} \frac{\omega'^2 [\epsilon_1(\omega') - 1]}{\omega'^2 - \omega^2} d\omega' &= \int_0^{\infty} \frac{\omega'^2 [\epsilon_1(\omega') - 1]}{\omega'^2 - \omega^2} d\omega' + \omega^2 \int_0^{\infty} \frac{1}{\omega'^2 - \omega^2} d\omega' \\ &= \int_0^{\infty} \frac{\omega'^2 [\epsilon_1(\omega') - 1] + \omega^2 + \epsilon_1(\omega')\omega^2 - \epsilon_1(\omega')\omega^2}{\omega'^2 - \omega^2} d\omega' \\ &= \int_0^{\infty} \frac{[1 - \epsilon_1(\omega')] (\omega'^2 - \omega^2) - \epsilon_1(\omega')\omega^2}{\omega'^2 - \omega^2} d\omega' \stackrel{(*)}{=} \int_0^{\infty} [1 - \epsilon_1(\omega')] d\omega' - \int_0^{\infty} \frac{\epsilon_1(\omega')\omega^2}{\omega'^2 - \omega^2} d\omega' \end{aligned}$$

Statická vodivost: $\omega \rightarrow 0 \Rightarrow \sigma_{dc}$ a $\sigma_2 = (1 - \epsilon_1)\omega\epsilon_0$

$$\sigma_{dc} = \sigma_1(0) \quad \sigma_1(\omega) = \frac{2}{\pi} \int_0^{\infty} \frac{\omega'}{\omega'^2 - \omega^2} (1 - \epsilon_1)\omega'\epsilon_0 d\omega'$$

$$\sigma_1(0) = \frac{2\epsilon_0}{\pi} \int_0^{\infty} [1 - \epsilon_1(\omega')] d\omega' = \sigma_{dc}$$

Potom z (*):

$$\epsilon_2(\omega) = + \frac{2\omega}{\pi} \left[\underbrace{\int_0^{\infty} [1 - \epsilon_1(\omega')] d\omega'}_{\frac{\pi\sigma_{dc}}{2\epsilon_0}} - \int_0^{\infty} \frac{\epsilon_1(\omega')\omega^2}{\omega'^2 - \omega^2} d\omega' \right]$$

$$\Rightarrow \epsilon_2(\omega) = + \frac{\sigma_{dc}}{\omega\epsilon_0} - \frac{2\omega}{\pi} \int_0^{\infty} \frac{\epsilon_1(\omega')}{\omega'^2 - \omega^2} d\omega'$$

Pro materiály s $\sigma_{dc} \neq 0$ imaginární část ϵ^* diverguje pro $\omega \rightarrow 0$

③ Pro izolanty $\nabla_{dc} = 0 \Rightarrow$ klasické k.k. relace

Kauzalita a disperze: viz obrázek ①

- pokud systém ovlivňuje pouze $\omega \Rightarrow$

\Rightarrow odvoď materiálu existuje před dopadajícími μ no

- k.k. relace jsou nekáňní ve frekvenci

\Rightarrow reálná/imaginární odzvy na jedné frekvenci

je určena imaginární/reálnou částí odzvy na celém frekvenčním rozsahu

\Rightarrow to vede k nepřesnostem v určování optických

konstant pomocí k.k. relací z experimentálních

dat. \Rightarrow možnost kvalitativních odhadů pokud

jedna ze složek vykazuje silnou frekvenční

závislost ω vybraných frekvencí

- obrázek ② \Rightarrow obrázek ③ - disperze H_2O

- oblast $dn/d\omega > 0$ normální disperze

- oblast $dn/d\omega < 0$ anomální disperze

\Rightarrow rezonance ν láťce - velká změna indexu

lomu \Rightarrow iřtá absorpce

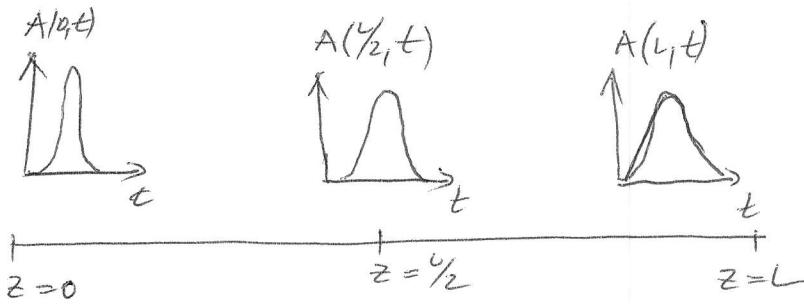
- k indexu lomu na frekvenci ω přispívají

i mělny rezonance s $\omega_r > \omega$

- každá rezonance na ω_r přispívá ke

všem frekvencím $\omega < \omega_r$

④ Disperze má za následek rozšíření pulzů:



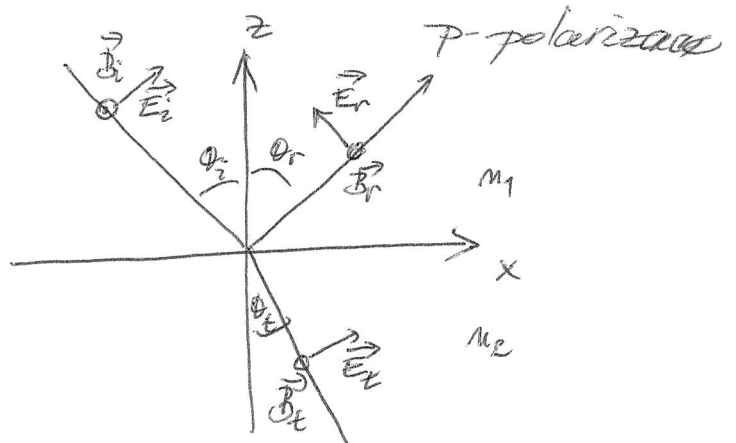
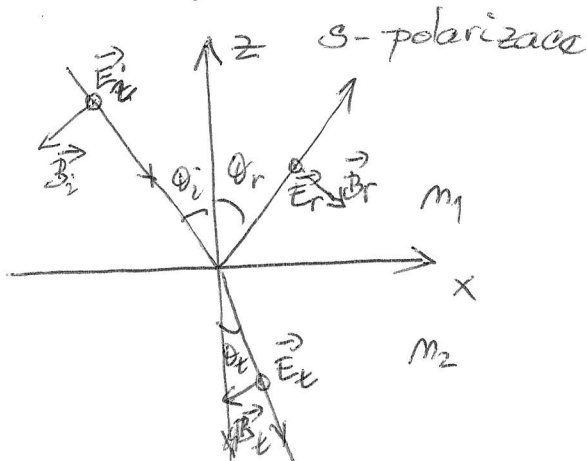
Pulz s centrální frekvencí ω_0 s šíří v disperzním prostředí s grupovou rychlostí $\vec{v}_g = \frac{d\omega}{dk}$ fázová rychlost centrální frekvence: $\vec{v}_p = \hat{k} \frac{c}{n(\omega_0)}$

$$\Rightarrow v_g = \frac{c}{\left[n(\omega_0) + \omega_0 \frac{dn(\omega_0)}{d\omega} \right]}$$

\Rightarrow v disperzním prostředí se pulz natahuje protože spektrální složky se šíří s rozdílnými rychlostmi v_g

Odraž a lom na rovinném rozhraní

- rozhraní \Rightarrow mezi se skokově materiálové parametry $\epsilon_1, \mu_1, n_1, \dots$



⑤ Okrajové podmínky: spojitost tangenčních složek

s-polarizace:

$$E_{oi} + E_{or} = E_{ot} ; B_{oi} \cos \theta_i - B_{or} \cos \theta_r = B_{ot} \cos \theta_t$$

p-polarizace:

$$B_{oi} + B_{or} = B_{ot} ; -E_{oi} \cos \theta_i + E_{or} \cos \theta_r = -E_{ot} \cos \theta_t$$

M.R.: $\nabla \times \vec{E} = -\frac{\partial \vec{B}}{\partial t} \Rightarrow \vec{k} \times \vec{E} = \omega \vec{B}$

$$\frac{\omega}{c} n \vec{k} \times \vec{E}_0 = \omega \vec{B}_0$$

$$\vec{k} \times \vec{E}_0 = \frac{c}{n} \vec{B}_0$$

$$\underline{\underline{\vec{E}_0 = \frac{c}{n} \vec{B}_0}}$$

Potom platí:

k s-polarizace: $E_{oi} + E_{or} = E_{ot}$ & $n_1 E_{oi} \cos \theta_i - n_1 E_{or} \cos \theta_r = n_2 E_{ot} \cos \theta_t$

p-polarizace: $n_1 E_{oi} + n_1 E_{or} = n_2 E_{ot}$

& $-E_{oi} \cos \theta_i + E_{or} \cos \theta_r = -E_{ot} \cos \theta_t$

Vyjadřeni & jedné rovnice a dosazení do druhé:

s-polarizace:

$$r_s = \frac{E_{or}}{E_{oi}} = \frac{n_1 \cos \theta_i - n_2 \cos \theta_t}{n_1 \cos \theta_i + n_2 \cos \theta_t}$$

$$t_s = \frac{E_{ot}}{E_{oi}} = \frac{2n_1 \cos \theta_i}{n_1 \cos \theta_i + n_2 \cos \theta_t}$$

p-polarizace:

$$r_p = \frac{E_{or}}{E_{oi}} = \frac{n_2 \cos \theta_i - n_1 \cos \theta_t}{n_2 \cos \theta_i + n_1 \cos \theta_t}$$

$$t_p = \frac{E_{ot}}{E_{oi}} = \frac{2n_1 \cos \theta_i}{n_2 \cos \theta_i + n_1 \cos \theta_t}$$

Fresnelovy rovnice

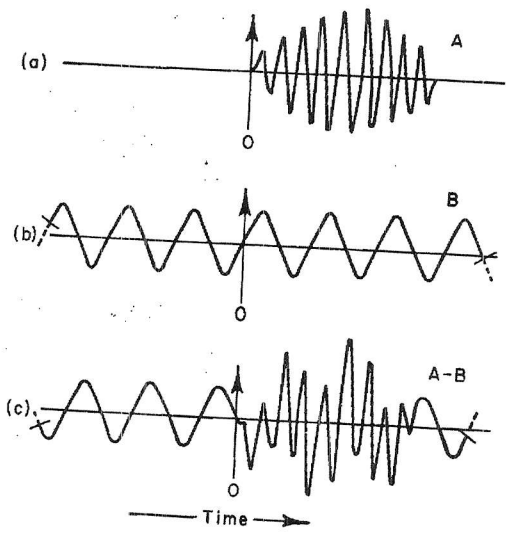


Fig. 6.2 This figure illustrates schematically the basic reason for the logical connection of causality and dispersion. (a) An input A which is zero for times t less than zero is formed as a superposition of many Fourier components (b) such as B , each of which extends from $t = -\infty$ to $t = \infty$. These components produce the zero-input signal by destructive interference for $t < 0$. It is impossible to design a system which absorbs just the component B without affecting other components, for in this case, the output (c) would contain the complement of B during times before the onset of the input wave, in contradiction with causality. Thus causality implies that absorption of one frequency must be accompanied by a compensating shift of phase of other frequencies; the required phase shifts are prescribed by the dispersion relation. [From J. S. Toll, *Phys. Rev.* 104, 1760 (1965).]

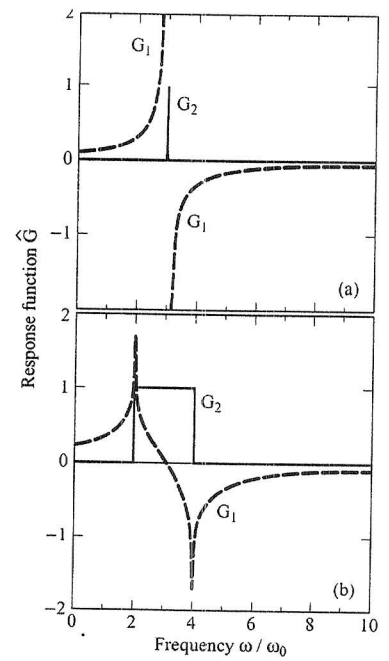


Fig. 3.3. Frequency dependence of the complex response function $\hat{G}(\omega) = G_1(\omega) + iG_2(\omega)$. (a) For $G_2(\omega) = \delta(3\omega_0)$ (solid line) the corresponding component $G_1(\omega)$ diverges as $1/(3\omega_0 - \omega)$ (dashed line). (b) The relationship between the real and imaginary parts of a response function if $G_2(\omega) = 1$ for $2 < \omega < 4$ and zero elsewhere.

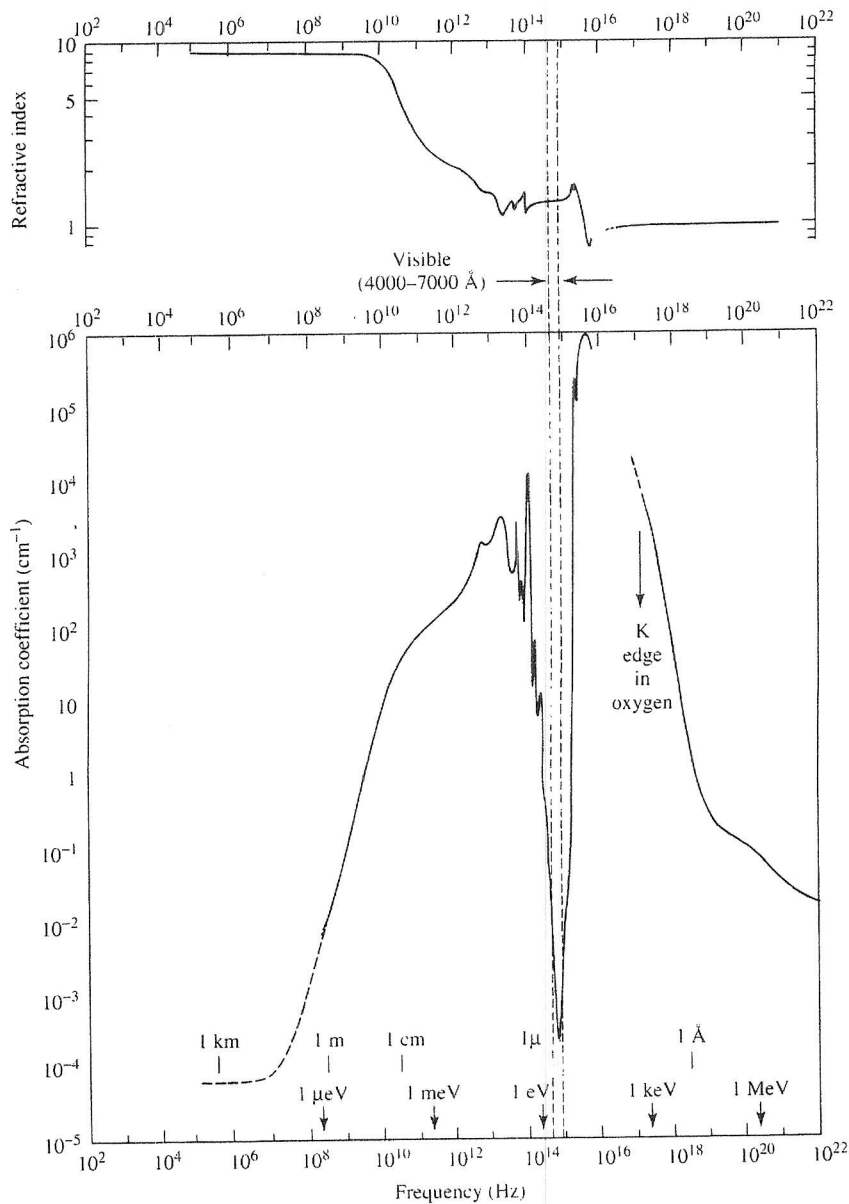


Figure 2.1 (a) Refractive index of water vs frequency. (b) Absorption coefficient of water. Reproduced from Figure 7.9, Jackson [13] with permission from John Wiley & Sons Inc.)

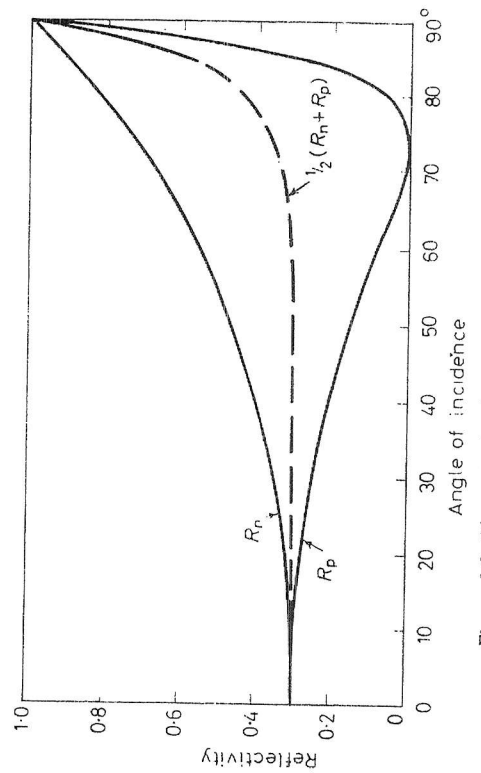


Figure 1.2. Theoretical reflection coefficients for pure Si

5

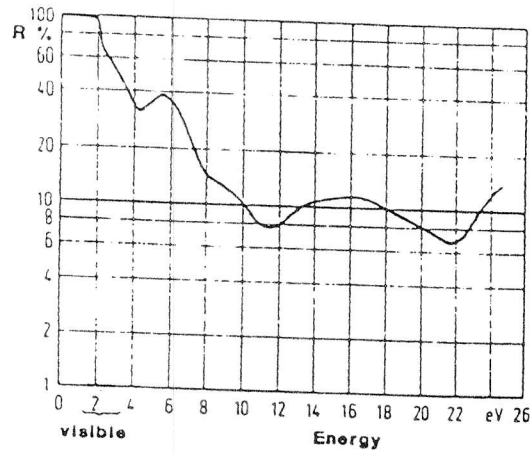


Figure 13.10. Reflectivity spectrum for copper. Adapted from Ehrenreich, H. et al., *IEEE Spectrum* 2, 162. © 1965 IEEE.

6

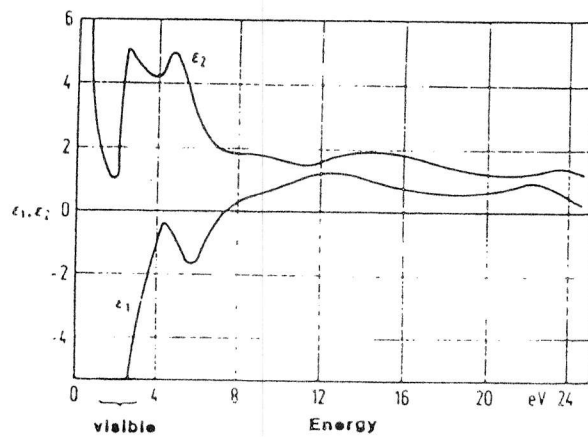


Figure 13.11. Spectral dependence of ϵ_1 and ϵ_2 for copper. ϵ_1 and ϵ_2 were obtained from Fig. 13.10 by a Kramers-Kronig analysis. Adapted from Ehrenreich, H., et al., *IEEE Spectrum* 2, 162. © 1965 IEEE.

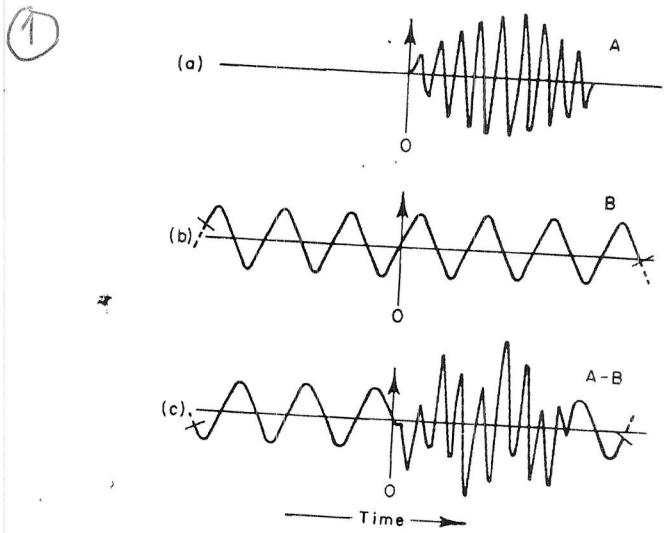


Fig. 6.2 This figure illustrates schematically the basic reason for the logical connection of causality and dispersion. (a) An input A which is zero for times t less than zero is formed as a superposition of many Fourier components (b) such as B , each of which extends from $t = -\infty$ to $t = \infty$. These components produce the zero-input signal by destructive interference for $t < 0$. It is impossible to design a system which absorbs just the component B without affecting other components, for in this case, the output (c) would contain the complement of B during times before the onset of the input wave, in contradiction with causality. Thus causality implies that absorption of one frequency must be accompanied by a compensating shift of phase of other frequencies; the required phase shifts are prescribed by the dispersion relation. [From J. S. Toll, *Phys. Rev.* 104, 1760 (1965).]

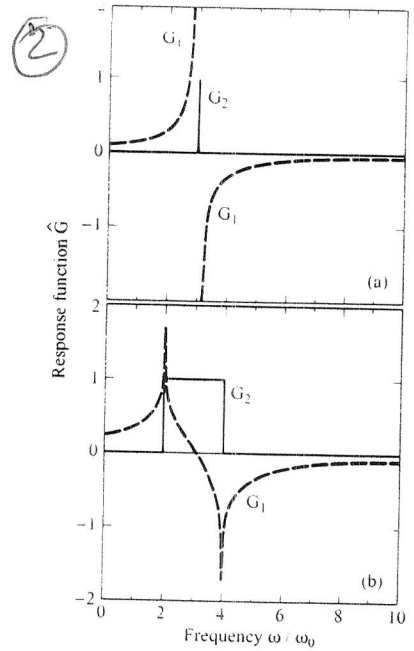


Fig. 3.3. Frequency dependence of the complex response function $\hat{G}(\omega) = G_1(\omega) + iG_2(\omega)$. (a) For $G_2(\omega) = \delta(3\omega_0)$ (solid line) the corresponding component $G_1(\omega)$ diverges as $1/(3\omega_0 - \omega)$ (dashed line). (b) The relationship between the real and imaginary parts of a response function if $G_2(\omega) = 1$ for $2 < \omega < 4$ and zero elsewhere.

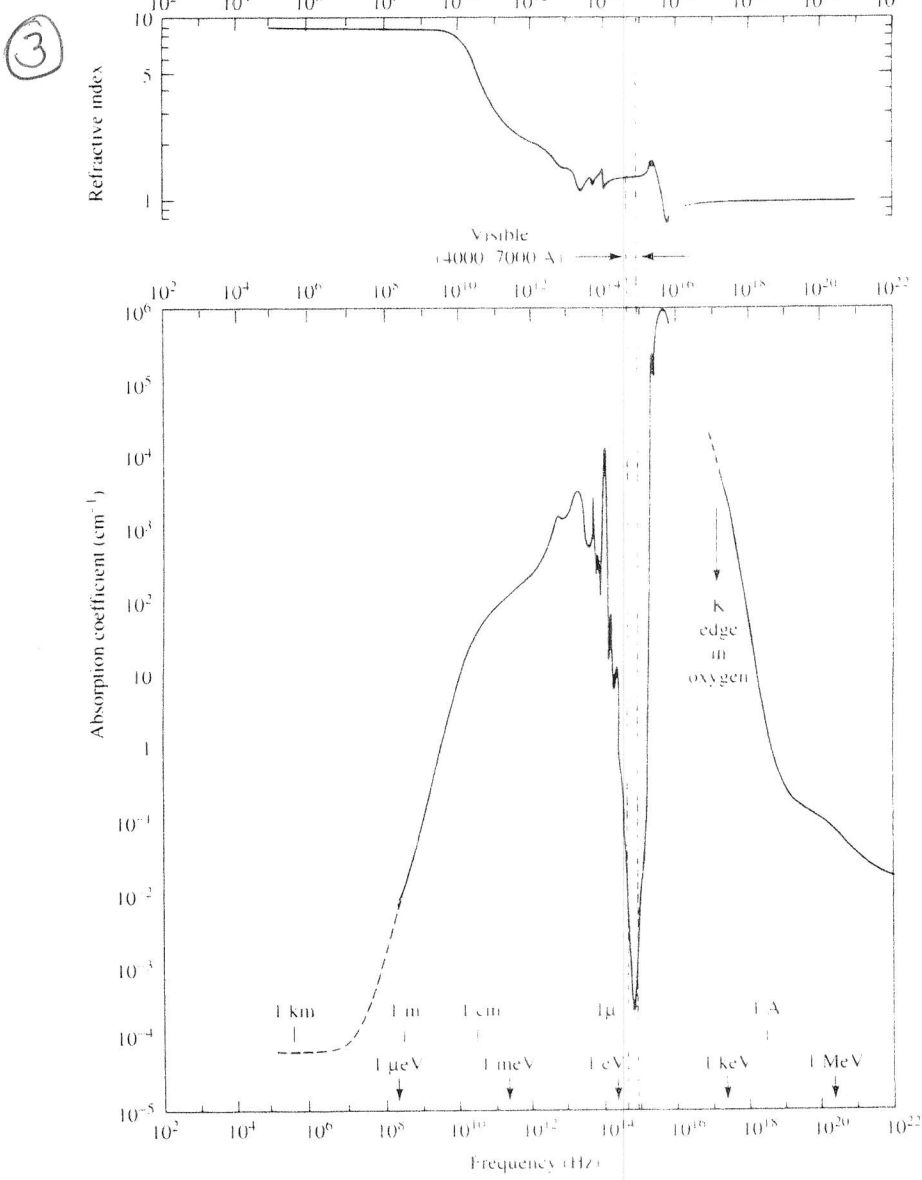


Figure 2.1 (a) Refractive index of water vs frequency. (b) Absorption coefficient of water. Reproduced from Figure 7.9, Jackson [13] with permission from John Wiley & Sons Inc.

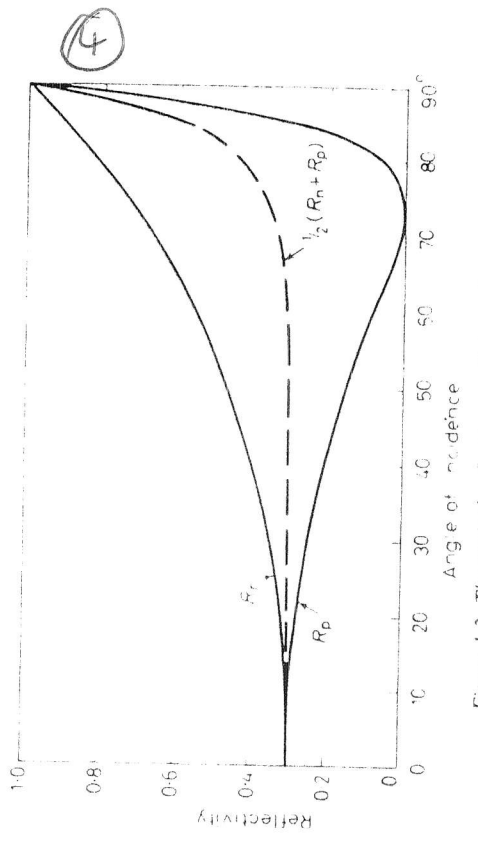


Figure 1.2. Theoretical reflection coefficients for pure Si

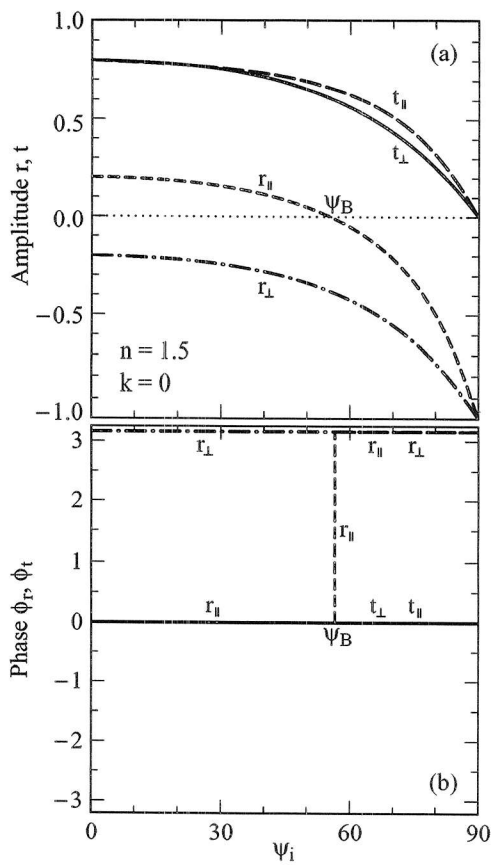


Fig. 2.5. (a) The (real) reflection and transmission coefficients, r and t (in both polarizations parallel and perpendicular to the plane of incidence) as a function of angle of incidence ψ_i for $n = 1.5$, $n' = 1$, $k = k' = 0$, and $\mu_1 = \mu'_1 = 1$. The Brewster angle is defined as $r_{\parallel}(\psi_B) = 0$. (b) The corresponding phase shifts, ϕ_r and ϕ_t , of the reflected and transmitted waves; here $\psi_t = 0$ and $\psi_r = \pi$ for the electric field perpendicular to the plane of incidence (referred to as r_{\perp} and t_{\perp}). In the case of E parallel to the plane of incidence (r_{\parallel} and t_{\parallel}), ψ_t remains zero, while the phase ψ_r changes by π at the Brewster angle ψ_B .

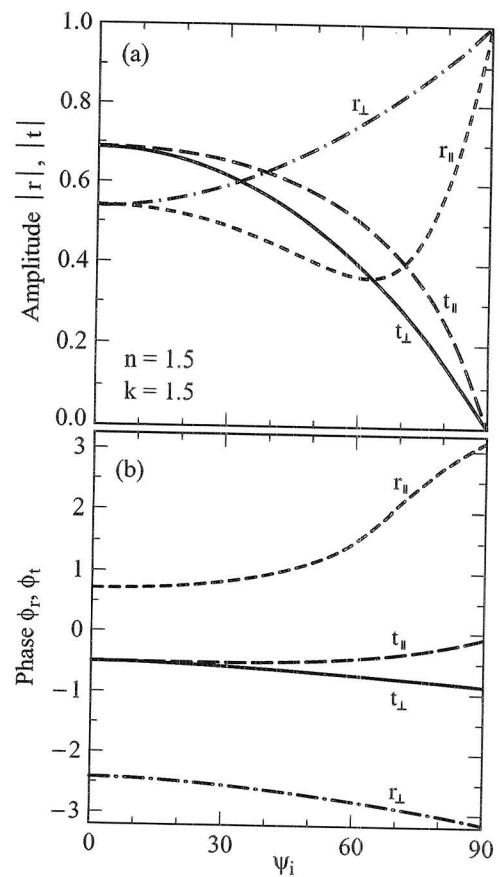


Fig. 2.6. (a) The absolute values of the reflection and transmission coefficients, $|r|$ and $|t|$, as a function of angle of incidence ψ_i in polarizations parallel and perpendicular to the plane of incidence. Besides the refractive index $n = 1.5$, the material also has losses described by the extinction coefficient $k = 1.5$; again $n' = 1$, $k' = 0$, and $\mu_1 = \mu'_1 = 1$. (b) The angular dependences of the corresponding phase change upon reflection, ϕ_r , and transmission, ϕ_t . The different cases are indicated by r_{\parallel} , t_{\parallel} , r_{\perp} , and t_{\perp} , respectively.

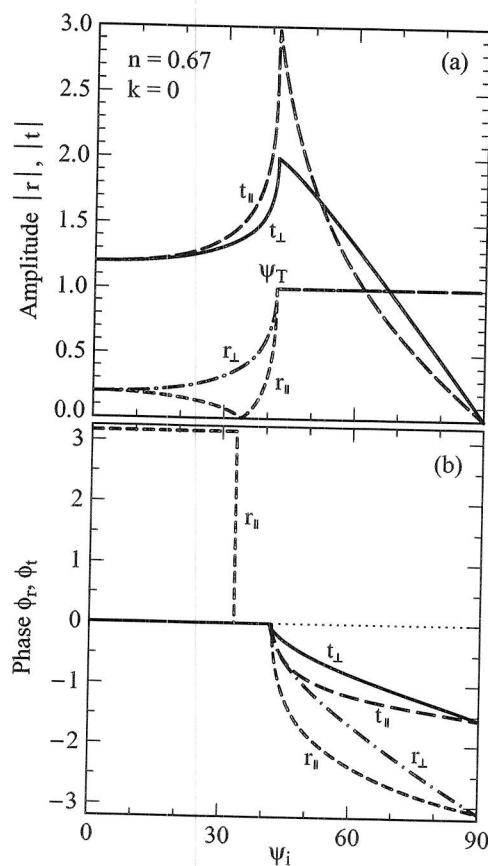
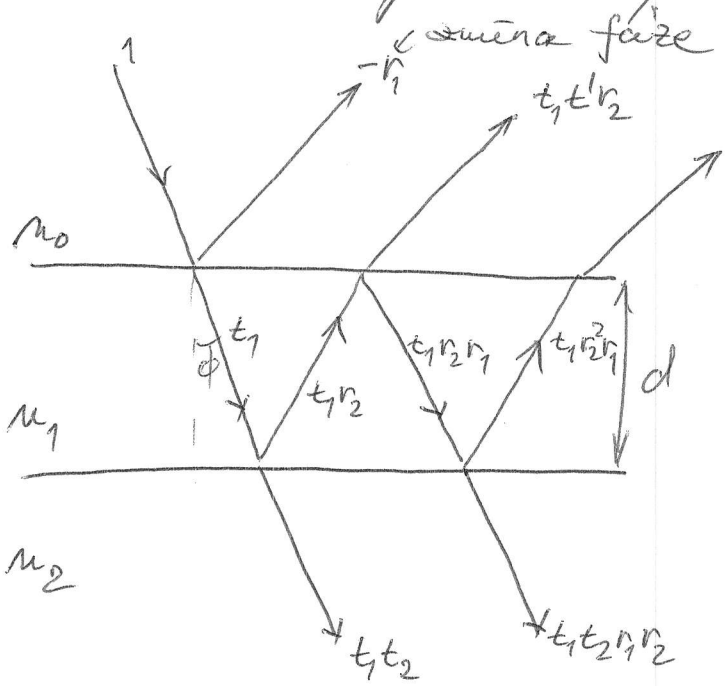


Fig. 2.7. (a) The absolute values of the reflection and transmission coefficients, $|r|$ and $|t|$, in polarizations parallel and perpendicular to the plane of incidence, as a function of angle of incidence ψ_i for $n/n' = 1/1.5$ and $\mu_1 = \mu'_1 = 1$. The Brewster angle $r_{\parallel}(\psi_B) = 0$ and the angle of total reflection ψ_T is clearly seen. (b) The phase angles ϕ_r and ϕ_t change significantly in the range of total reflection. The case of E parallel to the plane of incidence is referred to as r_{\parallel} and t_{\parallel} , while r_{\perp} and t_{\perp} refer to E perpendicular to the plane, respectively.

1) Fyzika polovodičů pro optoelektroniku II

Odraz a lom na planparalelní desce s uvažováním mnohonásobných odrazů

- pokud tloušťka desky má vzhledem k absorpci + planparalelní \Rightarrow mnohonásobné odrazy vedou ke konstruktivní nebo destruktivní interferenci \Rightarrow maxima a minima v ~~interferenci~~ reflektivitě nebo propustnosti \Rightarrow velmi přesné určení optických konstant
- umožní stanovení n nezávisle na k u absorbujícího prostředí



$n_0 < n_1 > n_2$

řázková změna při jednom průchodu:

$$\delta = \frac{2\pi}{\lambda} n_1 \cdot d \cdot \cos \phi$$

odražený svazek: $r = -r_1 + t_1 t_1' r_2 e^{+2i\delta} + t_1 t_1' r_2^2 e^{+4i\delta} + t_1 t_1' r_2^3 e^{+6i\delta} + \dots$

prošlý svazek: $t = t_1 t_2 e^{i\delta} + t_1 t_2 r_1 r_2 e^{3i\delta} + t_1 t_2 r_1^2 r_2^2 e^{5i\delta} + \dots$

\Rightarrow geometrické řady

Tedy: $r = -r_1 + t_1 t_1' r_2 e^{+2i\delta} (1 - r_1 r_2 e^{2i\delta})^{-1}$

2

$$t = t_1 t_2 e^{2i\delta} (1 - r_1 r_2 e^{2i\delta})^{-1}$$

Pokud $n_0 = n_2 \Rightarrow t_2 = t'$ a $r_1 = r_2 \Rightarrow t_1 t' = 1 - r_1^2$

$$\Rightarrow r = -r_1 + \frac{r_1(1-r_1^2)e^{2i\delta}}{(1-r_1^2 e^{2i\delta})} = -\frac{r_1(1-r_1^2 e^{2i\delta}) + r_1(1-r_1^2)e^{2i\delta}}{(1-r_1^2 e^{2i\delta})} =$$

$$t = \frac{(1-r_1^2)e^{2i\delta}}{(1-r_1^2 e^{2i\delta})} = \frac{-r_1 + r_1 e^{2i\delta}}{1 - r_1^2 e^{2i\delta}} \text{ Airyho formule}$$

$1 - r_1^2 e^{2i\delta} = 0 \Rightarrow \text{opt. vlnovod}$

maximum propustnosti: pokud fázová změna je celým násobkem $\frac{\lambda}{2}$
 - pokud $e^{2i\delta} = 1 \Rightarrow \delta = M\pi \Rightarrow t_{\max} = e^{2i\delta}$

$2n_1 d \cos \phi = (M + \frac{1}{2})\lambda \dots$ maximum reflektivity

$$e^{2i\delta} = -1 \Rightarrow \delta = (M + \frac{1}{2})\pi$$

$$r_{\max} = -r_1 - \frac{r_1(1-r_1^2)}{(1+r_1^2)} = -\frac{2r_1}{(1+r_1^2)}$$

$$t_{\min} = \frac{(1-r_1^2)e^{i\delta}}{(1+r_1^2)}$$

delny' odepad:

$$T = t \cdot t^* \quad \& \quad R = Rr \cdot r^*$$

$$\Rightarrow R_{\max} = \frac{4r_1^2}{(1+r_1^2)^2} ; T_{\min} = \frac{(1-r_1^2)^2}{(1+r_1^2)^2} ; T_{\max} = 1$$

\Rightarrow pozorován' interferenčních proužků
 - důležitý poměr T_{\max}/T_{\min}

③ pro typický polovodič

$$n_1 \approx 3 + \text{vzduch} \Rightarrow n_1 = \frac{(n_1 - 1)}{(n_1 + 1)} = \frac{1}{2} \Rightarrow \frac{T_{\max}}{T_{\min}} \approx 3$$

\Rightarrow pro polovodiče dobře pozorovatelná interference

\Rightarrow kontrast zredukován pokud je materiál absorbuje

\Rightarrow pro určení indexu lomu a interferenčních maxim nastává problém ohledně řádu maxima \Rightarrow měření dvou maxim

$$\Rightarrow \text{potom: } \left. \begin{array}{l} 2nd = M\lambda_1 \\ 2nd = (M+1)\lambda_2 \end{array} \right\} \begin{array}{l} \text{dvě maxima} \\ \text{propustnosti} \end{array}$$

$$\Rightarrow 2nd\lambda_2 - 2nd\lambda_1 = M\lambda_1\lambda_2 - (M+1)\lambda_1\lambda_2$$

$$\underline{\underline{2nd = \frac{\lambda_1\lambda_2}{\lambda_2 - \lambda_1}}}$$

\Rightarrow pouze pro lineární závislost n na λ
- např: InSb od 9 μm do 20 μm

Pokud je prostředí absorbuje:

$$\delta = \delta' + i\beta; \text{ kde } \beta = \frac{2\pi}{\lambda} \alpha d = \frac{1}{2} \alpha d$$

dosazení do rovnice pro r a t

Pro absorbuje prostředí \Rightarrow reflexní experimenty

④ Reflexní spektroskopická elipsometrie

Experimentální uspořádání \Rightarrow viz obr. ①

- měření při šikmém dopadu
- měření změny polarizačního stavu světla po odrazu
- měření odrazivosti pro p- a s- vlnu

- elipsometrická rovnice:

$$\rho = \frac{r_p}{r_s} = \frac{|r_p| e^{i\Delta}}{|r_s| e^{i\Delta}} = \tan \gamma e^{i\Delta}$$

$$\Delta = \delta_p - \delta_s; \quad \tan \gamma = \frac{|r_p|}{|r_s|}$$

\Rightarrow + nové
poznámky

\Rightarrow návrhová metoda PSCA

- fixní ~~polarizátor~~ ^{kompensátor} ~~polarizátor~~ \Rightarrow rotující ~~kompensátor~~ ^{polarizátor a analyzátor} ~~analyzátor~~ ^{kompensátor}
(najdu takové Δ , aby výstup byl lineárně polarizován) \Rightarrow rotující analyzátor \Rightarrow nulují intenzitu na detektoru (najdu γ)
- zjištění optických konstant:

model $\rightarrow \frac{r_p}{r_s} \rightarrow$ fituje do $\tan \gamma e^{i\Delta}$

Reflektometrie

- uspořádání vakového reflektometru \Rightarrow viz obr. ②

⑤ - velmi vysoká citlivost na kvalitu povrchu vzorku (stejně i u elipsometrie)

↳ světlo nemůže příliš hluboko do vzorku (vysoký absorpční koef. $10^4 - 10^6 \text{ cm}^{-1}$)

- citlivost na oxidaci povrchu i zucvištění

⇒ atomárně čisté povrchy ⇒ ve vakuu

⇒ viz obr. ③

⇒ typická spektra reaktivit a z nich vypočtená ϵ ⇒ viz obr. ④ a ⑤ pro Si a Ge

Fenomenologický model

pevná látky

- pevná látka - obsahuje vázané a volné elektrony

- popis pomocí dvou základních modelů
Lorentzova a Drudeho

- Lorentzův model ⇒ aplikovatelný na nevodivé
↳ analogie přímých mezivásovcích přechodů

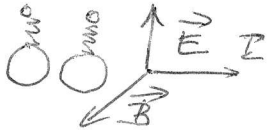
- Drudeho model ⇒ lovy s volnými elektrony

↳ analogie vnitřních přechodů

⑥

Lorentzův model pávné látky

- klasická absorpce - zúmena E , ale $m \neq m_0$
- pávná látka je souborem atomárních oscilátorů
- elektron je "svázan" s jádrem jako pŕes "pružinu" ^{spring}



- aproximace \rightarrow jádro atomu má nekonečnou hmotnost (jinak musíme počítat s redukovanou hmotností elektronu)
- Lorentzova síla:

$$\vec{F} = q(\vec{E} + \vec{v} \times \vec{B})$$

v našem případě zanedbáváme rychlost elektronu mnohem menší než rychlost světla

Pohybové rovnice:

$$m \frac{d^2 \vec{r}}{dt^2} + m \gamma \frac{d\vec{r}}{dt} + m \omega_0^2 \vec{r} = -q \vec{E}_{loc}$$

damping term / spring term $\omega_0 = \sqrt{\frac{k}{m}}$



- \vec{E}_{loc} ... lokální pole působící na elektron
- $m \gamma \frac{d\vec{r}}{dt}$... útlumový člen (radiační chlazení, rozptylové mechanismy) ^{izolovaném atomu}
- $m \omega_0^2 \vec{r}$... vázobný člen ^{Lj, Hookův zákon}
- $\vec{E}_{loc} \sim e^{-i\omega t}$

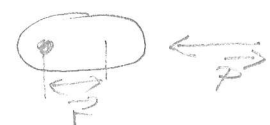
7) Předpokládáme $\vec{r}(t) = \vec{r}_0 e^{-i\omega t}$ a dosadíme do pohybové rovnice:
 Ansatz (konzistentní s $\hbar = \hbar + i\hbar$)

$$-m\omega^2 \vec{r} - i m \Gamma \omega \vec{r} + m\omega_0^2 \vec{r} = -q \vec{E}_{loc}$$

$$\vec{r} = \frac{-q \vec{E}_{loc}}{-m\omega^2 - i m \Gamma \omega + m\omega_0^2}$$

$$\vec{r} = \frac{-q \vec{E}_{loc} / m}{(\omega_0^2 - \omega^2) - i \Gamma \omega}$$

- elektron je vychýlen - indukuje se dipólový moment

$$\vec{p} = q \cdot \vec{r} \Rightarrow \vec{p} = \frac{q^2 \vec{E}_{loc}}{m} \frac{1}{(\omega_0^2 - \omega^2) - i \Gamma \omega}$$


- předpokládáme r malá tak, že platí

$$\vec{p} = \hat{\alpha}(\omega) \vec{E}_{loc}$$

atomární polarizabilita

\Rightarrow pro jednoelektronový atom: $\hat{\alpha}(\omega) = \frac{q^2}{m} \frac{1}{(\omega_0^2 - \omega^2) - i \Gamma \omega}$

- komplexní díky útlumu \rightarrow polarizace se liší fází od \vec{E}_{loc} (na více frekvencích)

- pokud je N atomů v jednotkovém objemu, potom je makroskopická polarizace:

$$\vec{P} = N \langle \vec{p} \rangle = N \hat{\alpha} \langle \vec{E}_{loc} \rangle = \hat{\chi}_e \vec{E}$$

Obecně $\langle \vec{E}_{loc} \rangle \neq \vec{E} \rightarrow \langle \vec{E}_{loc} \rangle$ pouze přes atomy \Rightarrow ne přes mezery

$\Rightarrow \vec{P}$ komplexní $\Rightarrow \vec{P}, \vec{D}, \vec{E}$ nejsou ve fázi

⊕ Vátaah pro permitivitu:

$$\hat{\epsilon} = 1 + \chi_e = 1 + N\hat{\alpha}$$

⇓

$$\hat{\epsilon} = 1 + \frac{Nq^2}{m} \frac{1}{(\omega_0^2 - \omega^2) - i\gamma\omega}$$

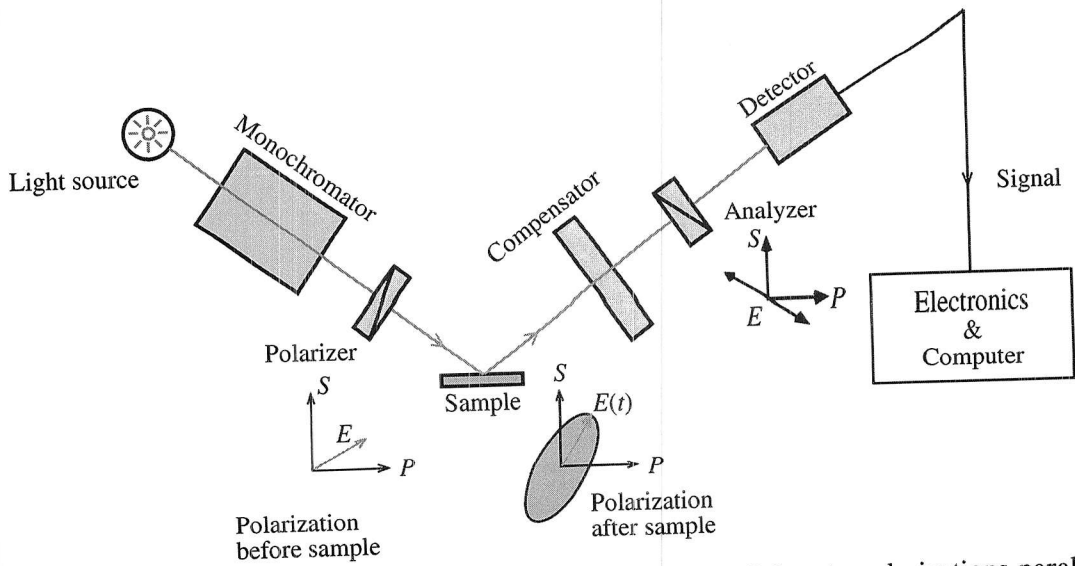


Fig. 6.3. Schematic diagram of an ellipsometer [6.13]. P and S denote polarizations parallel or perpendicular to the plane of incidence, respectively

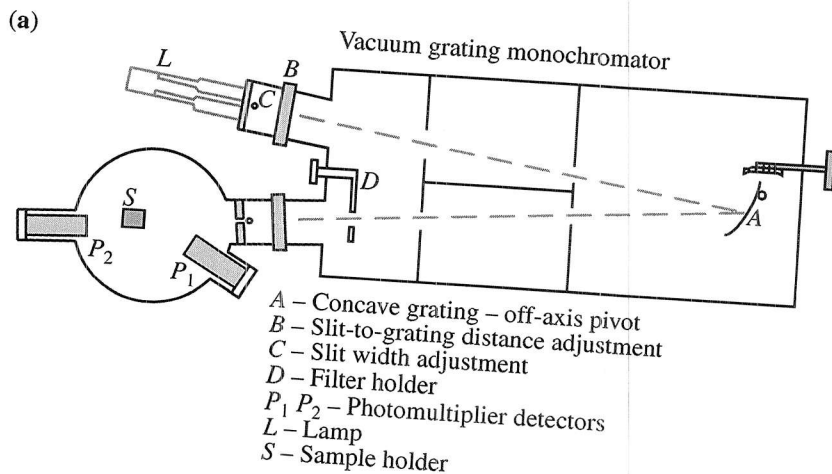


Fig. 6.4. (a) The vacuum reflectometer used by *Philipp* and *Ehrenreich* [6.14] to measure the normal incidence reflectance of semiconductors from about 1 to 20 eV. (b) Detailed construction of the gas discharge lamp they used

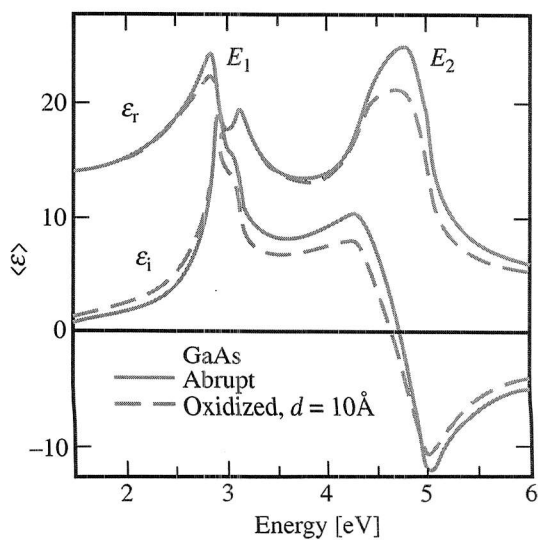


Fig. 6.2. The real and imaginary parts of the dielectric function of GaAs measured by ellipsometry. The *solid curve*, labeled "abrupt", was obtained for an atomically clean surface, the *broken one* for a surface covered by an oxide layer. [6.12]

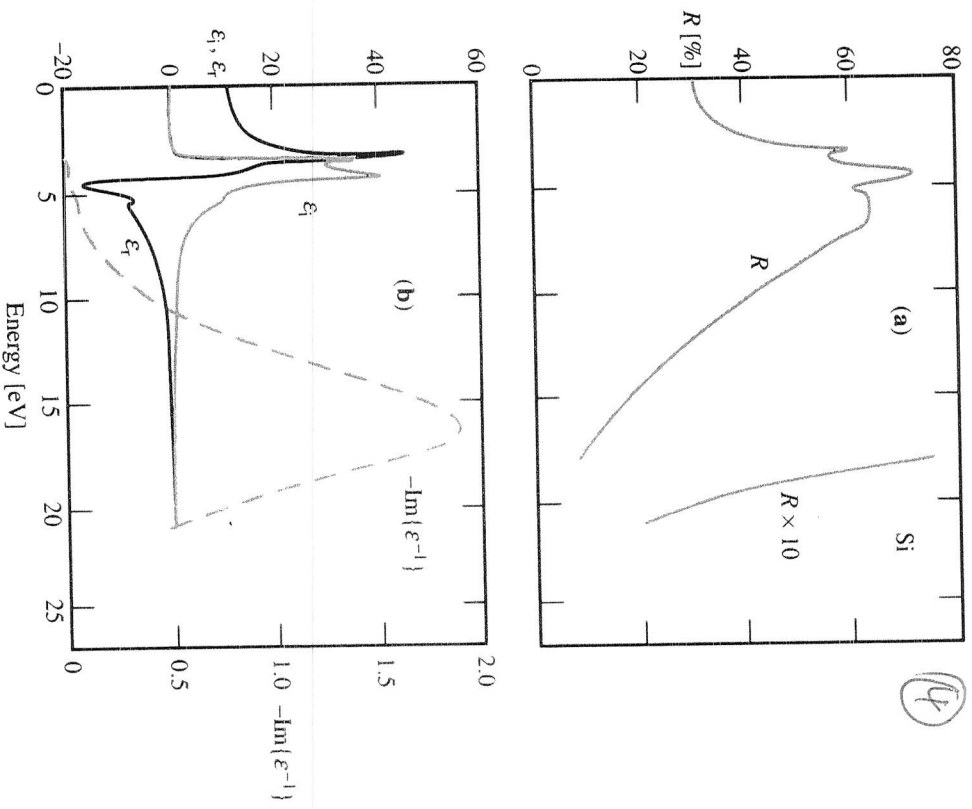


Fig. 6.6. (a) Reflectance curve of Si measured at room temperature. (b) The real (ϵ_r) and imaginary (ϵ_i) parts of the dielectric function and the imaginary part of ($-1/\epsilon$) (known as the energy loss function) of Si deduced from the reflectivity curve in (a) using the Kramers-Kronig relation [6.14]. Notice that the peak of $\text{Im}\{-1/\epsilon\}$, occurs at the plasma energy of the valence electrons (Problem 6.3)

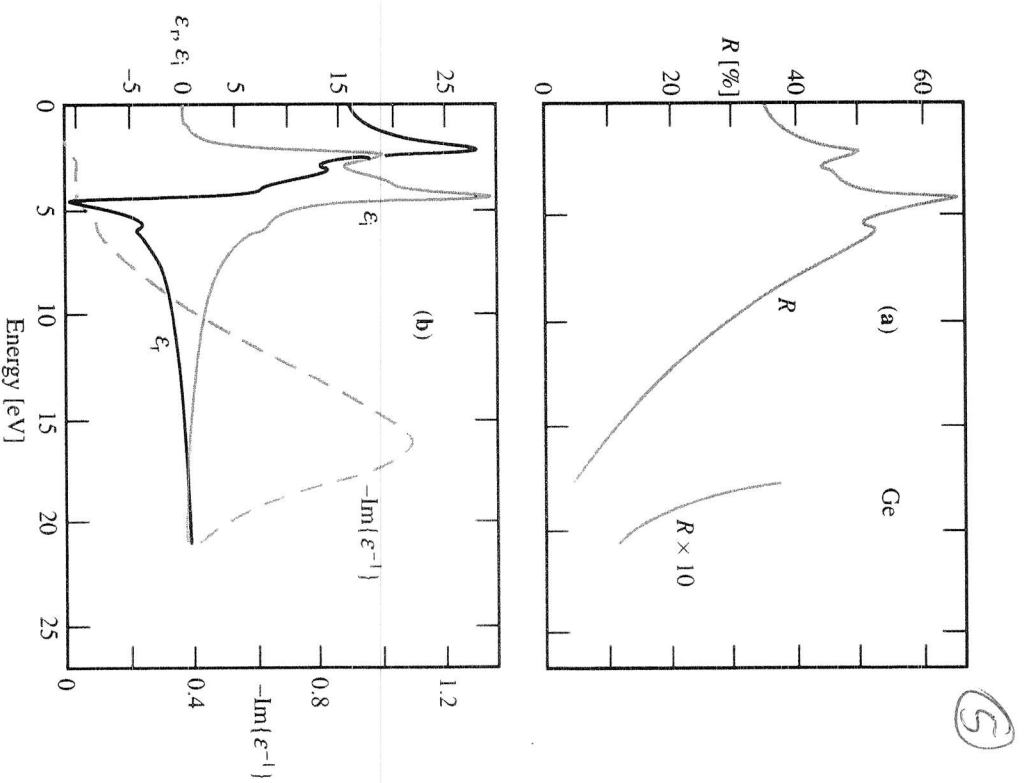


Fig. 6.7a,b. Curves for Ge similar to those for Si in Fig. 6.6

1

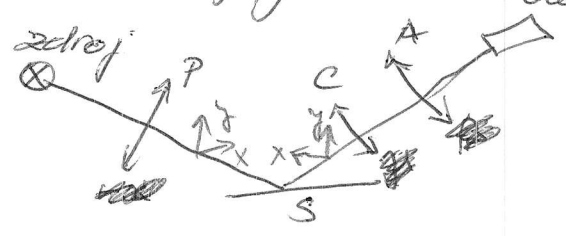
Fyzika polovodičů pro optoelektroniku Spektroskopie a' elipsometrie

viz. starší poznámky

- výhoda \Rightarrow nezávisí na intenzitě světla
- \Rightarrow pouze na polarizačním stavu

$$\rho = \frac{r_p}{r_s} = \frac{|r_p|}{|r_s|} e^{i\Delta} = \tan \gamma e^{i\Delta}$$

PSCA konfigurace



Jonesův formalismus:

$$P = \begin{bmatrix} 1 & 0 \\ 0 & 0 \end{bmatrix} \quad C = \begin{bmatrix} e^{i\frac{\delta}{2}} & 0 \\ 0 & e^{-i\frac{\delta}{2}} \end{bmatrix} \quad S = \begin{bmatrix} r_s & 0 \\ 0 & r_p \end{bmatrix}$$

izotropní

matice rotace

$$R(\alpha) = \begin{bmatrix} \cos \alpha & \sin \alpha \\ -\sin \alpha & \cos \alpha \end{bmatrix}$$

Intenzita na výstupu:

$$I^{ex} = I^{in} (\vec{J}^{el})^T \vec{J}^{el} = I^{in} |L|$$

$$\vec{J}^{el} = P R(\theta) C(\delta) R(\theta) S R(-\theta) \vec{J}^{in}$$

po výpočtu

$$L = r_s \cos^2 \theta [e^{i\delta} \cos \theta \cos(\theta - \epsilon) - \sin \theta \sin(\theta - \epsilon)] + r_p \sin^2 \theta [\cos \theta \sin(\theta - \epsilon) + e^{i\delta} \sin \theta \cos(\theta - \epsilon)]$$

② nulovací' elipsome trž

$$\Rightarrow L=0 \text{ potom je lepší' } \bar{\alpha} = \alpha - \frac{\pi}{2}$$
$$\bar{\rho} = \rho - \frac{\pi}{2}$$

$$L = r_s \sin \bar{\rho} [e^{i\delta} \cos \epsilon \sin(\bar{\alpha} - \epsilon) - \sin \epsilon \cos(\bar{\alpha} - \epsilon)] +$$
$$+ r_p \cos \bar{\rho} [\cos \epsilon \cos(\bar{\alpha} - \epsilon) + e^{i\delta} \sin \epsilon \sin(\bar{\alpha} - \epsilon)]$$

Potud $L=0$ potom $\rho = \frac{r_p}{r_s} =$

$$= -\tan \bar{\rho} \frac{\tan \epsilon + e^{i\delta} \tan(\bar{\alpha} - \epsilon)}{1 - e^{i\delta} \tan \epsilon \tan(\bar{\alpha} - \epsilon)}$$

Kompenzator \Rightarrow čtvrtlína' detektor $\Rightarrow \delta = \frac{\pi}{2}$ a

dvě' fixní polohy $\epsilon = \pm \frac{\pi}{4}$

$$\Rightarrow \rho = -\tan \bar{\rho} \frac{\pm 1 + i \tan(\bar{\alpha} \mp \frac{\pi}{4})}{1 \mp i \tan(\bar{\alpha} \mp \frac{\pi}{4})}$$

$$\Rightarrow \tan 2\epsilon^{i\delta} = -\tan \bar{\rho} e^{2i(\bar{\alpha} - \frac{\pi}{4})}$$

$$\tan 2\epsilon^{i\delta} = \tan \bar{\rho} e^{-2i(\bar{\alpha} - \frac{\pi}{4})}$$

- 4 různé' kombinace polohy pro natočení' analyzer vs. polarizator \Rightarrow příměrování s nulou na detektoru

DĚLENÍ PEVNÝCH LÁTEK

Pásová struktura: omezení na krystalické látky

Izolovaný atom \Rightarrow diskrétní energetické hladiny

např.: $3\text{Li} \rightarrow 1s^2 2s^1$

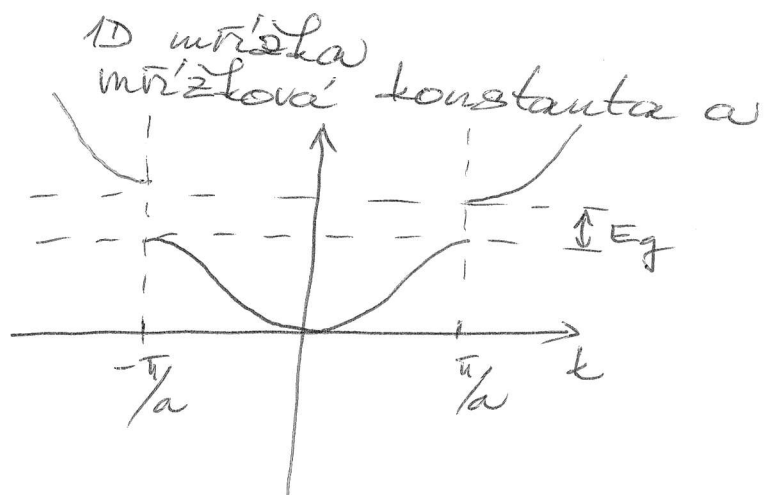
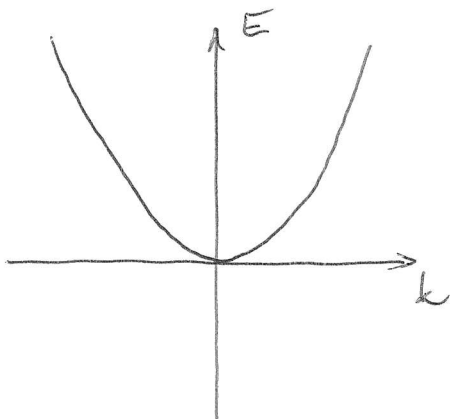
$29\text{Cu} \rightarrow 1s^2 2s^2 2p^6 3s^2 3p^6 3d^{10} 4s^1$

Pevná látka \Rightarrow atomy uspořádané v krystalové mřížce \Rightarrow vzdálenosti v řádech \AA

\Rightarrow periodický potenciál atomů \Rightarrow rozstředění energetických hladin do pásového \Rightarrow vznik zakázaných pásové

Viz obr. 1 - Litium

Volný elektron:



Klasifikace pevných látek a klasifikace elektrických vlastností: pomocí tří základních parametrů

1) měrný elektrický odpor (rezistivita) $\rho = \frac{E}{J}$

\Rightarrow vodivost: $\sigma = \frac{1}{\rho}$

② 3) teplotní součinitel měřného odporu α

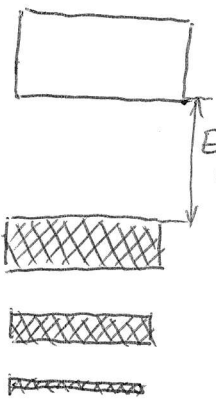
$$\alpha = \frac{1}{\rho} \frac{d\rho}{dT} \rightarrow \text{stanovená měřením teplotní závislosti } \rho$$

3) koncentrace nosičů elektrického náboje n
 - nejčastěji stanovena měřením Hallova napětí

IZOLÁTORY X KOUČ X POLOKOUČ X NEKOUČ

- dělení podle zaplnění energetických pási
- obr 2. → periodická tabulka prvků

1) Izolátory: látka která po přiložení elektrického napětí nenechá elektrický proud
 - dovolené energetické pásy jsou zcela zaplněné nebo prázdné ⇒ elektrony se nemohou pohybovat v přiloženém poli



→ široký zakázaný pás E_g
 → Diamant: $E_g = 5.5 \text{ eV} \Rightarrow$ cca 140x více než střední kinetická energie volné částice při pokojové teplotě

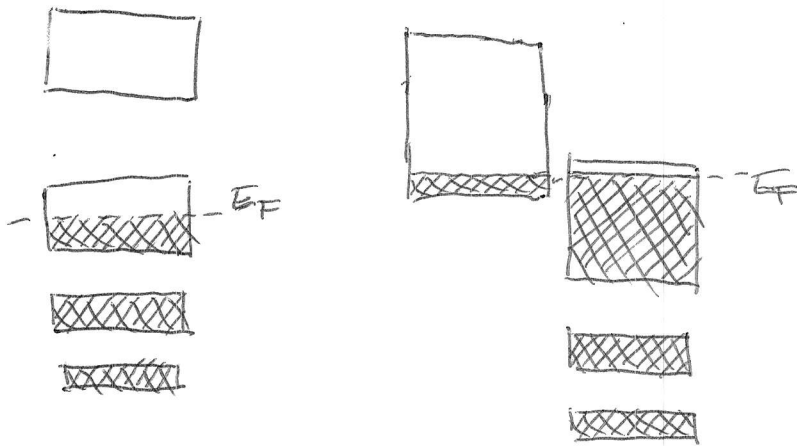
rezistivita typických izolátorů:

- sklo: $\rho = 10^{10} - 10^{14} \Omega \cdot m$
- tažený třemen: $\rho \approx 10^{16} \Omega \cdot m$
- diamant: $\rho = 10^{19} \Omega \cdot m$

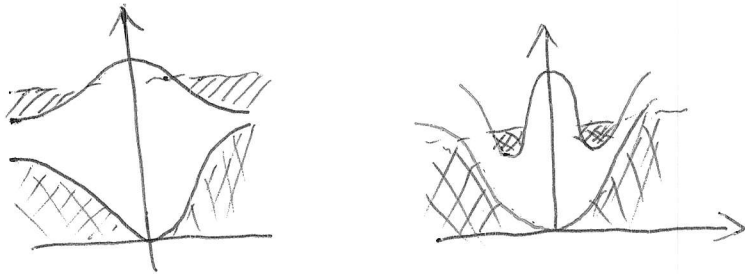
Krystal může být izolátorem pokud je počet valenčních elektronů v primitivní buňce sudé číslo (až na výjimky)

③ 2) kovy: nejvíce prvků v periodické tabulce

- po přiložení pole vedou elektrický proud



E_F .. Fermiho energie
 \Rightarrow energie nejvyšší
 zaplněné hladiny
 v základním stavu



- dobré tepelné a elektrické vodiče (většinou)
- velký počet volných (vodivostních) elektronů
- obvykle 1 nebo 2 na atom
- metalická vazba \Rightarrow interakce mezi soustavou kladných nábojů (atomů) ponořených v téměř homogenním moři záporného náboje \Rightarrow vazby vytvořené vodivostními elektrony nejšou příliš silné (alkalické kovy)
- u některých kovů (přechodné kovy) mají velké d slupky \Rightarrow přispívají k vazbě \Rightarrow vyšší vazbová energie \Rightarrow např. Fe, W
 \hookrightarrow kovalentní vazba
- krystalizace v těsných uspořádáních (fcc, bcc)

④ Typické hustoty nosičů náboje pro kovy

Li (4.2K)	$4,7 \times 10^{22} \text{ cm}^{-3}$	$E_F = 4,72 \text{ eV}$
Na (5K)	$1,4 \times 10^{22} \text{ cm}^{-3}$	$E_F = 3,23 \text{ eV}$
Cu (RT)	$8,47 \times 10^{22} \text{ cm}^{-3}$	$E_F = 7,0 \text{ eV}$
Ag (RT)	$5,86 \times 10^{22} \text{ cm}^{-3}$	$E_F = 5,48 \text{ eV}$
Au (RT)	$5,90 \times 10^{22} \text{ cm}^{-3}$	$E_F = 5,51 \text{ eV}$
Fe (RT)	$17,0 \times 10^{22} \text{ cm}^{-3}$	$E_F = 11,1 \text{ eV}$

Typické relaxační časy (273K) (τ)

	273K	77K
Li	$0,88 \times 10^{-14} \text{ s}$	$7,3 \times 10^{-14} \text{ s}$
Na	$3,2 \times 10^{-14} \text{ s}$	$14 \times 10^{-14} \text{ s}$
Cu	$2,7 \times 10^{-14} \text{ s}$	$21 \times 10^{-14} \text{ s}$
Ag	$4,0 \times 10^{-14} \text{ s}$	$20 \times 10^{-14} \text{ s}$
Au	$3,0 \times 10^{-14} \text{ s}$	$12 \times 10^{-14} \text{ s}$
Fe	$0,24 \times 10^{-14} \text{ s}$	$3,2 \times 10^{-14} \text{ s}$

plazmová frekvence: $\omega_p = \sqrt{\frac{q^2 N}{m \epsilon_0}}$

⇒ plazmové frekvence kovů v UV

např Au - $\omega_p \sim 9 \text{ eV}$ (experiment 8,7 eV) → obr. 3

Typické hodnoty rezistivity ρ

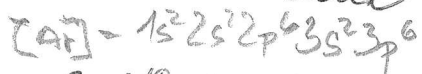
Ag	$1,62 \cdot 10^{-8} \Omega \text{ m}$	Al	$2,75 \cdot 10^{-8}$
Cu	$1,69 \cdot 10^{-8} \Omega \text{ m}$	Fe	$9,68 \cdot 10^{-8}$

⑤ Teplotní součinitel rezistivity

Ag	$4,1 \cdot 10^{-3} \text{ K}^{-1}$	} kladná \Rightarrow se zvyšující teplotou roste odpor (\neq mity mříže)
Cu	$4,3 \cdot 10^{-3} \text{ K}^{-1}$	
Al	$4,4 \cdot 10^{-3} \text{ K}^{-1}$	
Fe	$6,5 \cdot 10^{-3} \text{ K}^{-1}$	

Pro nás ~~se~~ klíčová optických
vlastností zajímavé zejména ~~vašně~~
kovy (noble metals) \Rightarrow pozor na definice
 \Rightarrow pro nás pouze ty, co mají zcela
zaplněné d stavy \Rightarrow nejlepší aplikace
talný model volných elektronů
 \Rightarrow pouze Cu, Ag, Au

pásové schéma mědi obr. 4a & 4b



Cu: $3d^{10} 4s^1$ - 6 pási stačí pro 11 elektronů
5 pási \Rightarrow úzké rozhraní - 2-5 eV \Rightarrow d elektrony
(těsná vazba)
6. pás \Rightarrow od $\sim 7-9$ eV - s elektrony
 \hookrightarrow skoro volný elektron

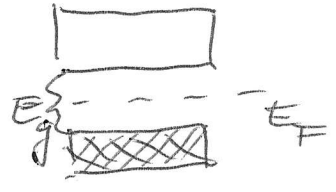
- schematický obrázek pásové struktury
vášněho kovu \Rightarrow obr 5

⑥ d-pa's leži pod Fermiho úzvi
 ⇒ a to "dost" hluboko

- spektra reflektivit A_g, A_w, A_l ⇒ obr 6.
- rezonance u stříbra ⇒ reflektivita klesne a pak zase stoupne ⇒ mezipásové přechody vázaných elektronů ⇒ d stavy leží 4 eV pod E_F
- u Cu d-stavy leží 2 eV
 ⇒ absorpce Ag začíná pod 300 nm
 absorpce Cu začíná na 600 nm ⇒ červená
 ⇒ "rozseparování" ϵ ⇒ obr 7.
- pokud E_F v d-páseu ⇒ mezipásové přechody začínají při nižších energiích ⇒ Ni ⇒ obr 6.
 ⇒ nem' vidět plazmová hrana

3) Polovodiče: čistý zakázaný pás

- elektrony se mohou dostat do vodivostního pásu; E_F v zakázaném páse



rezistivita ρ : čistý Si $2,5 \cdot 10^3 \Omega m$

Phosphor \swarrow n-Si $8,7 \cdot 10^{-4} \Omega m$
 $n = 10^{23} m^{-3}$

Hliník \swarrow p-Si $2,8 \cdot 10^{-3} \Omega m$
 $n = 10^{23} m^{-3}$

⇒ obr 8.

⑦ teplotu součinitele resistivity α

Si $\alpha = -70 \cdot 10^{-3} \text{ K}^{-1} \Rightarrow$ záporný \rightarrow s rostoucí teplotou klesá ~~odpor~~ \Rightarrow termální excitace nosičů

\Rightarrow na zcela přesná hranice mezi izolátorem a polovodičem $E_g \approx 4 \text{ eV}$

\Rightarrow čisté krystaly (bez dopování) při $T=0 \text{ K}$ jsou izolanty \Rightarrow při vznikající teplotě začínají vést \Rightarrow vlastní vodivost ~~rezistivita~~

Si: bandgap $1,124 \text{ eV}$ ($1,170$ při 0 K)

$n = 1,45 \cdot 10^{10} \text{ cm}^{-3}$ (RT) intrin.

Donory: Sb, P, As

Akceptory: B, Al, Ga, In } okolo "polovodičové zářky"

- optické procesy: pokud je dopovaný \Rightarrow volné elektrony \Rightarrow ^{Drusleho model} plazm. frekvence $\approx 10^6$
- není tolik elektronů jako v kovu

Obr. 9 \Rightarrow InSb

- mezirásové přechody \Rightarrow ve viditelné a UV oblasti

- na rozdíl od kovů výrazný podíl iontové vazby (stejně jako u izolantů)

(P) \Rightarrow rozdmita' se mříž' \Rightarrow sousední ionty
 limitují proti sobě \Rightarrow dipol' \Rightarrow mřížková
 reflexe \Rightarrow Restraukten band \Rightarrow \approx 1e' \Rightarrow oblast 100%
 reflexe
 \Rightarrow další mechanismy \Rightarrow viz obr.

4) Polokovy:

- s překryvem pásu \Rightarrow Bi, grafite
 - s nulovým překryvem \Rightarrow HgTe, grafen
- Grafen \Rightarrow Dirac cone

Metalloid vs. semimetal vs. half metal

BiSe

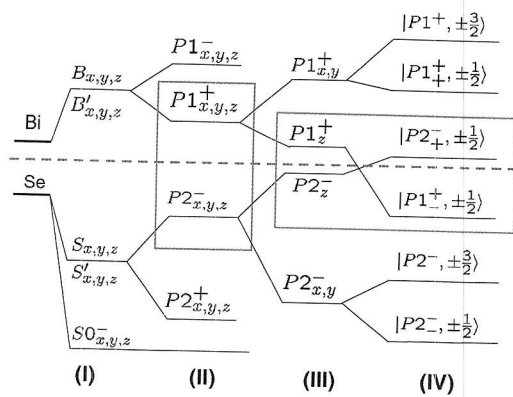
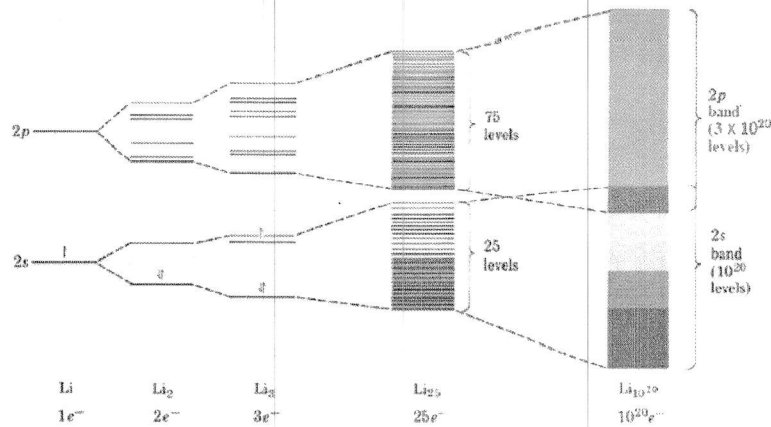


FIG. 2. (Color online) Schematic picture of the origin of the band structure of Bi₂Se₃. Starting from the atomic orbitals of Bi and Se, the following four steps are required to understand the band structure: (I) the hybridization of Bi orbitals and Se orbitals, (II) the formation of the bonding and antibonding states due to the inversion symmetry, (III) the crystal field splitting, and (IV) the influence of the SOC.



Main-Group Elements s Subshell fills

1	IA	1	2
1	H 1s	2	IIA
3	Li 2s	4	Be 2s
11	Na 3s	12	Mg 3s
19	K 4s	20	Ca 4s
37	Rb 5s	38	Sr 5s
55	Cs 6s	88	Ra 7s
87	Fr 7s		

Main-Group Elements p Subshell fills

13	14	15	16	17	18
III A	IV A	V A	VI A	VII A	VIII A
5	6	7	8	9	10
B 2s ² 2p ¹	C 2s ² 2p ²	N 2s ² 2p ³	O 2s ² 2p ⁴	F 2s ² 2p ⁵	Ne 2s ² 2p ⁶
13	14	15	16	17	18
Al 3s ² 3p ¹	Si 3s ² 3p ²	P 3s ² 3p ³	S 3s ² 3p ⁴	Cl 3s ² 3p ⁵	Ar 3s ² 3p ⁶
31	32	33	34	35	36
Ga 4s ² 4p ¹	Ge 4s ² 4p ²	As 4s ² 4p ³	Se 4s ² 4p ⁴	Br 4s ² 4p ⁵	Kr 4s ² 4p ⁶
49	50	51	52	53	54
In 5s ² 5p ¹	Sn 5s ² 5p ²	Sb 5s ² 5p ³	Te 5s ² 5p ⁴	I 5s ² 5p ⁵	Xe 5s ² 5p ⁶
81	82	83	84	85	86
Tl 6s ² 6p ¹	Pb 6s ² 6p ²	Bi 6s ² 6p ³	Po 6s ² 6p ⁴	At 6s ² 6p ⁵	Rn 6s ² 6p ⁶

1 — Atomic number
H — Symbol
1s — Valence-shell configuration

Transition Metals d Subshell fills

3	4	5	6	7	8	9	10	11	12
IIIB	IVB	VB	VIB	VII B	VIII B			IB	IIB
21	22	23	24	25	26	27	28	29	30
Sc 3d ¹ 4s ²	Ti 3d ² 4s ²	V 3d ³ 4s ²	Cr 3d ⁵ 4s ¹	Mn 3d ⁵ 4s ²	Fe 3d ⁶ 4s ²	Co 3d ⁷ 4s ²	Ni 3d ⁸ 4s ²	Cu 3d ¹⁰ 4s ¹	Zn 3d ¹⁰ 4s ²
39	40	41	42	43	44	45	46	47	48
Y 4d ¹ 5s ²	Zr 4d ² 5s ²	Nb 4d ⁴ 5s ¹	Mo 4d ⁵ 5s ¹	Tc 4d ⁵ 5s ²	Ru 4d ⁷ 5s ¹	Rh 4d ⁸ 5s ¹	Pd 4d ¹⁰ 5s ⁰	Ag 4d ¹⁰ 5s ¹	Cd 4d ¹⁰ 5s ²
72	73	74	75	76	77	78	79	80	81
Hf 5d ² 6s ²	Ta 5d ³ 6s ²	W 5d ⁴ 6s ²	Re 5d ⁵ 6s ²	Os 5d ⁶ 6s ²	Ir 5d ⁷ 6s ²	Pt 5d ⁹ 6s ¹	Au 5d ¹⁰ 6s ¹	Hg 5d ¹⁰ 6s ²	Tl 6s ² 6p ¹
104	105	106	107	108	109				
Rf 6d ² 7s ²	Hf 6d ² 7s ²								

Inner-Transition Metals f Subshell fills

*Lanthanides	58	59	60	61	62	63	64	65	66	67	68	69	70	71
	Ce 4f ¹ 5d ¹ 6s ²	Pr 4f ³ 6s ²	Nd 4f ⁴ 6s ²	Pm 4f ⁵ 6s ²	Sm 4f ⁶ 6s ²	Eu 4f ⁷ 6s ²	Gd 4f ⁷ 5d ¹ 6s ²	Tb 4f ⁹ 6s ²	Dy 4f ¹⁰ 6s ²	Ho 4f ¹¹ 6s ²	Er 4f ¹² 6s ²	Tm 4f ¹³ 6s ²	Yb 4f ¹⁴ 6s ²	Lu 4f ¹⁴ 5d ¹ 6s ²
**Actinides	90	91	92	93	94	95	96	97	98	99	100	101	102	103
	Th 6d ² 7s ²	Pa 5f ² 6d ¹ 7s ²	U 5f ³ 6d ¹ 7s ²	Np 5f ⁴ 6d ¹ 7s ²	Pu 5f ⁶ 7s ²	Am 5f ⁷ 7s ²	Cm 5f ⁷ 6d ¹ 7s ²	Bk 5f ⁷ 7s ²	Cf 5f ¹⁰ 7s ²	Es 5f ¹¹ 7s ²	Fm 5f ¹² 7s ²	Md 5f ¹³ 7s ²	No 5f ¹⁴ 7s ²	Lr 5f ¹⁴ 6d ¹ 7s ²

■ Metal
■ Metalloid
■ Nonmetal

Periodic Table of Elements

1	IA																	0	
1	H	IIA																	2
3	Li	Be																	10
11	Na	Mg	IIIB	IVB	VB	VIB	VII B	VIII B	IB	IB									18
19	K	Ca	Sc	Ti	Y	Cr	Mn	Fe	Co	Ni	29	30	31	32	33	34	35	36	
37	Rb	Sr	Y	Zr	Nb	Mo	Tc	Ru	Rh	Pd	47	48	49	50	51	52	53	54	
55	Cs	Ba	*La	Hf	Ta	W	Re	Os	Ir	Pt	79	80	81	82	83	84	85	86	
87	Fr	Ra	+Ac	Rf	Ha	106	107	108	109	110									

* Lanthanide Series	58	59	60	61	62	63	64	65	66	67	68	69	70	71
	Ce	Pr	Nd		Sm	Eu	Gd	Tb	Dy	Ho	Er	Tm	Yb	Lu
+ Actinide Series	90	91	92	93	94	95	96	97	98	99	100	101	102	103
	Th	Pa	U											

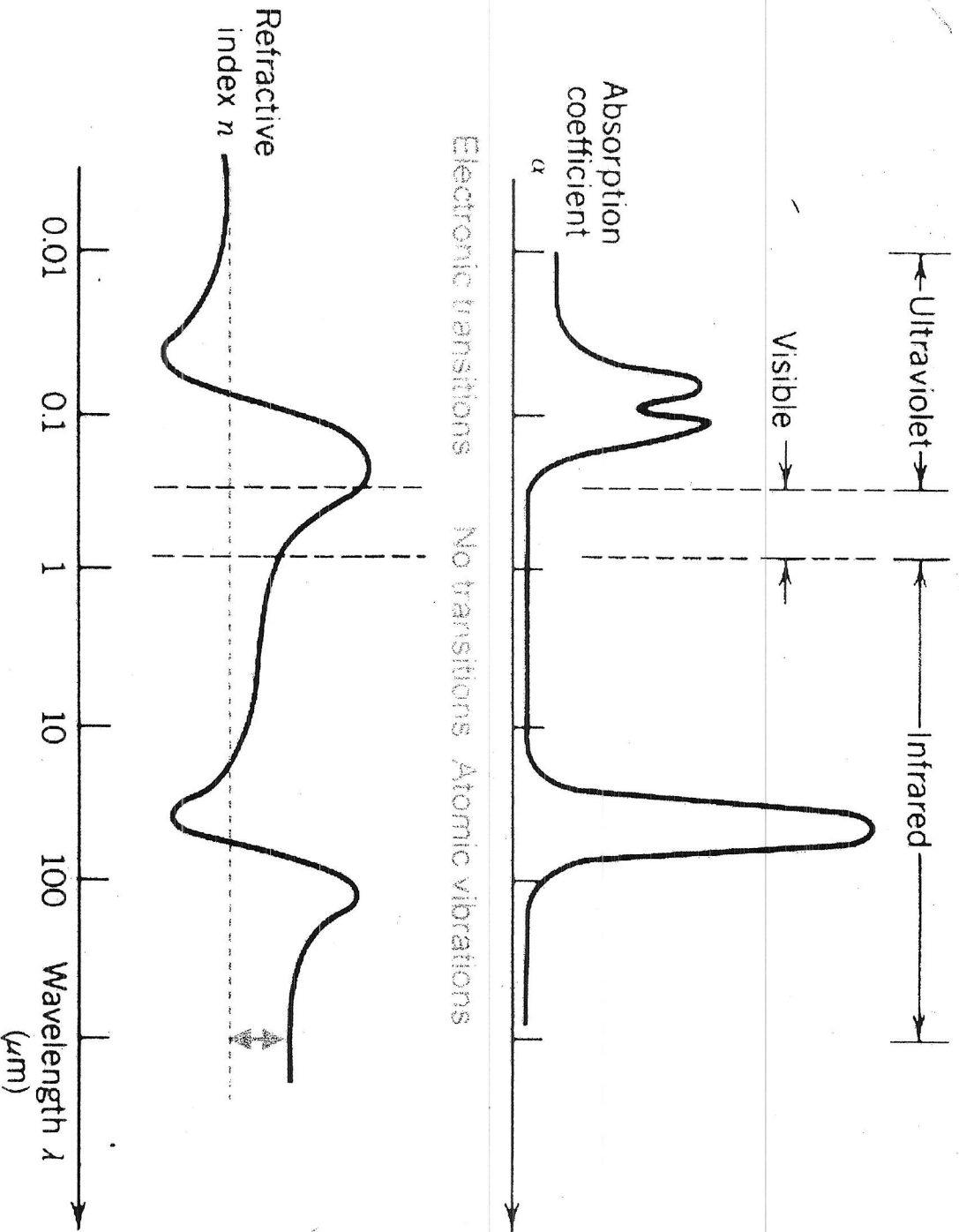
Legend - click to find out more...

H - gas Li - solid Br - liquid Hg - synthetic

■ Non-Metals ■ Transition Metals ■ Rare Earth Metals ■ Halogens

■ Alkali Metals ■ Alkali Earth Metals ■ Other Metals ■ Inert Elements

Dispersion and Absorption in Insulators



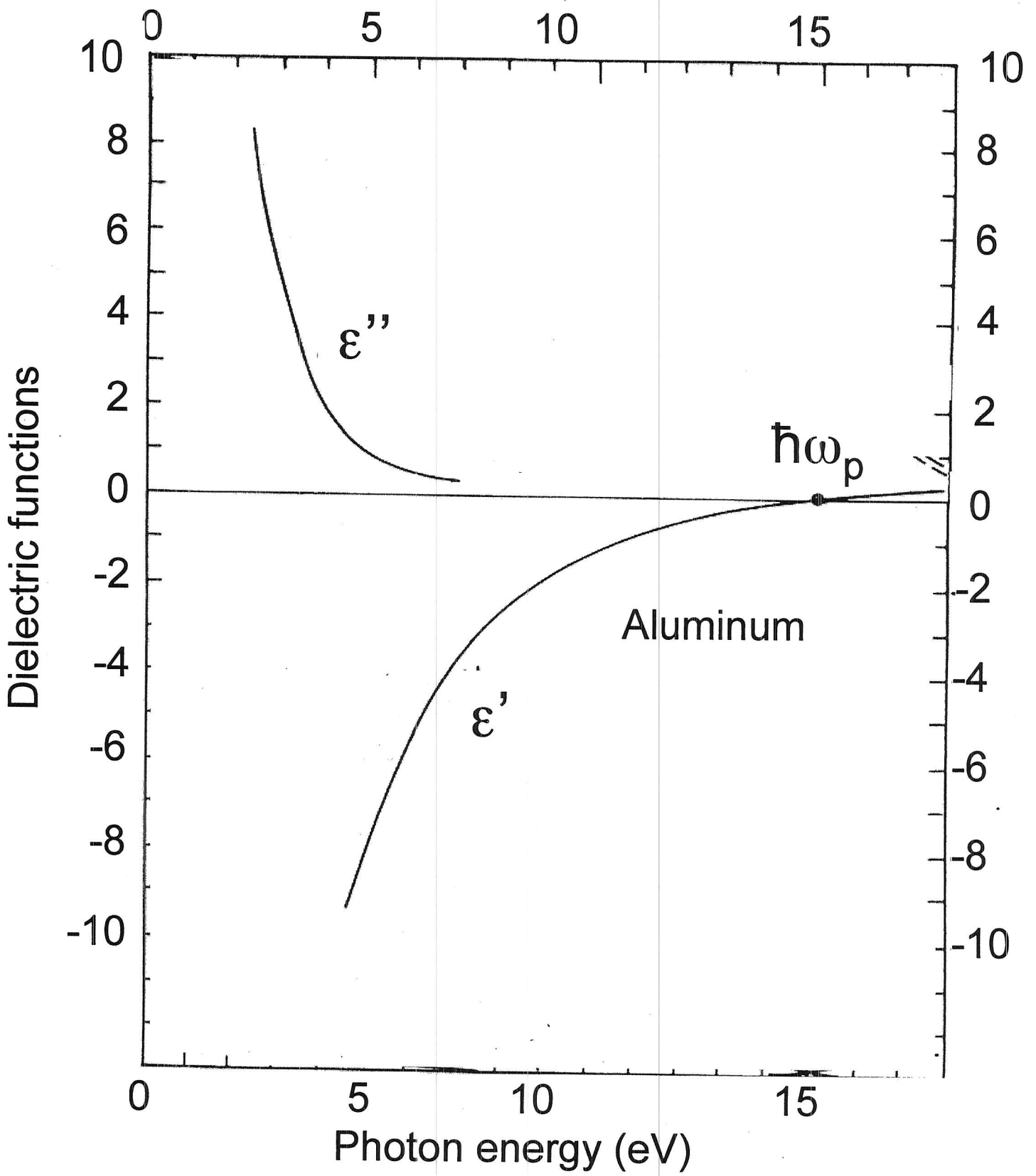
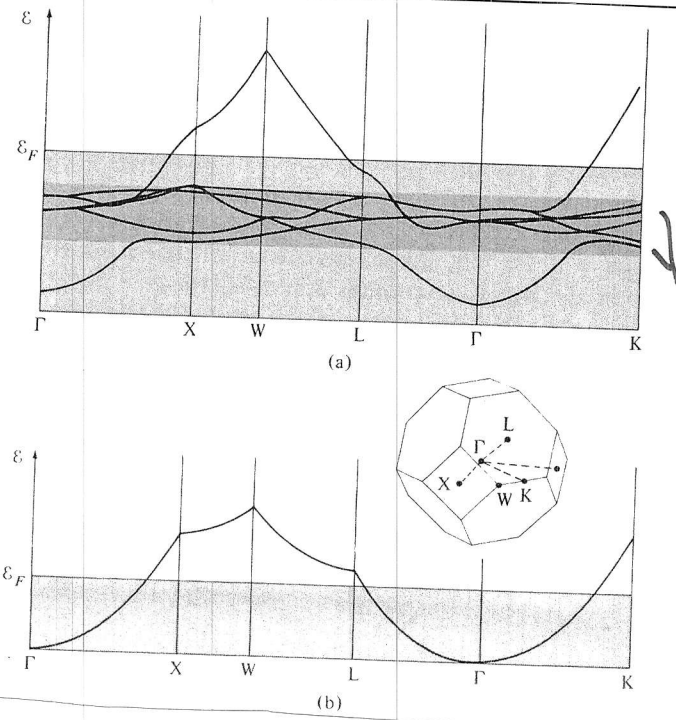


Table 12.1. Plasma frequencies of simple metals, as obtained from the onset of transparency, from electron energy loss (EEL), and from theory [Kit63, Rae80]. The values are given in energy $\hbar\omega_p$ or in wavenumber $\nu_p = \omega_p/2\pi c$.

Material	Number of electrons in conduction band	Optics		EEL		Calculated	
		ν_p (cm ⁻¹)	$\hbar\omega_p$ (eV)	ν_p (cm ⁻¹)	$\hbar\omega_p$ (eV)	ν_p (cm ⁻¹)	$\hbar\omega_p$ (eV)
Li	1	6.4×10^4	8.0	7.7×10^4	9.5	6.6×10^4	8.2
Na	1	4.6×10^4	5.9	4.4×10^4	5.4	4.6×10^4	5.7
Ca	1	3.1×10^4	3.9	3.1×10^4	3.8	3.1×10^4	3.9
Au	1	7.0×10^4	8.7	6.3×10^4	7.8	7.3×10^4	9
Al	3	12.1×10^4	15	12.1×10^4	15.0	12.7×10^4	15.8
Si	4			13.3×10^4	16.5	13.4×10^4	16.6

Figure 15.4
 (a) Calculated energy bands in copper. (After G. A. Burdick, *Phys. Rev.* **129**, 138 (1963).) The ϵ vs. k curves are shown along several lines in the interior and on the surface of the first zone. (The point Γ is at the center of the zone.) The d -bands occupy the darkest region of the figure, whose width is about 3.5 eV.
 (b) The lowest-lying free electron energies along the same lines as in (a). (The energy scales in (a) and (b) are not the same.)



3.3 A Qualitative Look at Real Metals

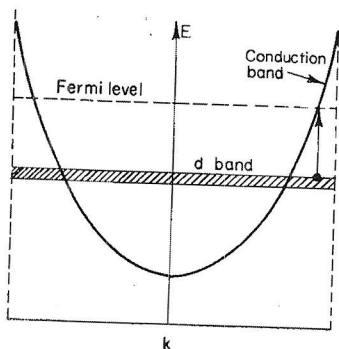


Fig. 3.16 Schematic band diagram for the noble metals.

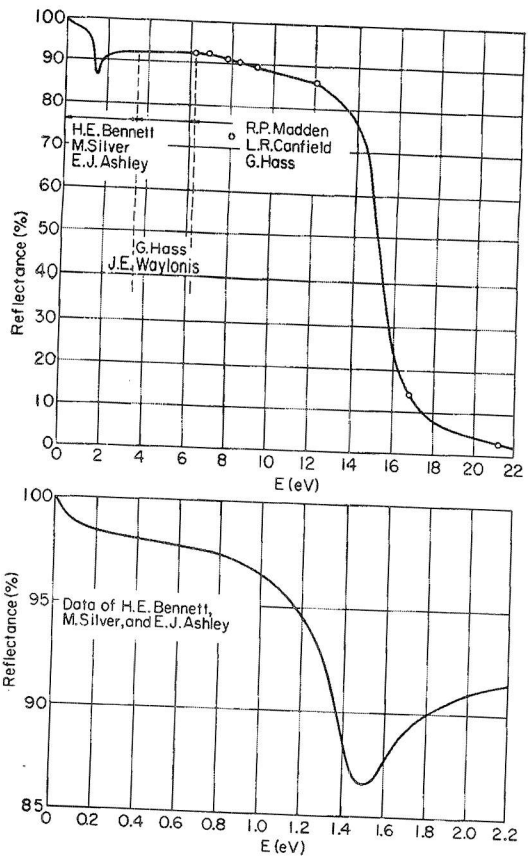


Fig. 3.13 Reflectance of aluminum. The decrease in reflectance at $\hbar\omega = 1.4$ eV arises from a weak interband transition. The large decrease in reflectance at $\hbar\omega = 14.7$ eV identifies the plasma resonance. [From H. Ehrenreich, H. R. Philipp, and B. Segall, *Phys. Rev.* **132**, 1918 (1963).]

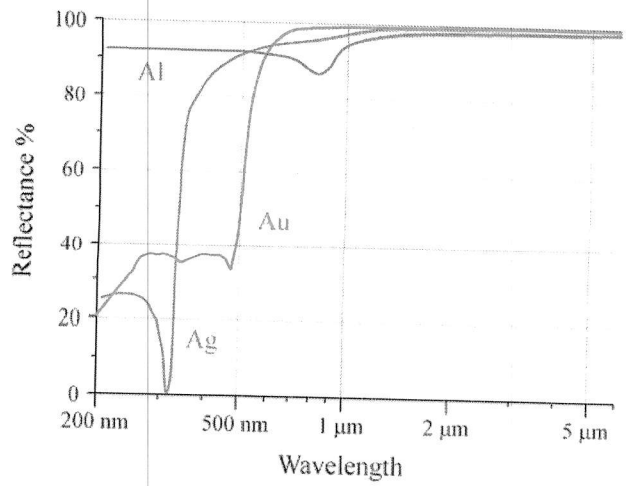


Fig. 3.15 Reflectance of Ag. [From G. B. Irani, T. Huen, and F. Wooten, *Phys. Rev.* **3B**, 2385 (1971).]

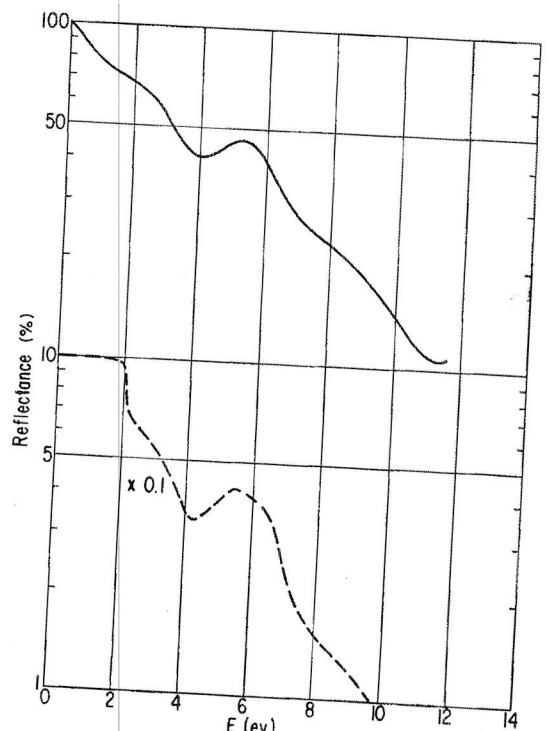
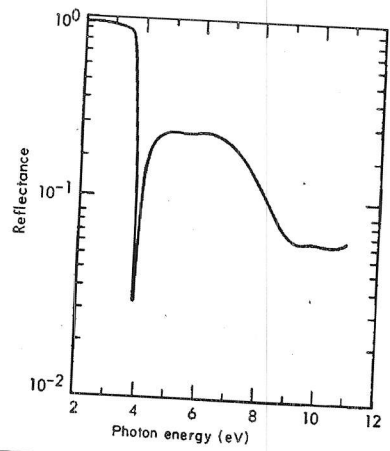


Fig. 3.21 Spectral dependence of the reflectance of Cu (lower curve) and Ni (upper curve). [Cu data from H. Ehrenreich and H. R. Philipp, *Phys. Rev.* **128**, 1622 (1962); Ni data from H. Ehrenreich, H. R. Philipp, and D. J. Olechna, *Phys. Rev.* **131**, 2469 (1963).]

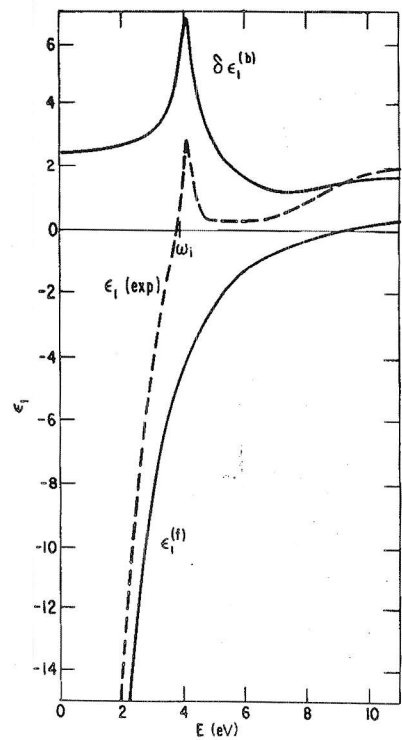


Fig. 3.18 Decomposition of the experimental values of $\epsilon_1(\omega)$ for Ag into free and bound contributions $\epsilon_1^{(f)}$ and $\delta\epsilon_1^{(b)}$. The threshold energy for interband transitions is indicated by ω_i . [From H. Ehrenreich and H. R. Philipp, *Phys. Rev.* **128**, 1622 (1962).]

Fig. 3.17 Spectral dependence of the real and imaginary dielectric functions for Ag. [From H. Ehrenreich and H. R. Philipp, *Phys. Rev.* **128**, 1622 (1962).]

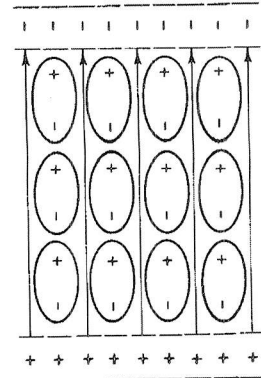
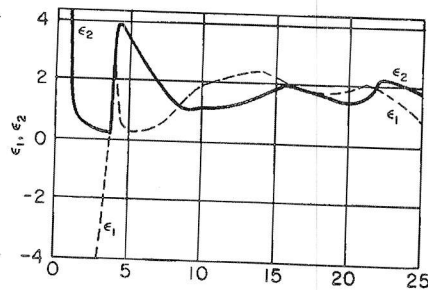


Fig. 3.20 Screening of plasma oscillations by polarization of localized electrons. Compare with Fig. 3.19. The d electrons are highly localized on atomic sites. However, their polarizability may be high enough to cause appreciable screening of the forces between fluctuations in the charge densities of conduction electrons. The result can be a significant shift in the plasma frequency.

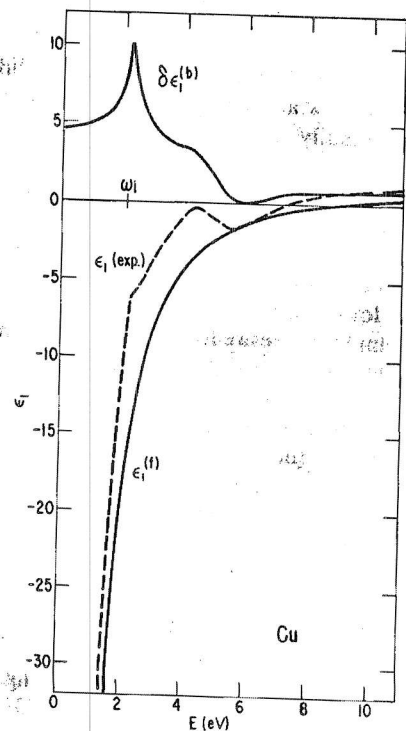
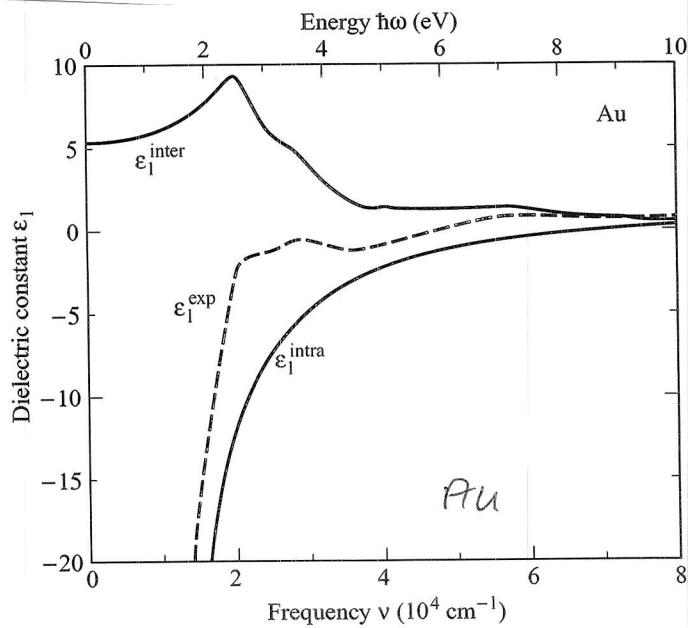


Fig. 3.22 Decomposition of the experimental values of $\epsilon_1(\omega)$ for Cu into free and bound contributions $\epsilon_1^{(f)}$ and $\delta\epsilon_1^{(b)}$. The threshold energy for interband transitions is indicated by ω_i . [H. Ehrenreich and H. R. Philipp, *Phys. Rev.* **128**, 1622 (1962).]

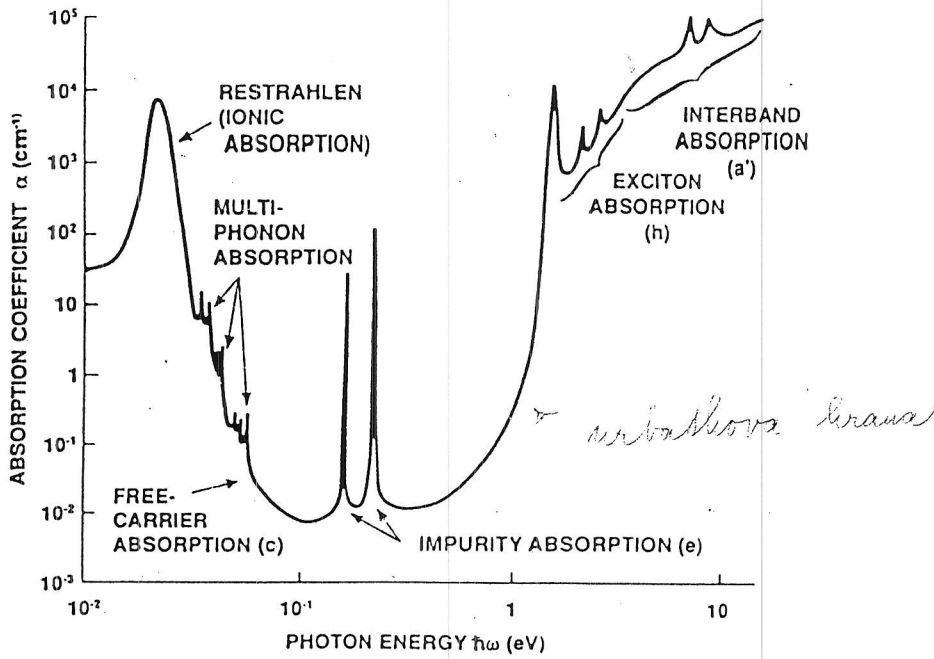


FIG. 6. Typical low-intensity absorption spectrum for a hypothetical direct-band-gap semiconductor ($E_g \approx 1$ eV) whose band structure is represented schematically in Fig. 5. The semiconductor is assumed to be at low temperatures and doped with deep-level impurities. The letters in parentheses designate transitions shown in Fig. 5. (From Jain and Klein, 1983.)

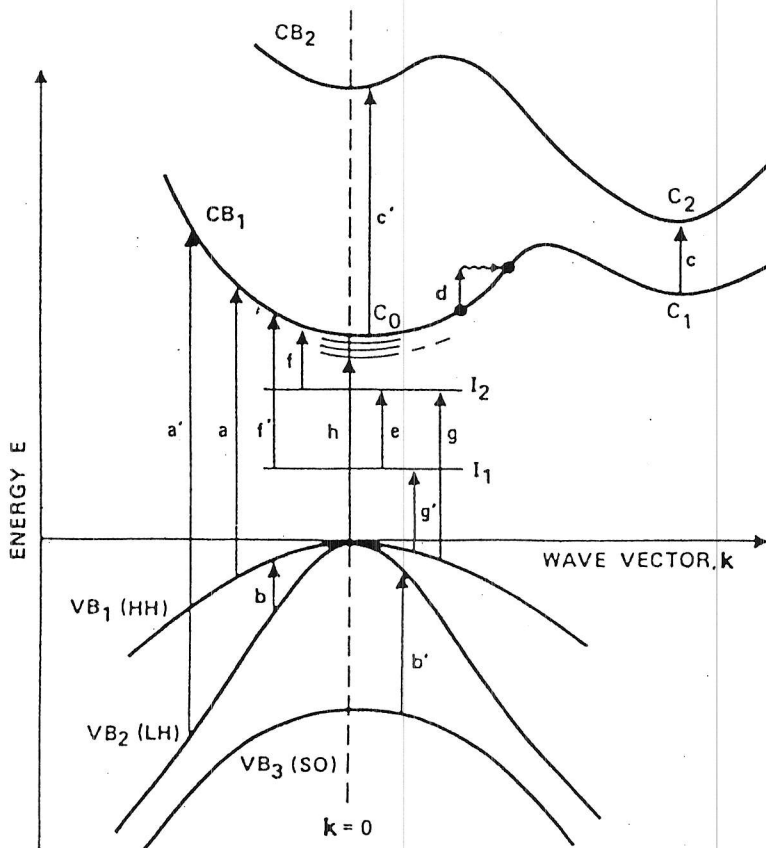


FIG. 5. Schematic representation of the most prominent types of transitions present in a semiconductor. CB_i are the conduction bands and VB_i are the valence bands, with HH, LH, and SO the heavy-hole, light-hole, and split-off bands, respectively. The vertical arrows indicate a variety of transitions that may be induced by optical radiation (From Jain and Klein, 1983.)

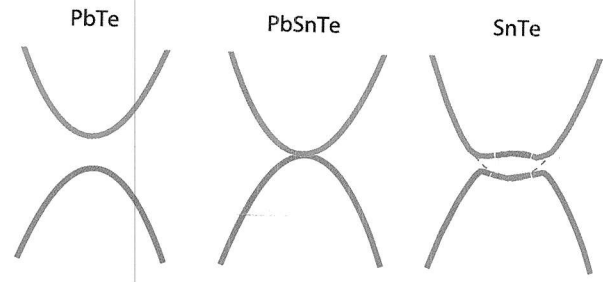
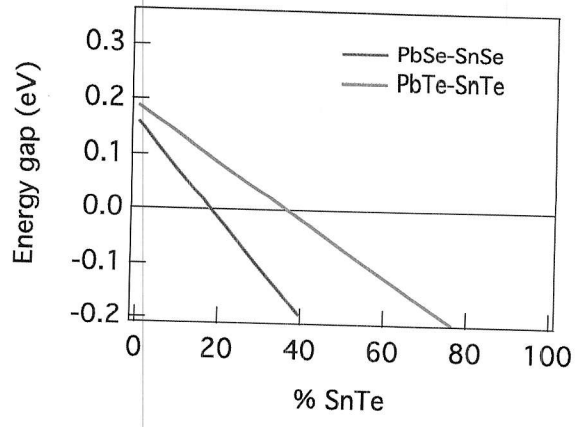
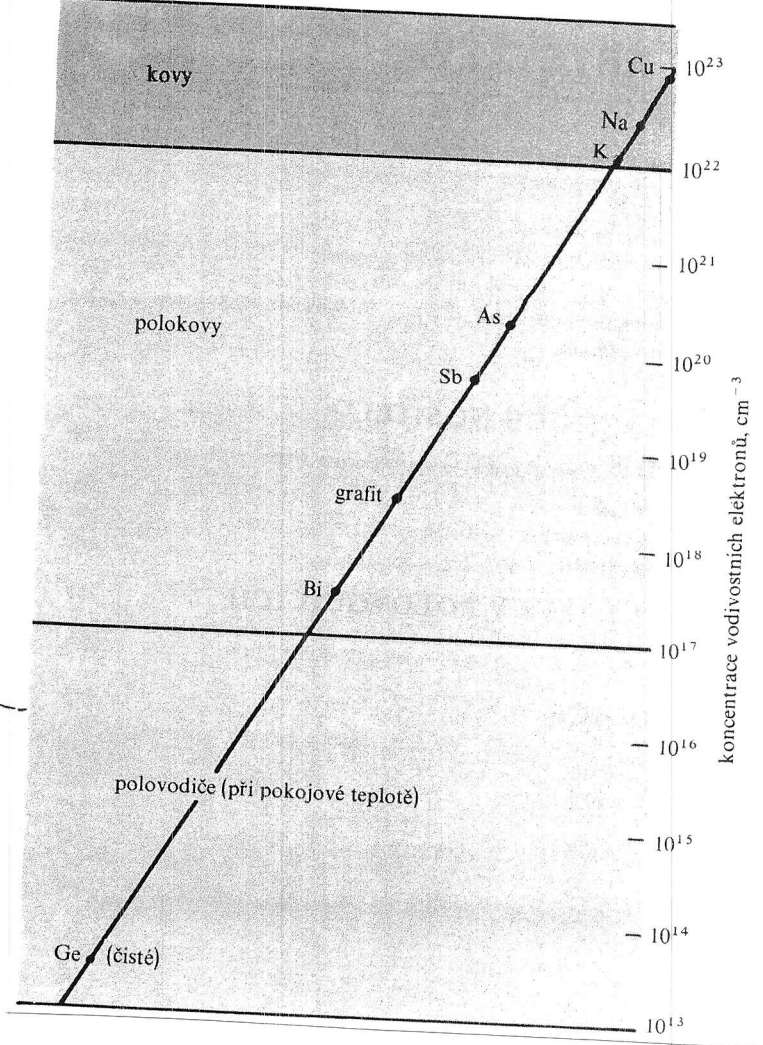
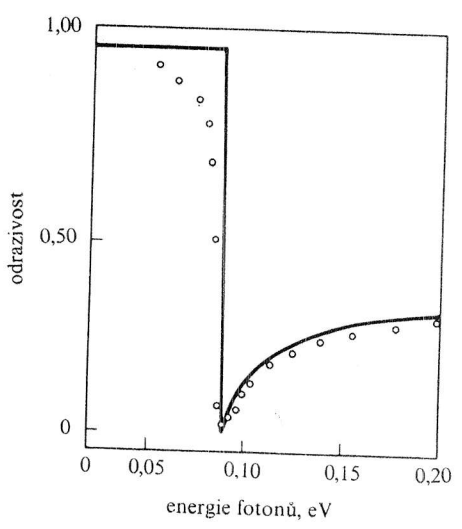


Figure 1. Upper panel: energy gap of the PbTe-SnTe (red line, after [8]) and PbSe-SnSe (blue line, after [5]) quasibinary alloys at low temperature. Lower panel: schematics of the band inversion along the quasibinary tie-lines.



Obr. 10.3 Odrazivost antimonidu india s koncentrací vodivostních elektronů $n = 4 \cdot 10^{18} \text{ cm}^{-3}$ (podle W. G. Spitzera a H. Y. Fana, Phys. Rev. 108, 88 (1957); převzato od J. N. Hodgsona.)

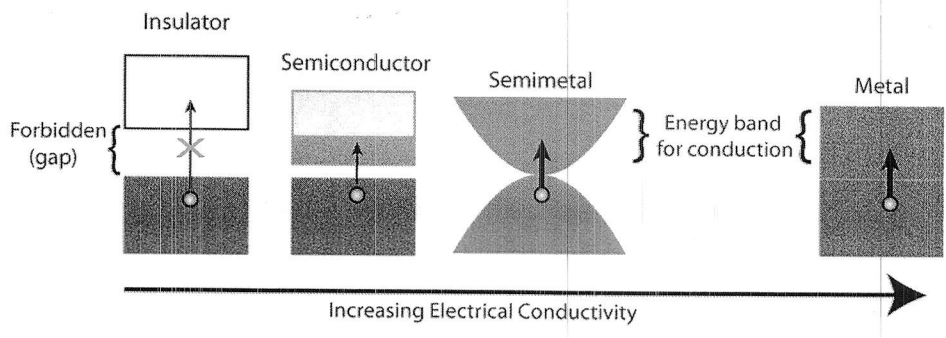
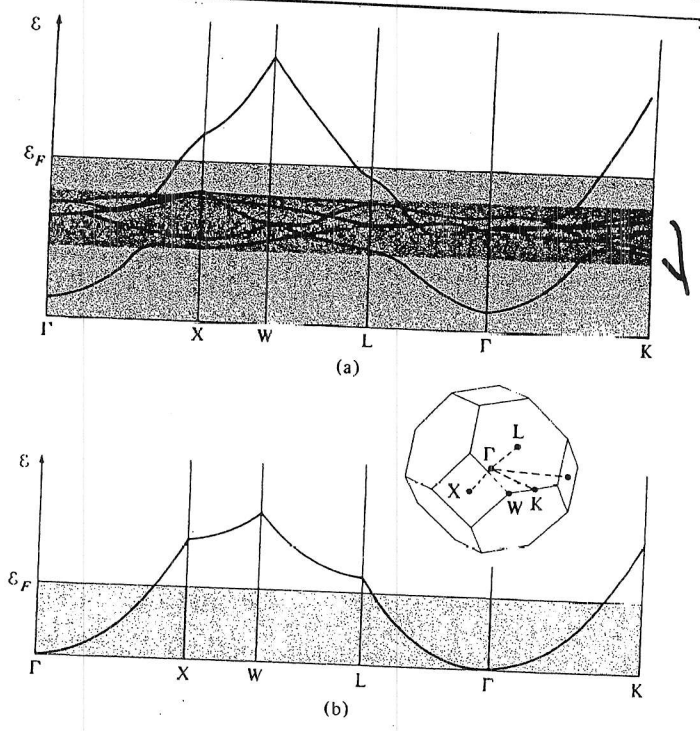


Table 12.1. Plasma frequencies of simple metals, as obtained from the onset of transparency, from electron energy loss (EEL), and from theory [Kit63, Rae80]. The values are given in energy $\hbar\omega_p$ or in wavenumber $\nu_p = \omega_p/2\pi c$.

Material	Number of electrons in conduction band	Optics		EEL		Calculated	
		ν_p (cm ⁻¹)	$\hbar\omega_p$ (eV)	ν_p (cm ⁻¹)	$\hbar\omega_p$ (eV)	ν_p (cm ⁻¹)	$\hbar\omega_p$ (eV)
Li	1	6.4×10^4	8.0	7.7×10^4	9.5	6.6×10^4	8.2
Na	1	4.6×10^4	5.9	4.4×10^4	5.4	4.6×10^4	5.7
Ca	1	3.1×10^4	3.9	3.1×10^4	3.8	3.1×10^4	3.9
Au	1	7.0×10^4	8.7	6.3×10^4	7.8	7.3×10^4	9
Al	3	12.1×10^4	15	12.1×10^4	15.0	12.7×10^4	15.8
Si	4			13.3×10^4	16.5	13.4×10^4	16.6

Figure 15.4
 (a) Calculated energy bands in copper. (After G. A. Burdick, *Phys. Rev.* **129**, 138 (1963).) The ϵ vs. k curves are shown along several lines in the interior and on the surface of the first zone. (The point Γ is at the center of the zone.) The d -bands occupy the darkest region of the figure, whose width is about 3.5 eV.
 (b) The lowest-lying free electron energies along the same lines as in (a). (The energy scales in (a) and (b) are not the same.)



3.3 A Qualitative Look at Real Metals

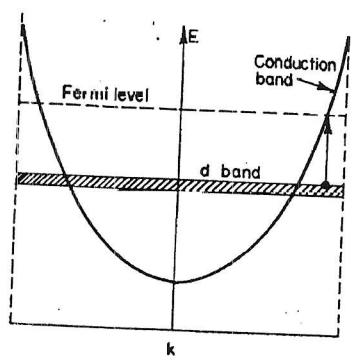


Fig. 3.16 Schematic band diagram for the noble metals.

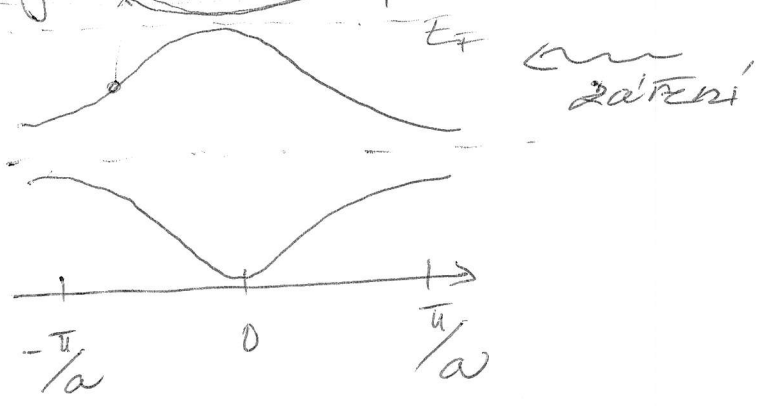
① Fyzika polovodičů pro optoelektroniku II

Mikroskopická teorie absorpce světla

V krystalických látkách

- semiklasická

Hypotetická pevná látka:



$$E = E_0 \cos(\vec{k} \cdot \vec{r} - \omega t) = \frac{E_0}{2} (e^{i(\vec{k} \cdot \vec{r} - \omega t)} + e^{-i(\vec{k} \cdot \vec{r} - \omega t)})$$

Vlastní stavy elektronu popsány Blochovými

funkcemi: $\psi_{n\vec{k}}(\vec{r}) = e^{i\vec{k} \cdot \vec{r}} u_{n\vec{k}}(\vec{r})$

$n\vec{k}$ → index pásu
 $u_{n\vec{k}}(\vec{r})$ → dráhová funkce

Jednočásticový Hamiltonián:

$$H_0 = \frac{p^2}{2m} + V(\vec{r})$$

Popis EM záření ⇒ zavedení vektorového a skalárního potenciálu ⇒ ^{Coulombova} Lorenzova kalibrace

$$\phi = 0 \quad \nabla \cdot \vec{A} = 0$$

$$\Rightarrow \vec{E} = -\frac{\partial \vec{A}}{\partial t}$$

$$\Rightarrow \text{záření} \Rightarrow \vec{p} \rightarrow \vec{p} - e\vec{A}$$

② Celkový Hamiltonián

$$H = \frac{(\vec{p} - c\vec{A})^2}{2m_0} + V(\vec{r}) = \frac{p^2}{2m_0} + \frac{c^2 A^2}{2m_0} - \frac{c}{2m_0} \vec{p} \cdot \vec{A} - \frac{c}{2m_0} \vec{A} \cdot \vec{p} + V(\vec{r})$$

$$(\vec{p} \cdot \vec{A}) f(\vec{r}) = A \cdot \left(\frac{\hbar}{i} \nabla f \right) + \left(\frac{\hbar}{i} \nabla \cdot \vec{A} \right) f \Rightarrow \vec{p} \cdot \vec{A} = \vec{A} \cdot \vec{p}$$

$$(\vec{p} \cdot \vec{A} + \vec{A} \cdot \vec{p}) \psi = -i\hbar (\nabla(\vec{A}\psi) + \vec{A}\nabla\psi) = -i\hbar (\psi \nabla \cdot \vec{A} + \vec{A} \cdot \nabla\psi + \psi \nabla \cdot \vec{A}) = -2i\hbar \vec{A} \cdot \nabla\psi$$

$$H = \frac{p^2}{2m_0} + \frac{c^2 A^2}{2m_0} - \frac{c}{m_0} \vec{p} \cdot \vec{A} + V(\vec{r})$$

$\omega_{E_0}^2 \dots$ nelineární jevy
 \rightarrow nízké intenzity $\Rightarrow -0$

$$H = H_0 + H_I \text{ interakční Hamiltonián}$$

$$= -\frac{c}{m_0} \vec{p} \cdot \vec{A} = -\frac{c}{m_0} \vec{A} \cdot \vec{p}$$

Absorpce světla \Rightarrow dynamický proces

\Rightarrow časová Schrödingerova rovnice

1) Pro krátké čas, ~~slabé~~ buzení, silná relaxace
 \Rightarrow Fermi Golden Rule

2) silná excitace, pomalé relaxace, dlouhá čas
 plus řešení S.R. \Rightarrow Rabiho oscilace

Množství 1, i 2, relevantní ve fyzice poměrně krátké

1) běžná lineární optická materiálu

2) spec. experimenty se silnou excitací
 (pump & probe time resolved, ...)

③ Zlatim situacia 1)

FGR: $P_{i \rightarrow f} = \frac{2\pi}{\hbar} |\langle k_i | H_I | f \rangle|^2 \delta(E_f - E_i - \hbar\omega)$
 občas psane $\frac{2\pi}{\hbar} |\langle k_i | H_I | f \rangle|^2 \delta(\omega_f - \omega_i - \omega)$

celkova absorpcia na frekvencii ω

$$P_{total}(\omega) = \sum_{i \neq f} P_{i \rightarrow f} = \frac{2\pi}{\hbar} \sum_{i \neq f} |\langle k_i | H_I | f \rangle|^2 \delta(E_f - E_i - \hbar\omega)$$

Podmienky platnosti FGR \Rightarrow velmi kratka' casy, pohyb se system' neryadly' a poc. stavu, silne' relaxace

Rozmerova' analyza: $P_{total}(\omega) [\text{S}^{-1}] = \frac{1}{\text{J} \cdot \text{s}} \cdot \text{J}^2 \cdot \frac{1}{\text{J}}$
 \Rightarrow pocet absorbovanych fotonu o frekv. ω za 1s

$$\int_{-\infty}^{\infty} \delta(x) dx = \int_{-\infty}^{\infty} \delta(u) \frac{du}{|x|} = \frac{1}{|x|}$$

Absorbovaná energia za 1s:

$$W_{total} = \hbar\omega P_{total}$$

Hustota elmag. energie: $U = \frac{1}{2} (\vec{E} \cdot \vec{D} + \vec{B} \cdot \vec{H}) = \vec{E} \cdot \vec{D}$ pro EM vlny

$$\Rightarrow \langle U \rangle = \frac{1}{2} \langle \frac{1}{4} \epsilon_0 (\vec{E} + \vec{E}^*) (\vec{E} + \vec{E}^*) \rangle = \frac{1}{4} 2\epsilon_1 |\vec{E}|^2 \cdot \epsilon_0 = \frac{1}{2} \epsilon_1 \epsilon_0 |\vec{E}|^2$$

Aprox. slabé absorb. prostredí: $\epsilon_1 \sim n^2 \Rightarrow U = \frac{n^2 \epsilon_0}{2} |\vec{E}|^2$

$$-\frac{dU}{dt} = W_{total} = -\frac{dU}{dx} \cdot \frac{dx}{dt} = \alpha U \cdot v = \alpha U \cdot \frac{c}{n} \quad \frac{I}{I_0} = e^{-\alpha x}$$

$$\alpha = \frac{2\omega \mathcal{H}}{c} = \frac{2\omega \mathcal{H}}{c} \cdot \frac{n}{n} = \frac{\omega \epsilon_2}{c_0 n} \quad N = n + ik$$

$$W_{tot} = P_{tot} \hbar\omega = \frac{\omega \epsilon_2}{c n} \cdot \frac{c}{n} \cdot \frac{n^2 \epsilon_0}{2} |\vec{E}|^2 = \frac{1}{2} \omega \epsilon_0 \epsilon_2 |\vec{E}|^2$$

4) 2 toho:

$$\epsilon_2 = 2P_{total} \cdot \mu \cdot \frac{1}{|\mathbf{E}|^2} \cdot \frac{1}{\epsilon_0}$$

↳ máme tiež $\epsilon_1 \Rightarrow \epsilon_1 \stackrel{k.k.}{\approx} \epsilon_2$

2 by'va' "drobnost" \Rightarrow dopočetat $\langle f | H_{\pm} | i \rangle$

2dc zariadenia fyzika pomyš'la la'ed

$$H_{\pm} = -\frac{q}{m_0} \vec{A} \cdot \vec{p}$$

Nyní vlnový vektor zariadení zariadení \vec{q}

$$H_{\pm}' = -\frac{q}{m_0} \frac{A_0}{2} \vec{\alpha} \cdot \vec{p} \cdot e^{i\vec{q} \cdot \vec{r}}$$

Pozor: $\vec{A} = \frac{A_0}{2} \left(\underbrace{e^{i(\vec{q} \cdot \vec{r} - \omega t)}}_{\text{Absorbacia}} + \underbrace{e^{-i(\vec{q} \cdot \vec{r} - \omega t)}}_{\text{Emisie}} \right)$

integrace podle času:

$$\int e^{\frac{iEt}{\hbar}} e^{-i\omega t} e^{-i\frac{Et}{\hbar}} dt \sim \delta(E_c(\vec{k}) - E_v(\vec{k}) - \hbar\omega)$$

$$P_{total} = \dots \delta(E_f - E_i - \hbar\omega) \quad P_{total} = \delta(E_f - E_i + \hbar\omega)$$

popisuje absorpciu a emisi v prítomnosti EV pole

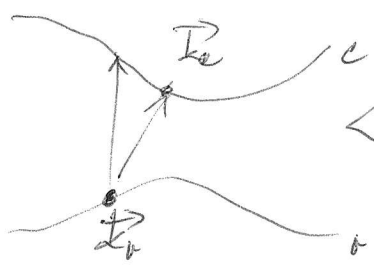
elektronové stavy:

$$|f\rangle = \psi_{\vec{k}_c}^c(\vec{r}) = e^{i\vec{k}_c \cdot \vec{r}} u_{\vec{k}_c}^c(\vec{r})$$

$$|i\rangle = \psi_{\vec{k}_v}^v(\vec{r}) = e^{i\vec{k}_v \cdot \vec{r}} u_{\vec{k}_v}^v(\vec{r})$$

polovodič
 ↳ nemí problém rozšířit na více pásů \rightarrow více indexů

\Rightarrow přechod vlnění \rightarrow vlnivostní pás



$$\langle f | H_{\pm} | i \rangle = \int_{\text{krystal}} e^{-i\vec{k}_c \cdot \vec{r}} u_{\vec{k}_c}^c(\vec{r}) \left(\vec{\alpha} \cdot \vec{p} \right) e^{i\vec{k}_v \cdot \vec{r}} u_{\vec{k}_v}^v(\vec{r}) dV$$

$\int dV = 0$ protože u^c a u^v jsou ortogonální
 $\int u_{\vec{k}_c}^c u_{\vec{k}_v}^v = 0$ přenosem $u_{\vec{k}_v}^v$

⑤ $\langle f | H_I' | i \rangle = \frac{e}{m_0} \frac{A_0}{2} \int \mathcal{L} i(\vec{k}_r - \vec{k}_e + \vec{q}) \cdot \vec{r} \mu_{\vec{k}_e}^{c*}(\vec{r}, \vec{p}) \mu_{\vec{k}_r}^v(\vec{r}) dV$

Integracia pres celý kryštál d^3r

$r \rightarrow \vec{R}_i + \vec{r}'$ relatívni súradnice

$\vec{R}_i \dots$ polohy unitárnych cel

$$= \frac{e}{m_0} \frac{A_0}{2} \left[\int_{\text{unitárna bunka}} \mathcal{L} i(\vec{k}_r - \vec{k}_e + \vec{q}) \cdot \vec{r} \mu_{\vec{k}_e}^{c*}(\vec{r}') (\vec{r} \cdot \vec{p}) \mu_{\vec{k}_r}^v(\vec{r}') d^3r' \right] \times$$

$$\times \sum_{\# \text{ cel } i} \mathcal{L} i(\vec{k}_r - \vec{k}_e + \vec{q}) \cdot \vec{R}_i \delta(\vec{k}_r - \vec{k}_e + \vec{q})$$

Ďalšou zashorami: $\vec{k}_r - \vec{k}_e + \vec{q} = 0 \dots$ inak fyzikalek = 0

Velikost $|\vec{q}| = \frac{2\pi}{a_0}$ $\vec{k}_r, \vec{k}_e \approx \frac{2\pi}{a_0} \rightarrow$ mriežová konst. $\mu_{\vec{k}_e + \vec{q}}^c = \mu_{\vec{k}_e}^c$
 $\sim 1 \mu\text{m}$ $\Rightarrow \vec{q} = 0 \Rightarrow$ vertikálni prechody
 dipolova aprox $\vec{k}_e = \vec{k}_r$
 dipol. aprox. ekvivalentní $\mu_{\vec{k}_e + \vec{q}}^c = \mu_{\vec{k}_e}^c$
 menš o faktor $(\frac{a_0}{2})^2$ $V_{\text{kryštál}} = 1$

$$= \frac{e}{m_0} \frac{A_0}{2} \cdot \frac{N \cdot V_{\text{cela}}}{V_{\text{cela}}} \int d^3r' \mu_{\vec{k}_e}^{c*}(\vec{r}') (\vec{r} \cdot \vec{p}) \mu_{\vec{k}_r}^v(\vec{r}') \cdot \delta_{\vec{k}_e, \vec{k}_r}$$

\rightarrow polud ymacionine normovacie fee, (množine normovacie výsledok)

$$\langle f | H_I' | i \rangle = \langle c | H_I | r \rangle = \frac{e A_0}{m_0 2} \frac{1}{V} \int d^3r' \mu_{\vec{k}_e}^{c*}(\vec{r}') (\vec{r} \cdot \vec{p}) \mu_{\vec{k}_r}^v(\vec{r}') \cdot \delta_{\vec{k}_e, \vec{k}_r}$$

$|f\rangle \langle c|$

$$\begin{aligned}
 \textcircled{6} \quad P_{\text{total}} &= \frac{2\pi}{\hbar} \sum_{\mathbf{k}} \left(\frac{eA_0}{\sqrt{m_0}} \right)^2 |p_{\text{con}}|^2 \delta(E_c(\mathbf{k}) - E_v(\mathbf{k}) - \hbar\omega) \\
 &= \frac{2\pi}{\hbar} \sum_{\mathbf{k}} \left(\frac{eE_0}{\omega m_0} \right)^2 |p_{\text{con}}|^2 \delta(E_c(\mathbf{k}) - E_v(\mathbf{k}) - \hbar\omega)
 \end{aligned}$$

\Rightarrow dielektrická funkce pro jeden
 odpovídající přechod: $\epsilon_2 = 2 P_{\text{total}} \frac{1}{\hbar} \frac{1}{E_0}$

$$\begin{aligned}
 \epsilon_2 &= \frac{4\pi}{\epsilon_0} \frac{1}{|E_0|^2} \sum_{\mathbf{k}} \left(\frac{eE_0}{\omega m_0} \right)^2 |p_{\text{con}}|^2 \delta(\dots) \\
 &= \frac{4\pi}{\epsilon_0} \frac{e^2}{\omega^2} \frac{1}{m_0^2} \sum_{\mathbf{k}} |p_{\text{con}}|^2 \delta(\dots) \\
 &\quad \Downarrow \\
 &\quad \frac{1}{\hbar} \delta(\omega_c - \omega_v - \omega)
 \end{aligned}$$

$\epsilon_1 = ? \Rightarrow$ k.k. relace

$$\epsilon_1(\omega) = 1 + \frac{2}{\pi} \mathcal{P} \int_0^{\infty} \frac{\omega' \epsilon_2(\omega')}{\omega'^2 - \omega^2} d\omega' = 1 + \frac{\pi}{2\hbar} \frac{4}{\pi} \frac{e^2}{m_0^2} \frac{1}{\epsilon_0}$$

$$\cdot \sum_{\mathbf{k}} |p_{\text{con}}|^2 \int_0^{\infty} \frac{\omega'}{\omega'^2} \frac{\delta(\omega_c - \omega_v - \omega')}{\omega'^2 - \omega^2} d\omega' = 1 + \frac{2}{\hbar} \frac{e^2}{m_0^2} \frac{1}{\epsilon_0}$$

$$\sum_{\mathbf{k}} |p_{\text{con}}|^2 \cdot \frac{1}{\omega_{cv}} \cdot \frac{1}{\omega_{cv}^2 - \omega^2} \quad \text{kde} \quad \omega_{cv}(\mathbf{k}) = \frac{1}{\hbar} (E_c(\mathbf{k}) - E_v(\mathbf{k}))$$

Lorentzův model pro $P=0$: $\epsilon_1 = 1 + \sum_i \frac{q_i^2 N_i}{m_i \epsilon_0} \frac{1}{\omega_i^2 - \omega^2}$

$$\epsilon_1 = 1 + \underbrace{\frac{N_q^2}{m_e \epsilon_0}}_f \frac{1}{\omega_0^2 - \omega^2} \quad \text{Síla oscilátoru}$$

$$\Rightarrow \epsilon_1 = 1 + \frac{e^2}{m_0 \epsilon_0} \sum_{\mathbf{k}} \frac{2}{\hbar m_0} \frac{|p_{\text{con}}|^2}{\omega_{cv}} \frac{1}{\omega_{cv}^2 - \omega^2}$$

7

$$\Rightarrow \epsilon_1 = 1 + \frac{e^2}{\mu_0 \epsilon_0} \sum_{\mathbf{k}} \frac{f(\mathbf{k})}{\omega_{\mathbf{k}}^2 - \omega^2}$$

Pokud $f(\mathbf{k})$ ~~ne~~ avisi púle, pak

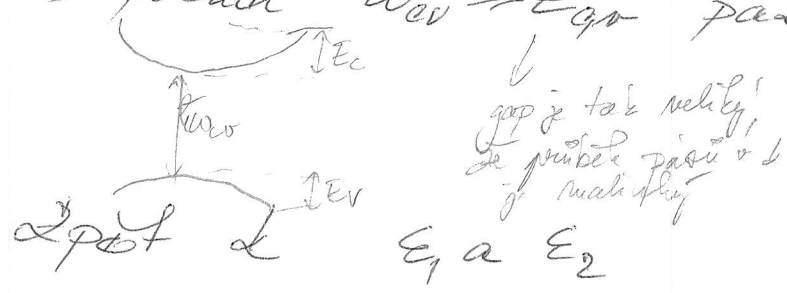
$$\epsilon_1 = 1 + \frac{e^2 f_{av}}{\mu_0 \epsilon_0} \sum_{\mathbf{k}} \frac{1}{\omega_{\mathbf{k}}^2 - \omega^2}$$

Speciální případ \Rightarrow izolátor s velkými gaps např. CaF_2

\Rightarrow pokud $\omega_{\mathbf{k}} \Rightarrow E_{\mathbf{k}}$ pak

$$\epsilon_1 = 1 + \frac{e^2 f_{av}}{\mu_0 \epsilon_0} \frac{1}{\omega_{\mathbf{k}}^2 - \omega^2}$$

\hookrightarrow Sellmeier



$$\epsilon_1 = 1 + \frac{e^2 f_{av}}{\mu_0 \epsilon_0} \sum_{\mathbf{k}} \frac{1}{\omega_{\mathbf{k}}^2(\mathbf{k}) - \omega^2} \quad \omega \quad \epsilon_2 = \frac{\pi}{2\epsilon_0} \frac{e^2}{\omega} \cdot \frac{1}{\mu_0} f_{av} \underbrace{\sum_{\mathbf{k}} \delta(E_C - E_V - \hbar\omega)}_{f_{DOS}(\omega)}$$

1) Fyzika polovodičů pro optoelektroniku II

malé opakování: Mezipásová absorpce

- přímé přechody:

Semiklasický přístup \Rightarrow interakční Hamiltonián

$$H_I = -\frac{e}{m_0} \vec{p} \cdot \vec{A}$$

Fermiho zlaté pravidlo: $P_{i \rightarrow f} = \frac{2\pi}{\hbar} |\langle f | H_I | i \rangle|^2 \delta(E_f - E_i - \hbar\omega)$

celková absorpce: $P_{tot} = \sum_{i \neq f} P_{i \rightarrow f}$

$$\epsilon_2 = 2P_{tot} \hbar \frac{1}{|E|^2} \frac{1}{\epsilon_0}$$

$i \rightarrow$ valenční pás $\rightarrow \psi^v_{\vec{k}}(\vec{r}) = e^{i\vec{k}_v \cdot \vec{r}} u^v_{\vec{k}_v}(\vec{r})$

$f \rightarrow$ konduktivní pás $\rightarrow \psi^c_{\vec{k}}(\vec{r}) = e^{i\vec{k}_c \cdot \vec{r}} u^c_{\vec{k}_c}(\vec{r})$

Coulombova (přímá) kalibrace

$$\phi = 0 \text{ \& \ } \nabla \cdot \vec{A} = 0 \quad \vec{A} = \frac{A_0}{2} \left(e^{i(\vec{q} \cdot \vec{r} - \omega t)} + e^{-i(\vec{q} \cdot \vec{r} - \omega t)} \right)$$

wahujime pouze absorpci

$$\langle f | H_I | i \rangle \rightarrow \frac{e}{m_0} \frac{A_0}{2} \int e^{-i(\vec{k}_v - \vec{k}_c + \vec{q}) \cdot \vec{r}} u^c_{\vec{k}_c}(\vec{r}') (\vec{\alpha} \cdot \vec{p}) u^v_{\vec{k}_v}(\vec{r}') d\vec{r}' \times$$

mut. cela

$$\times \sum_{\vec{R}_i} e^{i(\vec{k}_v - \vec{k}_c + \vec{q}) \cdot \vec{R}_i}$$

přes \vec{R}_i v krystalu

$$\delta(\vec{q} - \vec{k}_c + \vec{k}_v) \Rightarrow \vec{q} + \vec{k}_v = \vec{k}_c$$

dipolová aproximace: $\vec{q} = 0 \Rightarrow$ skoro vertikální přechod

$$u_{\vec{k}_v, \vec{k}_v + \vec{q}} = \overbrace{u_{\vec{k}_v}}^{\vec{q}} + \vec{q} \cdot \nabla_{\vec{k}} u_{\vec{k}_v} + \dots$$



②

$$\epsilon_2 = \frac{\pi}{\epsilon_0} \frac{e^2}{\omega^2} \frac{1}{m_0^2} \sum_{\mathbf{k}} |p_{cv}|^2 \delta(E_c(\mathbf{k}) - E_v(\mathbf{k}) - \hbar\omega)$$

ϵ_1 z k.k. relací

$$\epsilon_2 = \frac{\pi}{2\epsilon_0} \frac{e^2}{\omega} \cdot \frac{1}{m_0} f_{cv} \hbar \sum_{\mathbf{k}} \delta(E_c(\mathbf{k}) - E_v(\mathbf{k}) - \hbar\omega)$$

$$\epsilon_1 = 1 + \frac{e^2}{m_0} \frac{1}{\epsilon_0} \sum_{\mathbf{k}} \frac{2}{\hbar m_0} \frac{|p_{cv}|^2}{\omega_{cv}} \frac{1}{\omega_{cv}^2 - \omega^2}$$

$f_{cv}(\omega)$

$$|p_{cv}|^2 = \frac{1}{V_{cell}} \int d^3r' m_{\mathbf{k}c}^* (\mathbf{x} \cdot \mathbf{p}) m_{\mathbf{k}v}$$

$$f_{cv} = \frac{2}{\hbar m_0} \frac{|p_{cv}|^2}{\omega_{cv}}$$

Soubor klasických oscilátorů:

$$\epsilon_1(\omega) = 1 + \frac{e^2}{\epsilon_0 m} \left(\sum_i \frac{N_i}{\omega_i^2 - \omega^2} \right) \dots \text{Lorentzův model}$$

⇒ síla oscilátoru

$$f = \frac{2|p_{cv}|^2}{m \hbar \omega_{cv}}$$

aproximace ⇒ nezávisí na \mathbf{k}

$$\Rightarrow \epsilon_1 = 1 + \frac{e^2 f_{cv}}{m_0 \epsilon_0} \sum_{\mathbf{k}} \frac{1}{\omega_{cv}^2 - \omega^2}$$

↓
tran disperze
závisí na ω

Sdružená hustota stavů

- počet dovolených stavů pro danou vlastní hodnotu energie

- kvantový systém s diskrétním energetickým spektrem:

$$j(E) = \sum_n \delta(E - E_n)$$

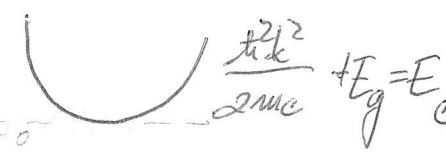
$$\Rightarrow \text{v našem případě: } j(\hbar\omega) = \sum_{\mathbf{k}} \delta(E_c(\mathbf{k}) - E_v(\mathbf{k}) - \hbar\omega)$$

③ $E_{tot} = E_c(\vec{p}) - E_v(\vec{p}) = E_g + \frac{\hbar^2 k^2}{2m}$

$E_c = \frac{\hbar^2 k^2}{2m_c}$
 $E_v = -E_g - \frac{\hbar^2 k^2}{2m_h} \rightarrow$ těžké díry
 $\downarrow \frac{1}{m} = \frac{1}{m_c} + \frac{1}{m_h} \Rightarrow$ redukovaná hmotnost

1D: $E_g + \frac{\hbar^2 k^2}{2m}$
 2D: $E_g + \frac{\hbar^2 (k_x^2 + k_y^2)}{2m}$
 3D: $E_g + \frac{\hbar^2 (k_x^2 + k_y^2 + k_z^2)}{2m}$

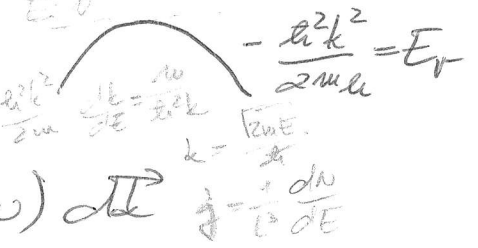
parabolické, symetrické pásy



$k = \frac{n\pi}{L} = \frac{2\pi}{\lambda}$
 $N = 2 \times \frac{L}{\lambda} = \frac{L}{\lambda} \cdot 2 = \frac{L}{\frac{2\pi}{k}} \cdot 2 = \frac{kL}{\pi} \cdot 2 = \frac{2kL}{\pi}$

dvaxispojité spektrum:

$j = \frac{V}{(2\pi)^3} \int \delta(E_c(\vec{k}) - E_v(\vec{k}) - \hbar\omega) d\vec{k}$
 (2π)³ has 3.2. dimenze
 $\frac{dN}{dE} = \frac{dN}{dk} \frac{dk}{dE}$
 $k = \frac{n\pi}{L}$



1D: $\frac{2}{2\pi} \int dk \delta(E_c(\vec{k}) - E_v(\vec{k}) - \hbar\omega)$

$E = \frac{\hbar^2 k^2}{2m}$
 $dE = \frac{\hbar^2 k dk}{m}$

2D: $\frac{2}{(2\pi)^2} \int dk \delta(E_c(\vec{k}) - E_v(\vec{k}) - \hbar\omega)$

$dk = \frac{dE m}{\hbar^2 k}$

3D: $\frac{2}{(2\pi)^3} \int 4\pi k^2 dk \delta(E_c(\vec{k}) - E_v(\vec{k}) - \hbar\omega)$

1D: $\frac{1}{\pi} \int \frac{dE m}{\hbar^2 k} \delta(E_c(\vec{k}) - E_v(\vec{k}) - \hbar\omega)$

2D: $\frac{1}{\pi} \int \frac{dE m}{\hbar^2} \delta$

3D: $\frac{1}{\pi^2} \int \frac{dE m}{\hbar^2} k \delta$

$E = E_g + \frac{\hbar^2 k^2}{2m} \Rightarrow k = \frac{\sqrt{2m(E - E_g)}}{\hbar}$

4

$$1D: \frac{1}{\pi} \frac{m}{\hbar^2} \int \frac{dE \delta(E - \hbar\omega) \hbar}{\sqrt{2m(E - E_g)}}$$

$$2D: \frac{1}{\pi} \frac{m}{\hbar^2} \int \frac{dE \delta(E - \hbar\omega) \hbar}{\sqrt{2m(E - E_g)}}$$

$$3D: \frac{1}{\pi^2} \frac{m}{\hbar^2} \int dE \frac{\sqrt{2m(E - E_g)}}{\hbar} \delta(E - \hbar\omega)$$

⇓

$$1D: j = \frac{m^{1/2}}{\hbar \pi} \frac{1}{\sqrt{2}} \cdot \frac{1}{\sqrt{\hbar\omega - E_g}}$$

$$2D: j = \frac{1}{\pi} \frac{m}{\hbar^2}$$

$$3D: j = \frac{1}{\pi^2} \frac{m^{3/2} \sqrt{2}}{\hbar^3} \sqrt{\hbar\omega - E_g}$$

$$j(\omega) \sim m^{D/2} (\hbar\omega - E_g)^{\frac{D-2}{2}}$$

3D:

$$j = \frac{2}{(2\pi)^3} \int_{\mathbb{R}^3} \delta(E_c(\vec{k}) - E_v(\vec{k}) - \hbar\omega) d^3k$$

$$\delta(E_c(\vec{k}) - E_v(\vec{k}) - \hbar\omega) = \delta(f(\vec{k}) - \hbar\omega)$$

$$\vec{k} = \vec{k}_0 \Rightarrow f(\vec{k}) = \hbar\omega$$

$$f(\vec{k}) = f(\vec{k}_0) + \frac{df}{d\vec{k}} (\vec{k} - \vec{k}_0) + \dots$$

$$\Rightarrow \delta(f(\vec{k}_0) + \nabla_{\vec{k}} f(\vec{k})|_{\vec{k}=\vec{k}_0} (\vec{k} - \vec{k}_0) - \hbar\omega) = \delta(\nabla_{\vec{k}} f(\vec{k})|_{\vec{k}=\vec{k}_0} (\vec{k} - \vec{k}_0))$$

$$= \delta(\nabla_{\vec{k}} f(\vec{k})|_{\vec{k}=\vec{k}_0} \Delta \vec{k})$$

$$j = \frac{2}{(2\pi)^3} \int \frac{ds}{|\nabla_{\vec{k}}(E_c - E_v)|_{E_c - E_v = \hbar\omega}}$$

more: $\int_{S^2} d\Omega$
 $d^3k = ds dk_m$
 $|\nabla_{\vec{k}} E| dk_m = dE$
 $|\nabla_{\vec{k}}(E_c - E_v)| dk_m = d(E_c - E_v)$
 $d^3k = ds dk_m = ds \left[\frac{d(E_c - E_v)}{|\nabla_{\vec{k}}(E_c - E_v)|} \right]$

$$j = \frac{2}{(2\pi)^3} \int_{\mathbb{R}^3} \frac{ds d(E_c - E_v) \delta(\dots)}{|\nabla_{\vec{k}}(E_c - E_v)|}$$

integrate over $d(E_c - E_v)$

⑤

$$\delta(E_c(\vec{k}) - E_v(\vec{k}) - \hbar\omega) = \delta(\nabla_{\vec{k}}(E_c(\vec{k}) - E_v(\vec{k})) \cdot \Delta\vec{k}_{\perp})$$

$\hbar\omega = E_c - E_v$

$$j = \frac{2}{(2\pi)^3} \int \frac{\delta(\Delta\vec{k}_{\perp})}{|\nabla_{\vec{k}}(E_c - E_v)|_{\hbar\omega = E_c - E_v}} d^3k = \frac{2}{(2\pi)^3} \int \frac{\delta(\Delta k_{\perp}) dS dk_{\perp}}{|\nabla_{\vec{k}}(E_c - E_v)|_{\hbar\omega = E_c - E_v}}$$

$$j = \frac{2}{(2\pi)^3} \int \frac{dS}{|\nabla_{\vec{k}} E_{cv}|}$$

S... energetický porok
kde $E_{cv}(\vec{k}) = \text{konst.}$

$\nabla_{\vec{k}} E_{cv} = 0 \Rightarrow$ kritické body n. z.

$\nabla_{\vec{k}} E_c(\vec{k}) = \nabla_{\vec{k}} E_v(\vec{k}) \Rightarrow$ největší příspěvek
 \Rightarrow tam kde pásy běží rovnoběžně

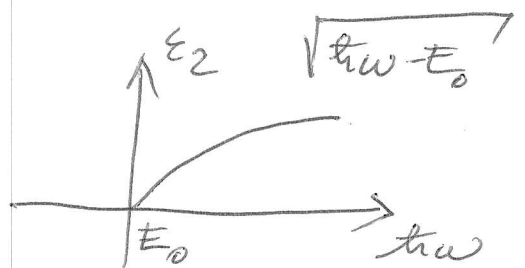
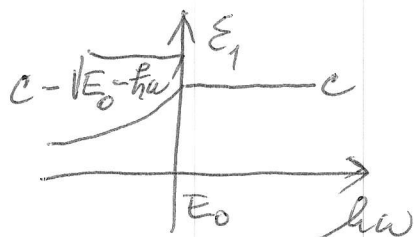
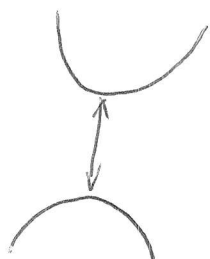
4 typy kritických bodů: M_0, \dots, M_3
- ve 3D

3 typy ve 2D a 2 typy ve 1D

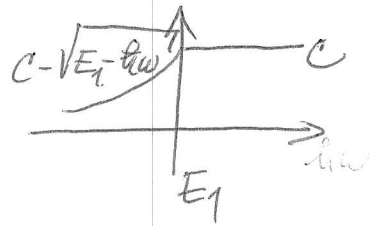
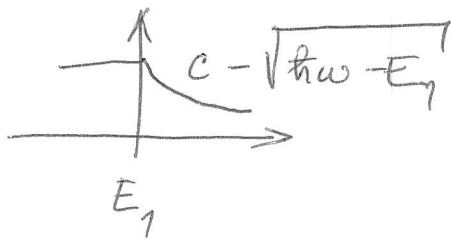
3D:

$$E_c(\vec{k}) - E_v(\vec{k}) = E_0 + \sum_{i=1}^3 \frac{\hbar^2}{2m_i} (k_i - k_{0i})^2$$

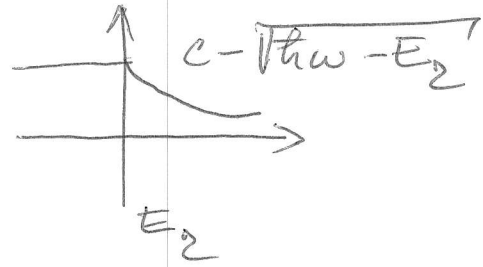
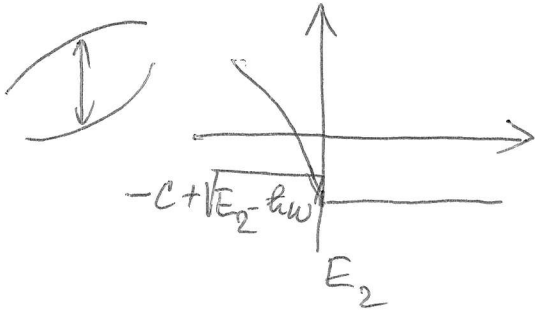
1) $M_0 \dots \hbar m_i^+ > 0 \dots$ lokální minimum pásu



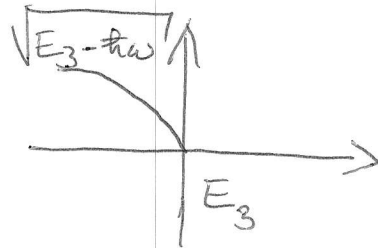
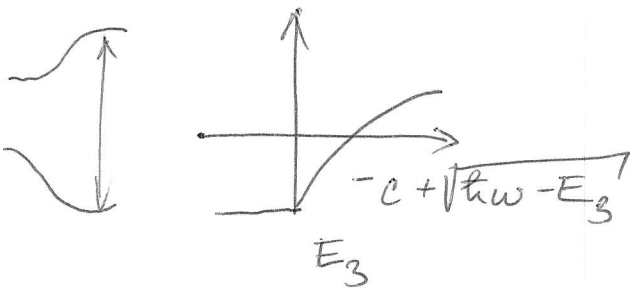
⑥ 2) $M_1 \dots 1 \times m_i < 0 \dots$ saddle point
 saddle point
 saddle point



3) $M_2 \dots 2 \times m_i < 0 \dots$ saddle point

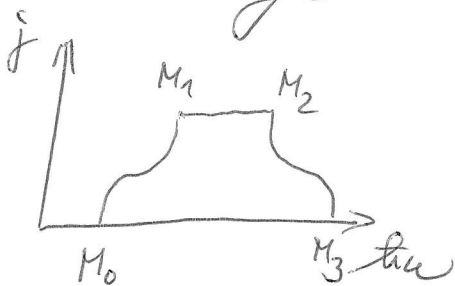


4) $M_3 \dots \neq m_i < 0 \dots$ lok. maximum



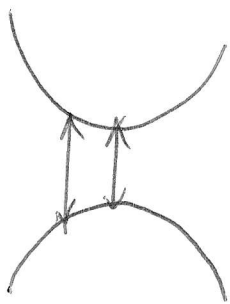
Van Hoveovy singularita

Van Hoveovy teorem: Každý absorpční pás má alespoň jednu singularitu každého z uvedených typů



obr. 1 a 2

⑦ Prima' absorbeni' hranav:

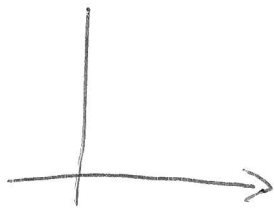


dipolove' povolene' prechody

GaAs, CdTe, PbS, InSb, GaN

vsechny Γ - Γ

$$E_{cv} = E_g + \frac{\hbar k^2}{2m_n} ; \frac{1}{m_n} = \frac{1}{m_e} + \frac{1}{m_{e(n)}} \rightarrow \text{valence}$$



$$j = \begin{cases} \frac{\sqrt{2} m_n^{3/2}}{\hbar^2 \hbar^3} \sqrt{\hbar \omega - E_g} & \text{pro } \hbar \omega > E_g \\ 0 & \text{pro } \hbar \omega < E_g \end{cases}$$

\Rightarrow dosazeni' do rovnice pro ϵ_2 : ~~$\epsilon_2 = \frac{1}{\epsilon_0} \frac{e^2}{\omega^2} \sum_{\mathbf{k}} |P_{cv}|^2 \delta(E_c(\mathbf{k}) - E_v(\mathbf{k}) - \hbar \omega)$~~

~~$\epsilon_2 = \frac{1}{\epsilon_0} \frac{e^2}{\omega^2} \frac{1}{m_0^2} \sum_{\mathbf{k}} |P_{cv}|^2 \delta(E_c(\mathbf{k}) - E_v(\mathbf{k}) - \hbar \omega)$~~

$$\epsilon_2 = \frac{1}{\epsilon_0} \frac{e^2}{\omega^2} \frac{1}{m_0^2} |P_{cv}|^2 \cdot \frac{\sqrt{2} m_n^{3/2}}{\hbar^2 \hbar^3} \sqrt{\hbar \omega - E_g}$$

zavedeme $x = \frac{\hbar \omega}{E_g}$

$$\epsilon_2 = \frac{1}{\epsilon_0} \frac{(2m_n)^{3/2} e^2}{2\pi m_0^2 \hbar} \frac{1}{\omega^2 \hbar^2} \cdot \frac{1}{E_g} \sqrt{x-1}$$

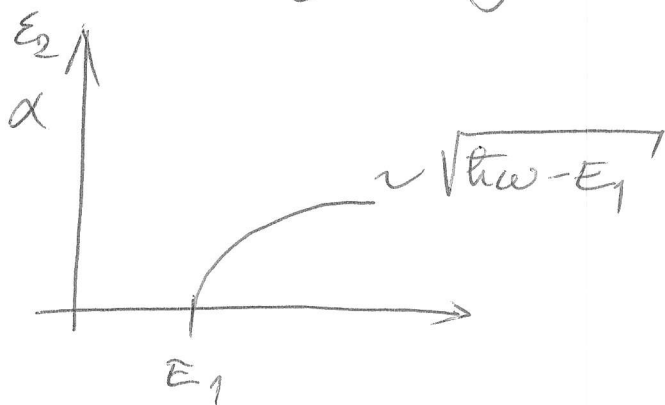
$\underbrace{\frac{1}{\omega^2 \hbar^2}}_{x^{-2} E_g^{-2}}$

$$\Rightarrow \epsilon_2 = \begin{cases} A x^{-2} (x-1)^{1/2} & \text{pro } x > 1 \\ 0 & \text{pro } x < 1 \end{cases}$$

$$A = \frac{1}{\epsilon_0} \frac{(2m_n)^{3/2} e^2}{2\pi m_0^2 \hbar} |P_{cv}|^2 E_g^{-3/2}$$

$\Rightarrow (\epsilon_2)^2$ jako fce $\hbar \omega$ pri'inka \approx blizkosti
 $x=1 \Rightarrow$ urceni' E_g a m_n nebo $|P_{cv}|^2 \Rightarrow$ obr. 3

⊕ nábeh absorpce polovodiče s přímým gapem



začátek absorpce v důsledku mezivásoých přechodů \Rightarrow absorpční hrana

\Rightarrow většinou mezi nejvyšším valenčním pásem a nejvyšším valenčním

- diamantová a zine-blauk struktura

\Rightarrow většinou ve směru $\Gamma_4 - \Gamma_1c$

$\Rightarrow E_0$ přechod. Pokud spin-orbitální vazba $(In, As, Sb) \Rightarrow E_0 + \Delta_0$

- nad hranou E_2 roste asymetricky ($\langle 111 \rangle$ směr) E_1 přechod (pokud spin-orbit. \Rightarrow 2 pily) $\rightarrow M_1$ kritický bod

- maximum $E_2 \Rightarrow E_2$ pily (přes velkou část $\Gamma_4 - \Gamma_1c$ podél $\langle 100 \rangle$ a $\langle 110 \rangle$) \Rightarrow některé přechody M_2 kritický bod

- z valenčního pásu do vyšších valenčních $\Rightarrow E_0'$ a E_1' obr 4, 5, 6, 7

⑨ obr 7. ⇒ tabulka

Si má $E_g = 4,15$ jakto za není transpa-
rentní? ⇒ nepřímý gap ⇒ nepřímé přechody
Ga- obdobně

Zakázaná přímá absorpce

- dipolový přechod je zakázaný výběrovým pravidlem
- například Cu_2O, TiO_2, GaO_2
- Cu_2O ⇒ centrosymetrický krystal ⇒ zakázaný přechod
v důsledku parity ⇒ $1P_{ev}$ nulové v M_1
- $1P_{ev}$ má nulovou složku závislou na k

$$|P_{ev}|^2 = \frac{1}{V_{kell}} \int d^3r' \psi_{\vec{k}}^* (\vec{r}') \psi_{\vec{k}'} (\vec{r}')$$

pro k_0 $|P_{ev}(k_0)|^2 = 0$

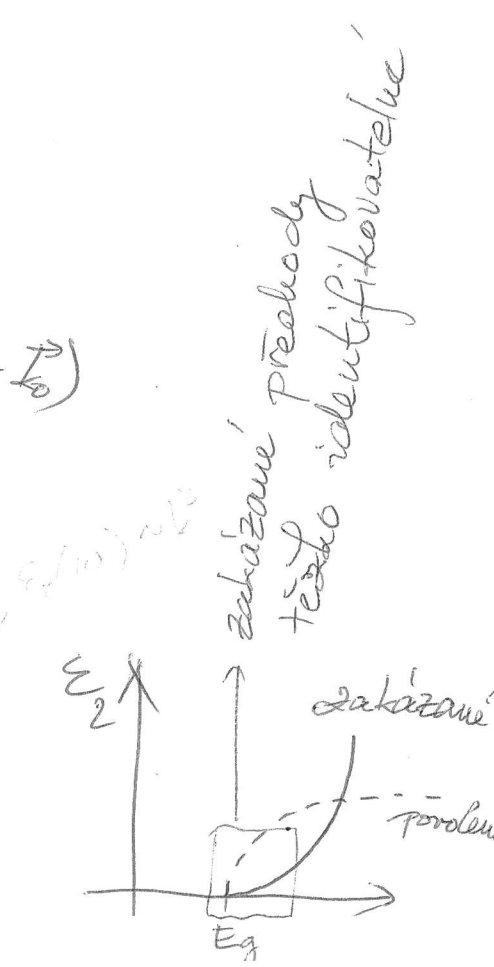
rozvoj: $\vec{P}_{ev}(k) = \vec{P}_{ev}(k_0) + \nabla_k \vec{P}_{ev}(k) (k - k_0)$

⇒ $|P_{ev}|^2 \sim k^2 \sim (E - E_g)$

Sdružená hustota stavů $\sim k$

⇒ $j \sim (E - E_g)^{3/2}$

$$E_2(\omega) \sim \begin{cases} (E - E_g)^{3/2} & \text{pro } E > E_g \\ 0 & \text{pro } E < E_g \end{cases}$$



1D

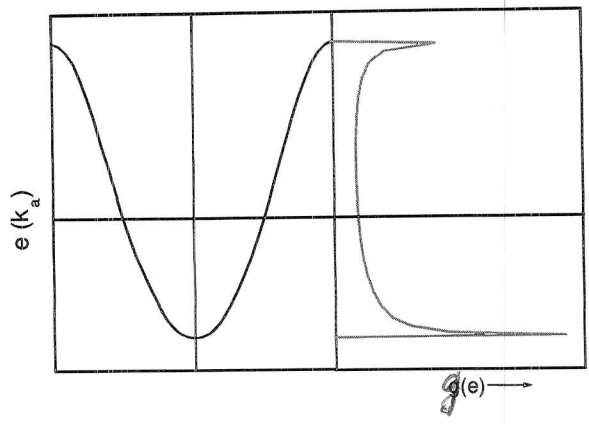


Figure 1: Pásová struktura $\epsilon(k)$ a hustota stavů $g(\epsilon)$ pro lineární řetězec s -orbitalů

3D

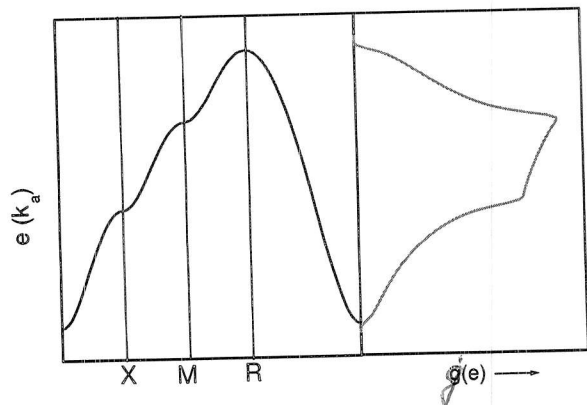


Figure 3: Pásová struktura $\epsilon(k)$ a hustota stavů $g(\epsilon)$ pro primitivní kubickou mříž s - $p_{x,y,z}$

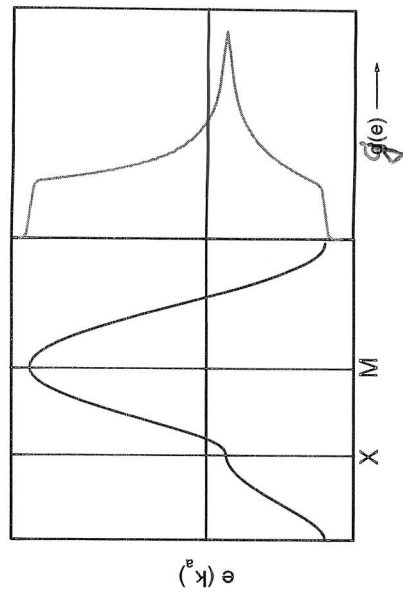


Figure 2: Pásová struktura $\epsilon(k)$ a hustota stavů $g(\epsilon)$ pro tetragonální mříž $\text{Cu}(3d_{x^2-y^2})\text{-O}(2p_{x,y})$

2D

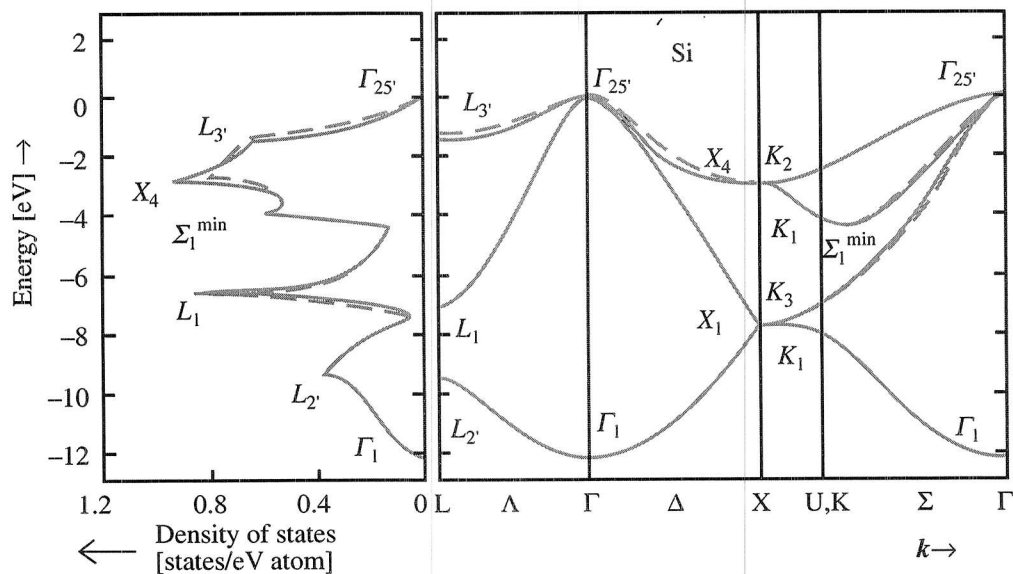


Fig. 2.24. The valence band structure and density of states (see Sect. 4.3.1 for definition) of Si calculated by the tight-binding method (broken curves) and by the empirical pseudopotential method (solid lines) [2.25]

obr 4.

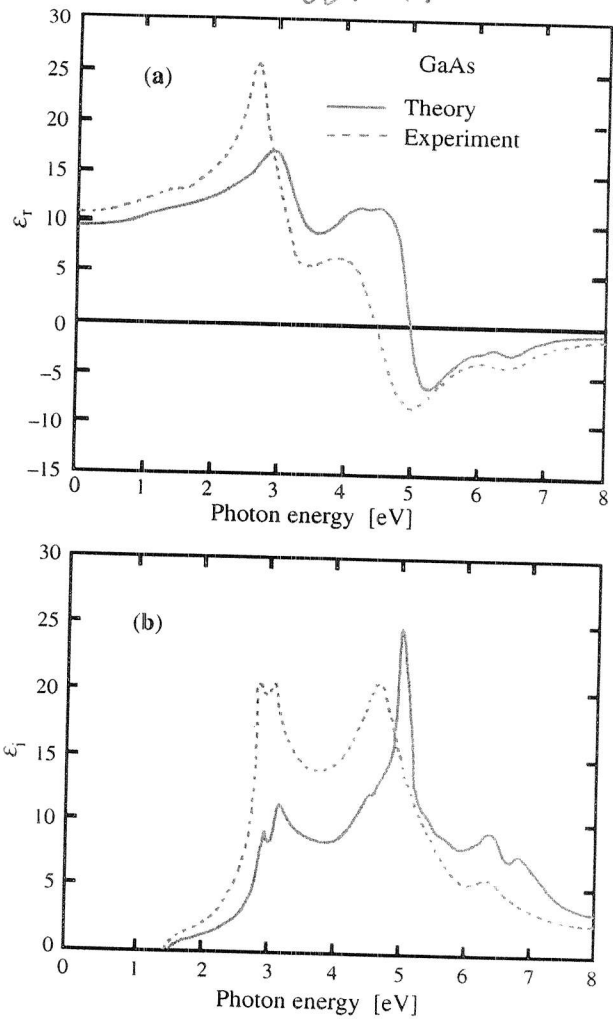


Fig. 6.11a,b. Results for GaAs similar to those presented in Fig. 6.10 for Si (the theoretical results do not include local field corrections) [2.8] p. 105

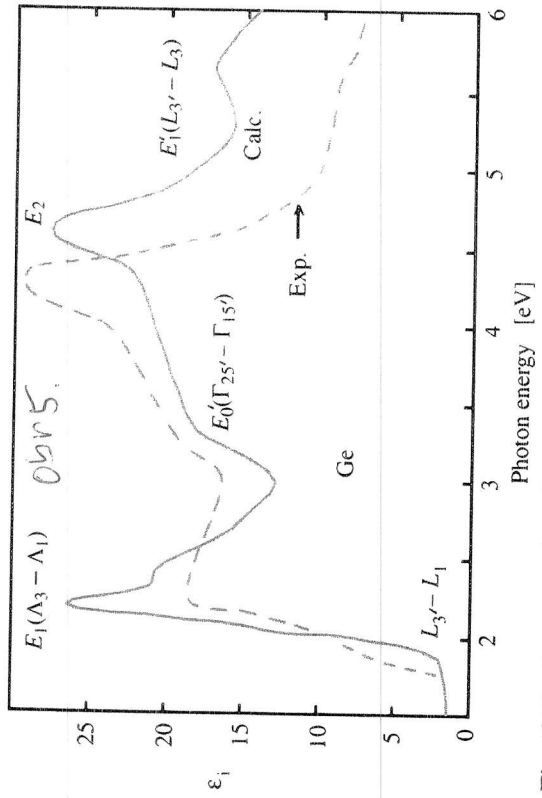


Fig. 6.12. A comparison between the experimental and calculated imaginary part of the dielectric function in Ge. The theoretical curve was calculated from a band structure obtained by the $k \cdot p$ method without spin-orbit interaction [6.25]

Fig. 6.13. The band structure of Ge showing the various direct transitions responsible for the structures in the imaginary part of the dielectric function shown in Fig. 6.12. The transitions giving rise to the various structures in the dielectric function are identified

obr. 6

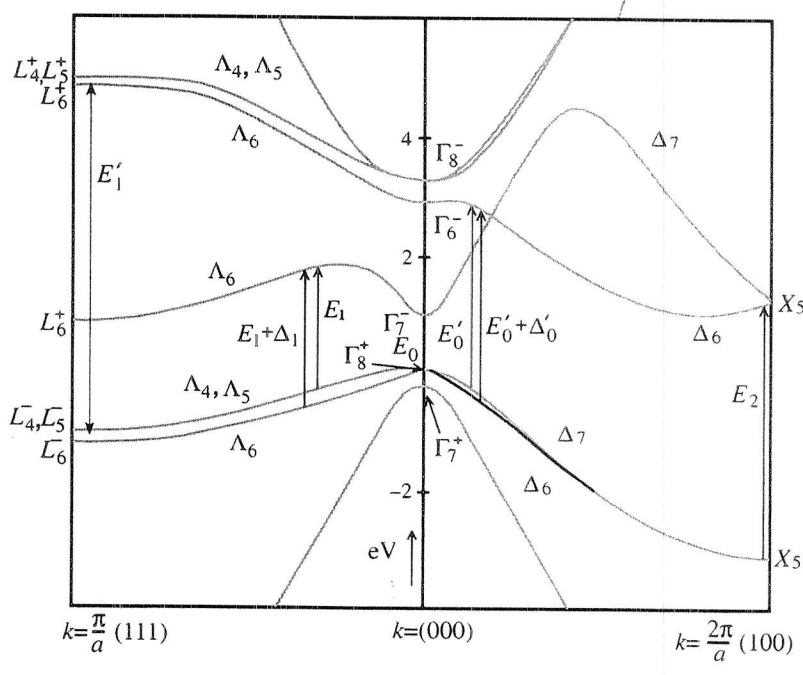


Table 6.3. The measured energies [eV] of the prominent structures in the optical spectra of some diamond and zinc-blende-type semiconductors. All energies are low temperature values except that of the E_0 transition in Si, which was measured at room temperature. Compiled from data listed in [6.27], [6.28] and [6.29].

Transition	Si	Ge	GaAs	InP	GaP	GaN
E_0	4.185	0.898	1.5192	1.4236	2.869	3.302 ^a
$E_0 + \Delta_0$	4.229	1.184	1.859	1.532	2.949	3.319 ^a
E_1	3.45	2.222	3.017	3.287	3.780	7.03
$E_1 + \Delta_1$	—	2.41	3.245	3.423	3.835	—
E_0'	3.378	3.206	4.488	4.70	4.72	—
$E_0' + \Delta_0'$	—	3.39	4.659	5.17	4.88	—
E_2	4.330	4.49	5.110	5.05	5.22	7.63
E_1'	5.50	5.65	6.63	—	6.8	—

^a Grown on MgO.

obr 7.

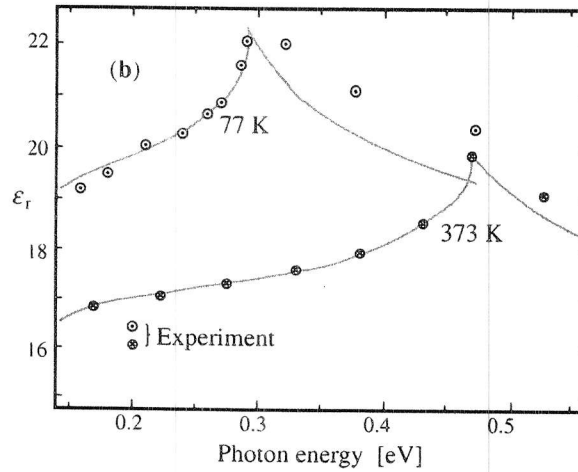
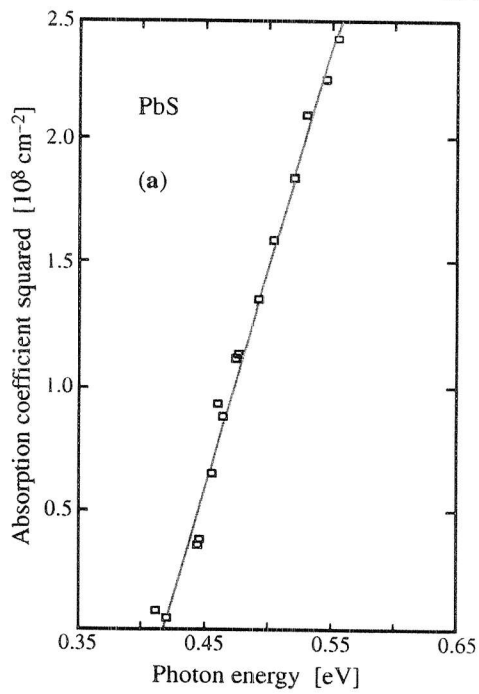


Fig. 6.14. (a) Plot of the square of the absorption coefficient of PbS as a function of photon energy showing the linear behavior discussed in the text. The intercept with the x -axis defines the direct energy gap. Reproduced from [6.30]. (b) Fits (*curves*) to the experimental values of the real part of the dielectric function of PbS (*data points*) measured at 77 and 373 K with the expression in (6.59). Reproduced from [6.144].

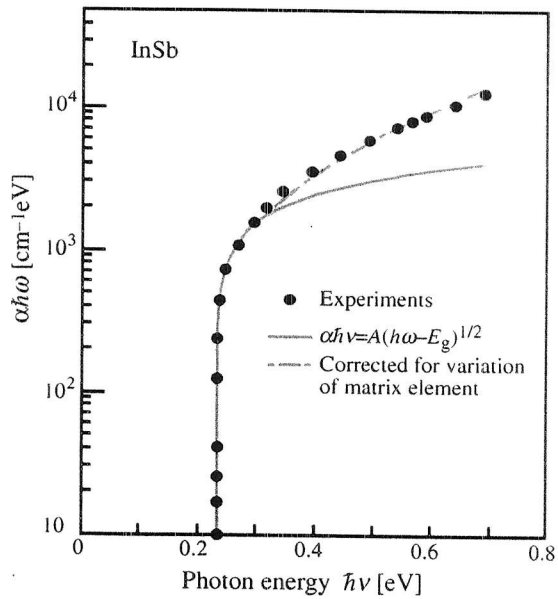


Fig. 6.15. Semilogarithmic plot of the absorption coefficient of InSb at 5 K as a function of photon energy. The *filled circles* represent experimental results from [6.31]. The *curves* have been calculated using various models. The intercept with the x -axis gives the direct bandgap of InSb [6.32]

1D

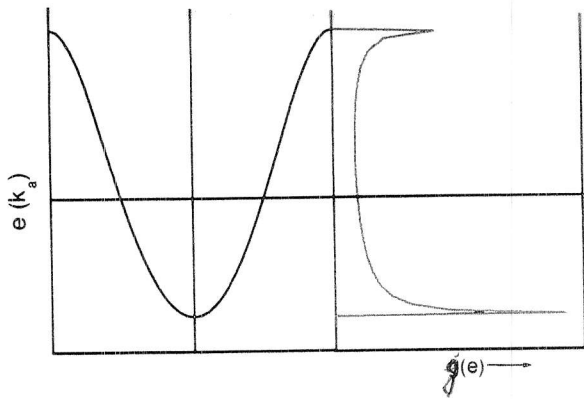


Figure 1: Pásová struktura $\epsilon(k)$ a hustota stavů $g(\epsilon)$ pro lineární řetězec s-orbitalů

3D

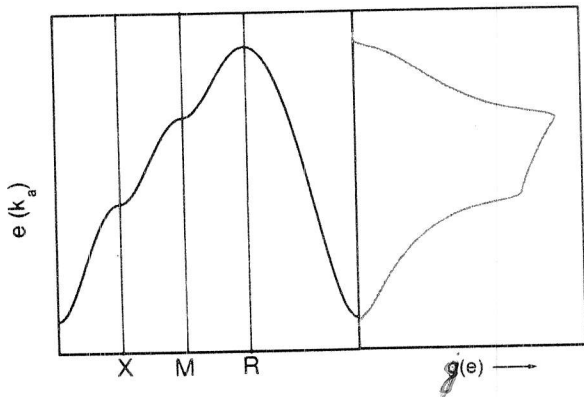


Figure 3: Pásová struktura $\epsilon(k)$ a hustota stavů $g(\epsilon)$ pro primitivní kubickou mříž s- $p_{x,y,z}$

Obr 1.

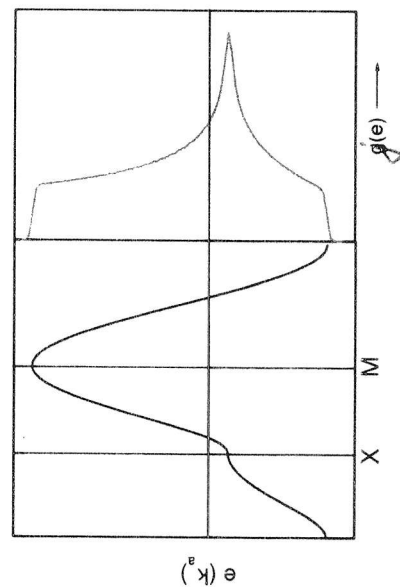


Figure 2: Pásová struktura $\epsilon(k)$ a hustota stavů $g(\epsilon)$ pro tetragonální mříž $\text{Cu}(3d_{x^2-y^2})-\text{O}(2p_{x,y})/2$

2D

Obr 2.

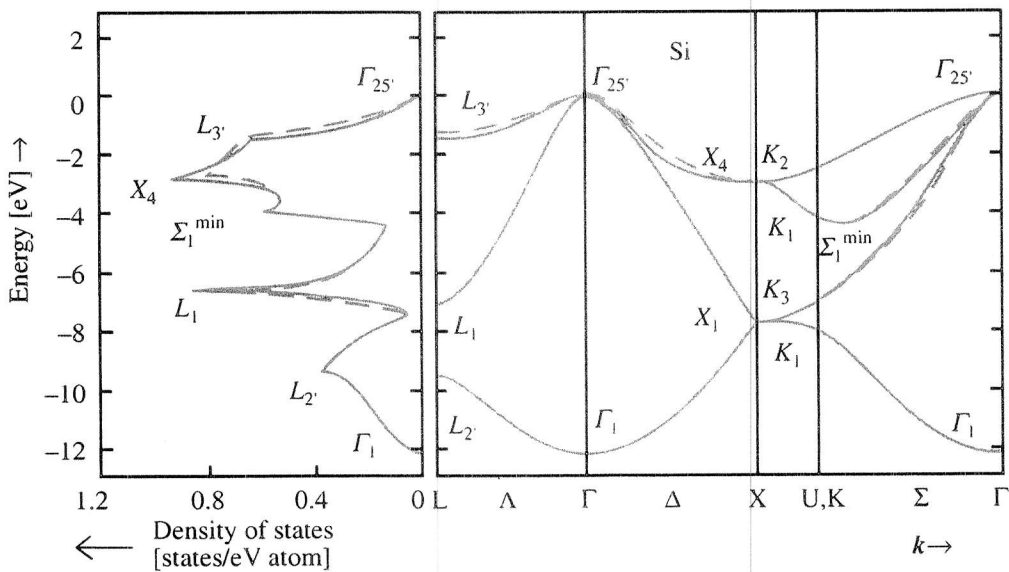


Fig. 2.24. The valence band structure and density of states (see Sect. 4.3.1 for definition) of Si calculated by the tight-binding method (broken curves) and by the empirical pseudopotential method (solid lines) [2.25]

Appendix A1 The Joint Density of States

In order to obtain the frequency dependence for the joint density of states $\rho(\omega)$ (Equation (4.32)), we assume the parabolic band structure given in Figure 4.8(a). For simplicity, we suppose that the bottom of the conduction band ($E_f = E_g$) and the top of the valence band ($E_i = 0$) are both at $\vec{k} = 0$, as shown in Figure A1.1. Then, the E - k relationships are given by:

$$E_f = E_g + \frac{\hbar^2 k^2}{2m_e^*} \quad (\text{A1.1})$$

$$E_i = -\frac{\hbar^2 k^2}{2m_h^*} \quad (\text{A1.2})$$

where m_e^* and m_h^* are the effective masses of the electron and hole, respectively. These formulas indicate iso-energetic surfaces in k -space, as the energy does not depend on the direction of \vec{k} ($E = E(|\vec{k}|)$).

Let us suppose an incident photon of energy $\hbar\omega$. The number of energy states in the frequency range $\omega \rightarrow \omega + d\omega$ (see Figure A1.1) is given by $\rho(\omega)d\omega$. This number of energy states can also be expressed as a function of the density of states in k -space, so that we can write

$$\rho(\omega)d\omega = \rho_k \Delta k \quad (\text{A1.3})$$

where ρ_k is the number of states per unit k -volume and $\Delta k = 4\pi k_1^2 dk$ is the incremental volume between two spheres of radius k_1 and k_2 ($dk = k_2 - k_1$). Taking into account expressions (A1.1) and (A1.2) and Figure A1.1, these two k values can easily

as $(dk)^2$ is a very small quantity in comparison to the other terms. Now, combining expressions (A1.8) and (A1.9), we can obtain $(2\mu/\hbar) d\omega \cong 2k_1 dk$, or

$$dk \cong \frac{\mu}{\hbar k_1} d\omega \quad (\text{A1.10})$$

and, consequently,

$$\Delta k \cong \frac{4\pi k_1^2 \mu}{\hbar k_1} d\omega = \frac{4\pi k_1 \mu}{\hbar} d\omega \quad (\text{A1.11})$$

Let us now determine ρ_k . This value is given by

$$\rho_k = 2 \times \frac{1}{8\pi^3} = \frac{1}{4\pi^3} \quad (\text{A1.12})$$

where the factor of 2 is due to the fact that there are two electron spin states for each allowed k -state and the factor $1/8\pi^3$ is the density of states in k -space.¹

Now, inserting Equations (A1.11) and (A1.12) in expression (A1.3) and using (A1.6), we obtain

$$\rho(\omega) d\omega = \frac{1}{4\pi^3} \times \frac{4\pi \mu}{\hbar} \left[\frac{2\mu(\omega - \omega_g)}{\hbar} \right]^{1/2} d\omega \quad (\text{A1.13})$$

and, after simplifying,

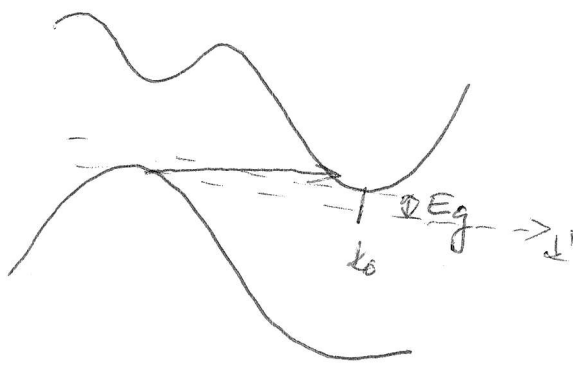
$$\rho(\omega) = \frac{1}{2\pi^2} \left(\frac{2\mu}{\hbar} \right)^{3/2} (\omega - \omega_g)^{1/2} \quad (\text{A1.14})$$

which is just the expression for the joint density of states given by Equation (4.32).

¹ $\mathbf{k} = (2\pi/L)(n_x, n_y, n_z)$, where (n_x, n_y, n_z) are integers and L is a macroscopic length. Thus, it can be seen that each allowed \mathbf{k} state occupies a k -space volume of $(2\pi/L)^3$, so that the number of states in a unit volume of k -space is $(L/2\pi)^3$. Consequently, a unit volume of material will have $(1/2\pi)^3 = 1/8\pi^3$ states per unit volume of k -space.

① Fyzika polovodičů pro optoelektroniku II

- Maximální absorpce - nepřímé přechody
- minimum vodivostního pásu není proti maximu valenčního pásu



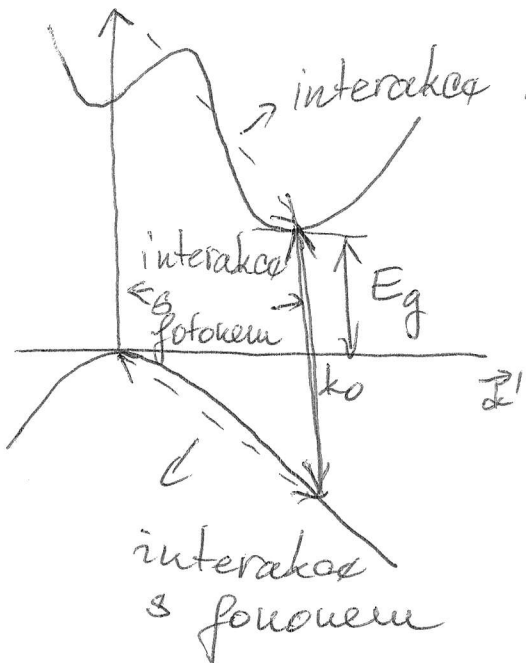
příklady polovodičů s nepřímým pásem: Si, Ge, AlAs, GaP

obr 1.

- musí dojít k interakci s fononem
- rozdíl ve dvoujeh vektorech elektronů ve valenčním a vodivostním páseu je kompenzován fononem
- ⇒ výpočet pravděpodobnosti přechodu pomocí poruchové teorie druhého řádu (fotony i fonony)
- ⇒ přechod mezi základním a konečným stavem přes virtuální mezipřev $|i\rangle, |i'\rangle$
- interakce s fotonem → změna $\vec{k}, j, \nu \pm E$
- interakce s fononem → změna ν, E, \vec{k}
- doba života virtuálního stavu je velmi krátká ($T \sim 10^{-15}$) ⇒ Heisenbergovi relace neurčitosti $\Delta t \Delta E \geq \frac{\hbar}{2}$ ⇒ krátký čas znamená $E \gg E_F \ll E$ a vyrazí elektron i do $E > E_F$

$E_F \ll E$
↳ blízko
konst.
pro 4 fonony

- ② - interakce s fotonem musí být rychlá, jinak ~~zase~~ spadne dolů
- celková energie v procesu musí být zachována



Zákony zachování pro celý proces:

$$\hbar\omega = E_g \pm E_p$$

$$\hbar\vec{q}_p = \hbar(\vec{k} - \vec{k}_0)$$

$\hbar\omega = E_g \pm E_p$
 $\hbar\vec{q}_p = \hbar(\vec{k} - \vec{k}_0)$

konstantní v okolí neprovedeno

$$P = \frac{2\pi}{\hbar} \sum_{\vec{k}'} \sum_i \frac{|\langle i | H_{ep} | i \rangle \langle i | H_{ep} | b \rangle|^2}{E_0 - \hbar\omega} \times \delta(E_c(\vec{k}) - E_v(\vec{k}') - \hbar\omega \pm E_p)$$

Pravděpodobnost přechodu

$$P \sim \int \int \delta(E_c(\vec{k}) - E_v(\vec{k}') \pm E_p - \hbar\omega) d^3k d^3k'$$

$$E_c(\vec{k}) = \frac{\hbar^2}{2m_c} k^2 \sim k^2$$

$$E_v(\vec{k}') = -E_g - E'(\vec{k}')$$

$$E'(\vec{k}') = \frac{\hbar^2}{2m_v} k'^2$$

$$d^3k \Rightarrow dS dk_z$$

dS... plocha konst. energie

$$dE_c = \frac{\hbar^2}{m_c} k dk \sim k dk$$

$$\int dS \sim k^2$$

$$d^3k \sim k^2 dk = k k dk \sim \sqrt{E_c} dE_c$$

$$d^3k' \rightarrow dS' dk' \sim k'^2 dk' = k' k' dk' \sim \sqrt{E'(k')} dk'$$

$$\textcircled{3} \int \delta(E_c(\mathbf{k}) + E_g + \varepsilon'(\mathbf{k}') - (\hbar\omega \pm E_p)) \sqrt{\varepsilon'(\mathbf{k}')} d\varepsilon' \sqrt{E_c} dE_c =$$

$$= \int \sqrt{E_c(\mathbf{k}) \varepsilon'(\mathbf{k}')} \delta(E_c(\mathbf{k}) + \varepsilon'(\mathbf{k}') + E_g - (\hbar\omega \pm E_p)) d\varepsilon' dE_c = *$$

$$\int f(x) \delta(x - x_0) dx = f(x_0)$$

$$* = \int_0^{\hbar} \sqrt{E_c(\mathbf{k}) (\hbar\omega \pm E_p - E_c - E_g)} dE_c \quad \left[E_c(\mathbf{k}) \geq 0 \right]$$

↳ minima v minima E_c

$$\hbar\omega \pm E_p - E_c - E_g \geq 0$$

$$E_c(\mathbf{k}) \leq \hbar\omega \pm E_p - E_g = \hbar$$

integral' typu:

$$\int_0^{\hbar} \sqrt{\varepsilon(\hbar - \varepsilon)} d\varepsilon = \frac{\hbar^2}{\hbar} \cdot \frac{\pi}{2}$$

$\Rightarrow j \sim \left(\hbar\omega \pm E_p \mp E_g \right)^2$ pro $\hbar\omega \geq E_g \mp E_p$
~~0~~ jinak 0

+ \Rightarrow absorpce fononů \sim

- \Rightarrow emise fononů

\Rightarrow dvě absorpční hraný $E_g + E_p$ a $E_g - E_p$

1) $E_g + E_p$... absorpce fononů \rightarrow musí být nižší než teplota
 maticový element úměrný N_p ... pozorovací
 číslo fononů \Rightarrow Bose-Einstein $N_p = \frac{1}{e^{\frac{\hbar\omega_p - 1}{kT}}}$

$$\textcircled{4} \quad \alpha \sim |c| \left(\frac{2m_v}{\hbar^2} \cdot \frac{2m_c}{\hbar^2} \right)^{3/2} N_p (\hbar\omega - E_g + E_p)^2$$

↳ $E_g - E_p \dots$ emise fononů

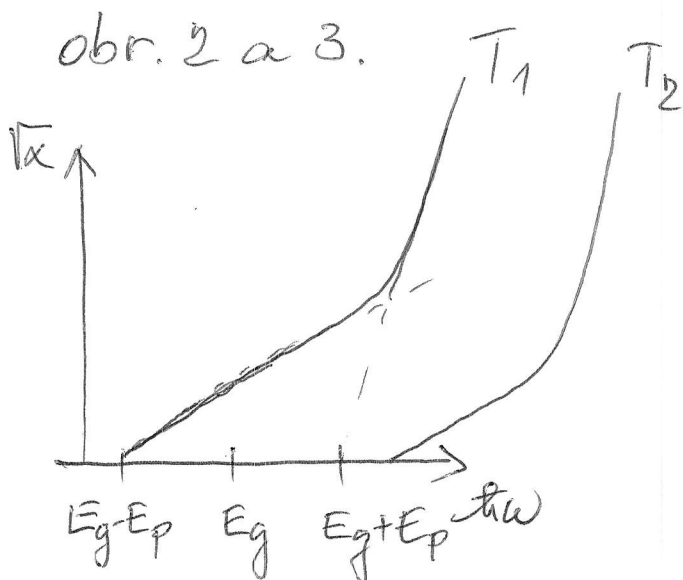
$$N_p + 1 = \frac{1}{1 - e^{-\frac{\hbar\omega_p}{kT}}}$$

$$\alpha_{\text{emis.}} \sim |c| \left(\frac{2m_v}{\hbar^2} \cdot \frac{2m_c}{\hbar^2} \right)^{3/2} (N_p + 1) (\hbar\omega - E_g - E_p)^2$$

Maticový element: \rightarrow potenciál fononů

$$|c| = \left| \frac{\langle \psi_{ck_2}^f | V_p(\vec{q}, \vec{r}) | \psi_{\beta k_1}^i \rangle \langle \psi_{\beta k_1}^i | \vec{z}_p | \psi_{\alpha k_1}^i \rangle}{E_{\beta}(k_1) - E_{\alpha}(k_1) - \hbar\omega} \right|^2$$

$$\alpha \approx \underbrace{\frac{|c|(\hbar\omega - E_g + E_p)^2}{e^{\frac{E_p}{kT}} - 1}}_{\text{absorpce fononů}} + \underbrace{\frac{|c|(\hbar\omega - E_g - E_p)^2}{1 - e^{-\frac{E_p}{kT}}}}_{\text{emise fononů}}$$

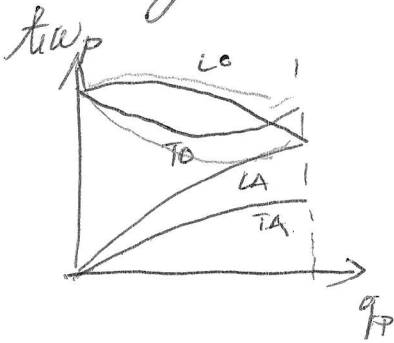


\Rightarrow možnost stavorem' E_g a E_p

$\alpha \sim \text{locu?} \dots$ mák' absorpce
 \Rightarrow vidíme jen pokus
 nejsoa přechody přímými
 přechody

5) Fonony - polaritony a mřížková dielektrika

- optické a akustické fonony
- v krystalcích s více atomy v primitivní buňce



EM vlna: $\vec{E}(\vec{r}, t) = \vec{E}_0 e^{i(\vec{k}\vec{r} - \omega t)}$

Soubor klasických oscilátorů: $M \dots$ hmotnost $Q \dots$ náboj

izotropní, rovnoměrně rozloženy v krystalu (šachovnicová mřížka)

$$M \frac{d^2 \vec{u}}{dt^2} = -M\omega_T^2 \vec{u} + Q\vec{E}$$

Řešení: $\vec{u} = \vec{u}_0 e^{i(\vec{k}\vec{r} - \omega t)}$ dosadíme

$\vec{u}_0 = \frac{QE_0}{M(\omega_T^2 - \omega^2)} \Rightarrow$ každá uchybení \Rightarrow makroskopická polarizace $\vec{P} = NQ\vec{u}$ \rightarrow hustota oscilátorů

$$\vec{D} = \epsilon_0 \vec{E} + \vec{P} = \epsilon_0 \epsilon \vec{E}$$

dosadíme $\Rightarrow \epsilon = 1 + \frac{NQ^2}{\epsilon_0 M(\omega_T^2 - \omega^2)}$

více rezonančních frekvencí popis anomální disperze v plynech

$$\Rightarrow \epsilon^2 = 1 + \sum_i \frac{N_i Q_i^2}{\epsilon_0 M(\omega_T^2 - \omega^2)} \Rightarrow \text{Sellmeier}$$

vliv valenčních elektronů $\epsilon_c(\omega)$ elektron $\epsilon_c \rightarrow$ mřížka $E_g \gg \hbar\omega$

- $E_g \gg \hbar\omega \Rightarrow \epsilon_c(\omega) = \epsilon_c(0) = \epsilon_0 \dots$ statický případ

⑥ Pokud $\omega \gg \omega_T$ oscilátory "nestřihají"

pole $\Rightarrow \epsilon_L \rightarrow 1$
lattice



proto $\frac{E_g}{\hbar} \gg \omega \gg \omega_T \Rightarrow \epsilon \approx \epsilon_L(0)$

normální $\epsilon_L(0)$ píšeme jako ϵ_∞ uad mbezení w pod excitací w

$\Rightarrow \epsilon = \epsilon_L + \epsilon_L = \epsilon_\infty + \frac{NQ^2}{\epsilon_0 M (\omega_T^2 - \omega^2)}$; $\omega \ll \frac{E_g}{\hbar}$ (*)

Plati: $\nabla \cdot \vec{D} = 0$ no charges in the medium

$\epsilon(\vec{k} \cdot \vec{E}_0) = 0$

Dva případy: 1) $\vec{k} \cdot \vec{E}_0 = 0 \Rightarrow$ Transverzální pole
 $\vec{E}_0 \perp \vec{k}$

ϵ popsáno (*)
 $\omega_T \dots$ transverzální rezonanční frekvence

2) $\vec{k} \cdot \vec{E}_0 \neq 0$ $\vec{E}_0 \parallel \vec{k}$ a $\epsilon = 0 \dots$ Longitudinální pole
 $\epsilon = 0$ při $\omega_L \Rightarrow \epsilon(\omega_L) = 0$

$\Rightarrow \omega_L$ (*)

$\omega_L^2 = \omega_T^2 + \frac{NQ^2}{\epsilon_0 \epsilon_\infty M}$

$\vec{D} = \epsilon \vec{E} \Rightarrow \vec{E} = \frac{1}{\epsilon} \vec{D}$ pro $\epsilon = 0$ \vec{E} nemusí být 0 pro $\vec{D} = 0$

④ $\vec{D} = \epsilon_0 \vec{E} + \vec{P} = \epsilon_0 \epsilon E$

$\epsilon_0 \epsilon_0 \vec{E}_L = -\vec{P}$

$E_L = -\frac{\vec{P}}{\epsilon_0 \epsilon_0} = -\frac{NQ\vec{u}}{\epsilon_0 \epsilon_0}$

\vec{E}_L ... longitudinální pole

⇒ žádný vnější náboj není nutný (generátor)
pole pokud soubor oscilátorů kmitá na ω_L
- pole má opačný směr než \vec{P} ⇒ přispívá
ke kmitání ⇒ $\omega_L > \omega_T$

⇒ mikroskopicky: LO fonony ⇒ indukují dipol. momenty
⇒ polarizaci ⇒ ϵ_L
 $\epsilon_0 = \epsilon(0)$... nízkofrekvenční permittivita

⇒ $\epsilon(\omega) = \epsilon_\infty \left(1 + \frac{\omega_L^2 - \omega_T^2}{\omega_T^2 - \omega^2} \right)$ mikroskop. vlnění
 Q, M ⇒ měří se u ω_T
 ω_T, ω_L dají se měřit

$$\epsilon(\omega) = \epsilon_\infty + \frac{\epsilon_0 - \epsilon_\infty}{1 - (\omega^2/\omega_T^2)}$$

⇓

$$\frac{\epsilon_0}{\epsilon_\infty} = \frac{\omega_L^2}{\omega_T^2}$$
 Lyddane-Sachs-Teller

$$\underline{\kappa} = \frac{\omega}{c} \cdot n \Rightarrow \underline{\kappa}^2 = \frac{\omega^2}{c^2} \cdot \epsilon$$

$$\underline{\kappa}^2 = \frac{\omega^2}{c^2} \left(\epsilon_\infty + \frac{\epsilon_0 - \epsilon_\infty}{1 - (\omega^2/\omega_T^2)} \right)$$

•
•

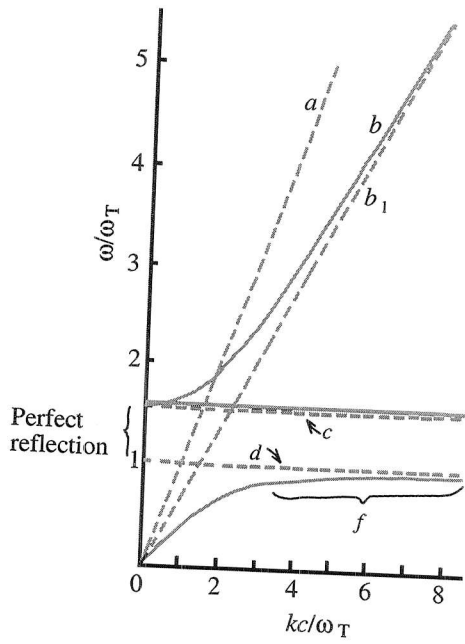


Fig. 6.30. Schematic diagram of the dispersion curves of an uncoupled light wave and lattice vibrations and of their coupled optical wave (called a phonon-polariton) in a polar crystal [6.68]. *a*: light in vacuo; *b*: photon-phonon coupled mode (upper polariton); *b₁*: photon dispersion in the medium but without coupling to the phonons; *c*, *d*: longitudinal and transverse uncoupled lattice vibrations, respectively; *f*: transverse phonons coupled to the photons (lower polaritons)

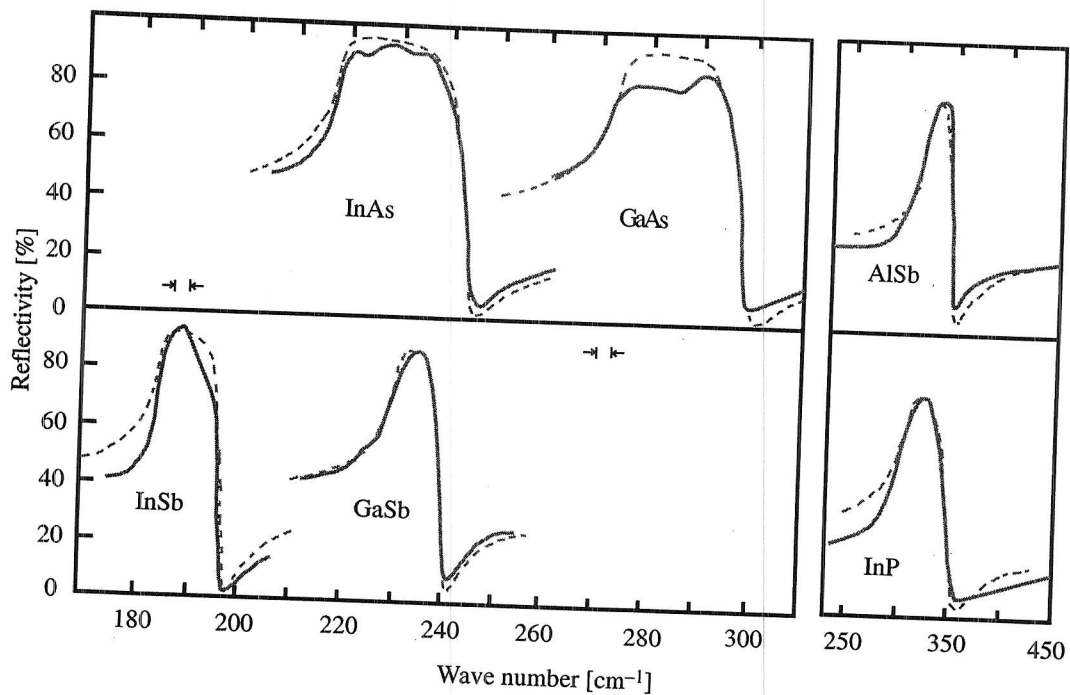


Fig. 6.32. Comparison between experimental (*solid curves*) lattice reflection spectra in several zinc-blende-type semiconductors with those calculated from (6.117b) using (6.8) (*broken curves*). The TO and LO phonon frequencies and the corresponding damping constants were adjusted to fit the experimental spectra. The spectra on the left-hand side were measured at liquid helium temperature; those on the right are room temperature spectra [6.69]

Table 6.5. The TO (ω_T) and LO phonon (ω_L) frequencies and the ratio of the damping constant (γ) to ω_T determined from lattice reflection spectra in several zinc-blende-type semiconductors [6.69] and from Raman scattering [6.72]

Semiconductor	Temperature [K]	ω_T [cm^{-1}]	ω_L [cm^{-1}]	γ/ω_T
InSb	4.2	184.7	197.2	<0.01
InAs	300	179.1	190.4	0.016
InP	4.2	218.9	243.3	<0.01
GaSb	300	307.2	347.5	0.01
GaAs	4.2	230.5	240.3	<0.01
GaP	296	268.2	291.5	0.007
GaN	300	366.3	401.9	0.003
AlSb	300	555	740	-
CdTe	1.2	318.8	339.6	0.0059
ZnSe	80	145	170	-
		211	257	0.01

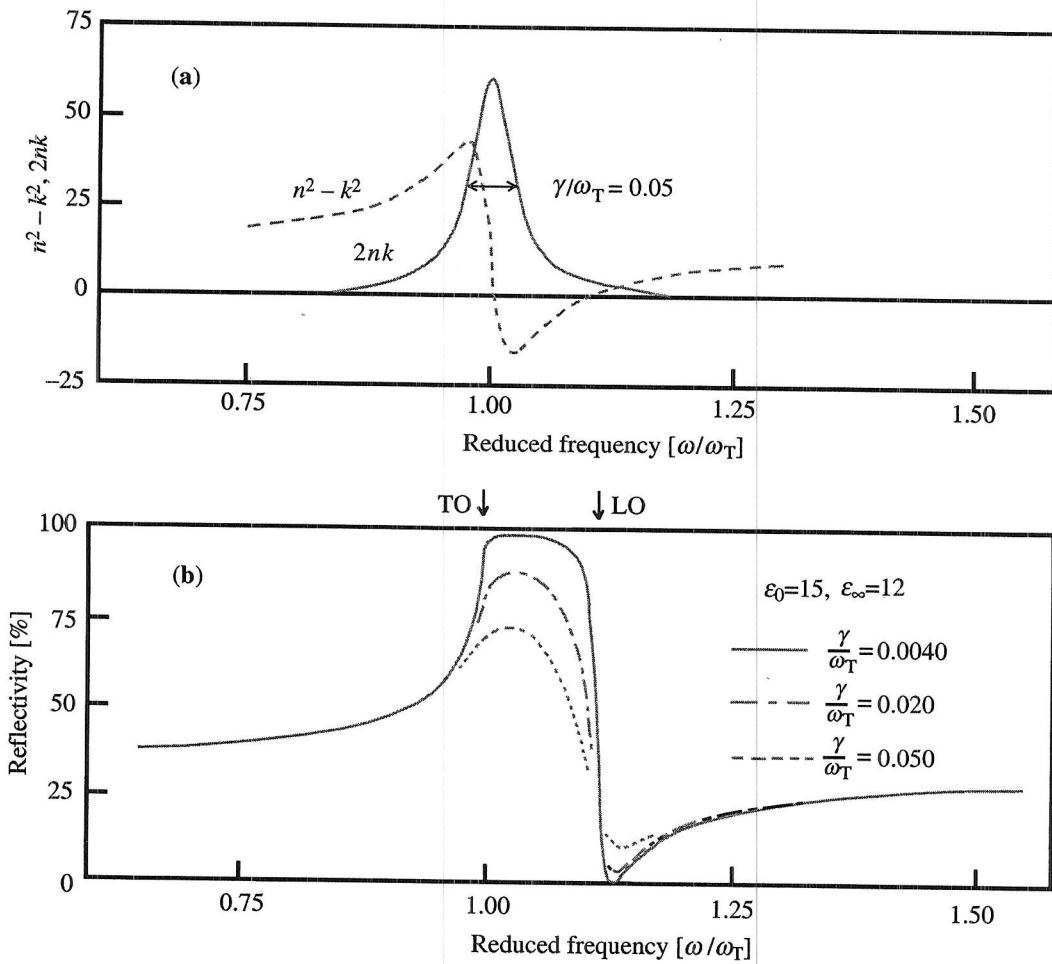


Fig. 6.31. Plot of (a) the real and imaginary parts of the complex dielectric constant and (b) the reflectivity coefficients calculated from (6.117b). The vertical arrows indicate the frequencies of the TO and LO phonons. Note the deep minimum in the reflectivity which corresponds to $\epsilon_r \approx 1$ [6.69]

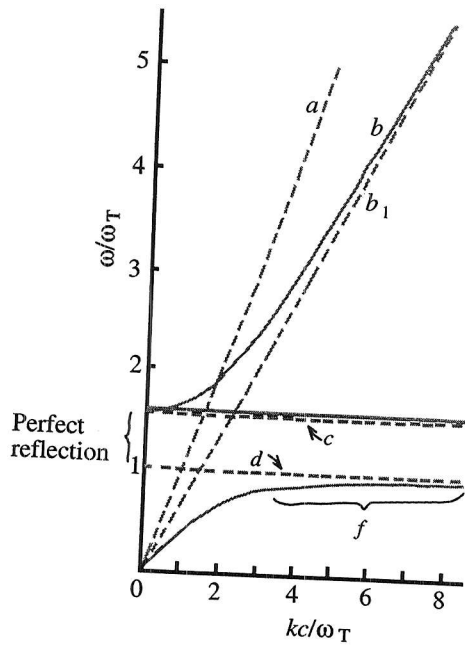


Fig. 6.30. Schematic diagram of the dispersion curves of an uncoupled light wave and lattice vibrations and of their coupled optical wave (called a phonon-polariton) in a polar crystal [6.68]. *a*: light in vacuo; *b*: photon-phonon coupled mode (upper polariton); *b₁*: photon dispersion in the medium but without coupling to the phonons; *c*, *d*: longitudinal and transverse uncoupled lattice vibrations, respectively; *f*: transverse phonons coupled to the photons (lower polaritons)

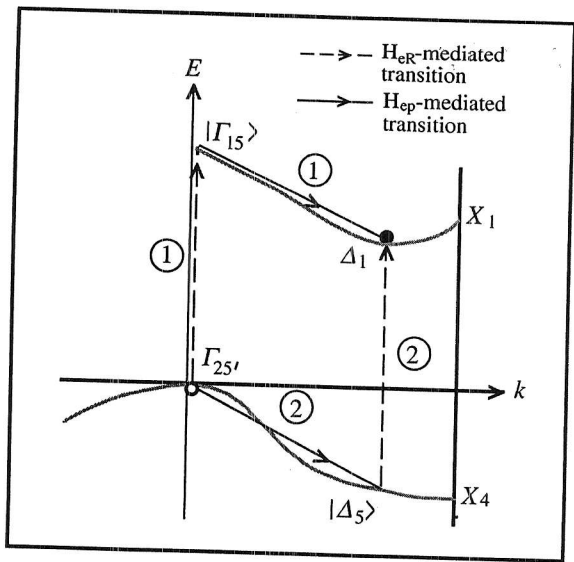


Fig. 6.16. Schematic band structure of Si as an indirect-bandgap semiconductor showing the phonon-assisted transitions (labeled 1 and 2) which contribute to the indirect absorption edge. $|\Gamma_{15}\rangle$ and $|\Delta_5\rangle$ represent intermediate states

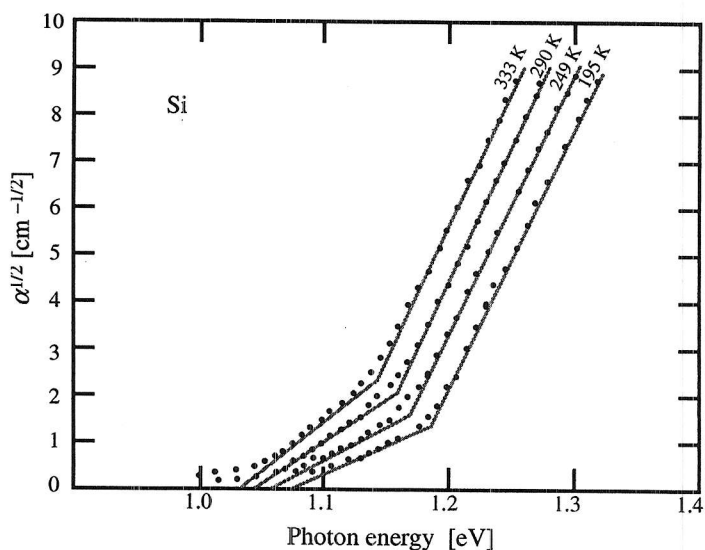


Fig. 6.19. Plots of the square root of the absorption coefficients of GaP versus photon energy at two different temperatures. The labels denote the exciton-enhanced absorption thresholds associated with the emission of various phonon modes. Note the square-root singularities at the onset of the various phonon-aided processes. These square-roots are typical of indirect excitonic absorption (e.g. without k conservation) [6.35]

Fig. 6.17. Plots of the square root of the absorption coefficients of Si versus photon energy at several temperatures. The two segments of a straight line drawn through the experimental points represent the two contributions due to phonon absorption and emission [6.33]

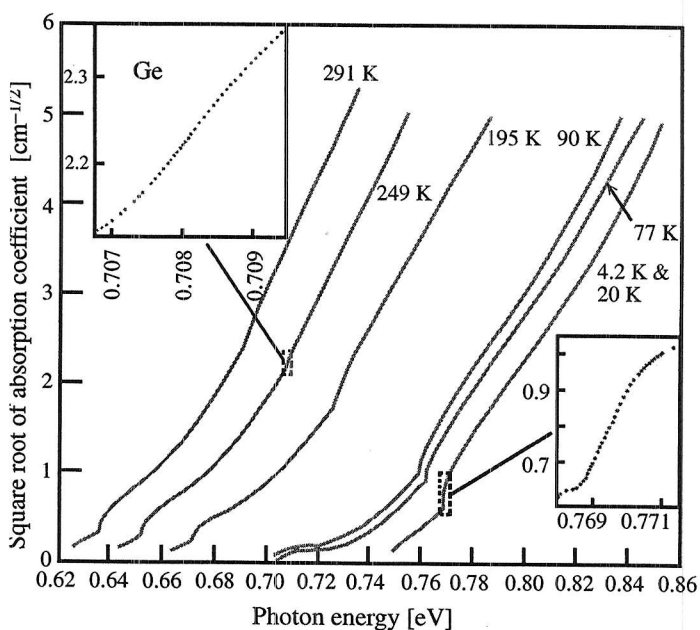
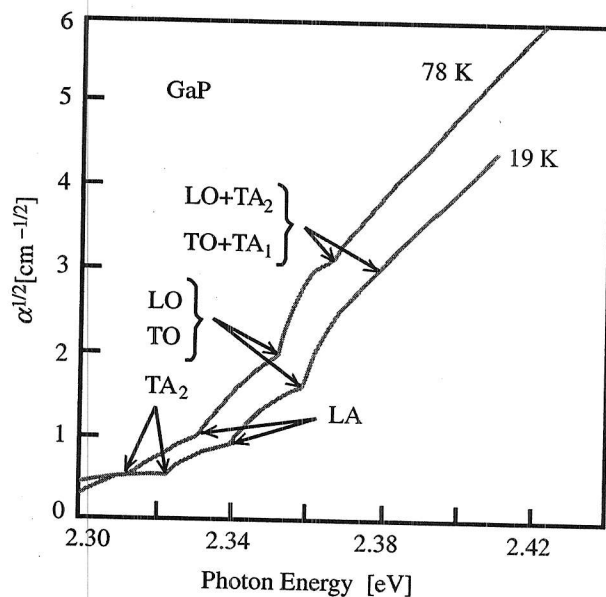


Fig. 6.18. Plots of the square root of the absorption coefficients of Ge versus photon energy at several temperatures. The two insets compare the exciton-induced abruptness of the absorption edge due to phonon emission at high and low temperatures [6.34]



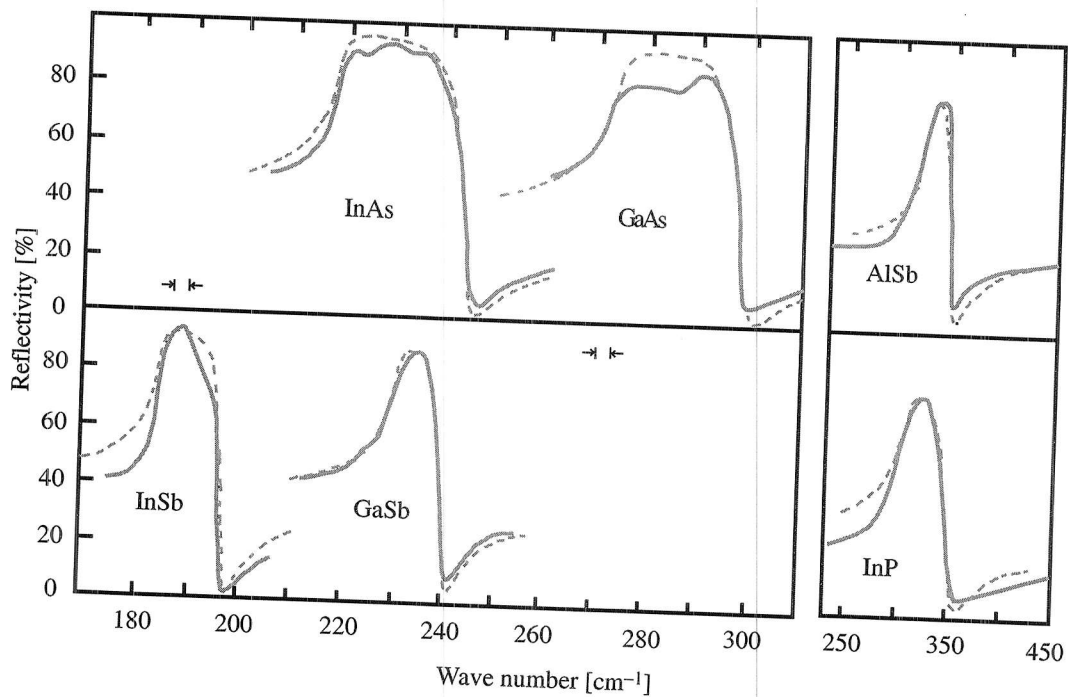


Fig. 6.32. Comparison between experimental (*solid curves*) lattice reflection spectra in several zinc-blende-type semiconductors with those calculated from (6.117b) using (6.8) (*broken curves*). The TO and LO phonon frequencies and the corresponding damping constants were adjusted to fit the experimental spectra. The spectra on the left-hand side were measured at liquid helium temperature; those on the right are room temperature spectra [6.69]

Table 6.5. The TO (ω_T) and LO phonon (ω_L) frequencies and the ratio of the damping constant (γ) to ω_T determined from lattice reflection spectra in several zinc-blende-type semiconductors [6.69] and from Raman scattering [6.72]

Semiconductor	Temperature [K]	ω_T [cm^{-1}]	ω_L [cm^{-1}]	γ/ω_T
InSb	4.2	184.7	197.2	<0.01
InAs	300	179.1	190.4	0.016
InP	4.2	218.9	243.3	<0.01
GaSb	300	307.2	347.5	0.01
GaAs	4.2	230.5	240.3	<0.01
GaP	4.2	273.3	297.3	<0.01
GaN	296	268.2	291.5	0.007
AlSb	300	366.3	401.9	0.003
CdTe	300	555	740	–
ZnSe	300	318.8	339.6	0.0059
	1.2	145	170	–
	80	211	257	0.01

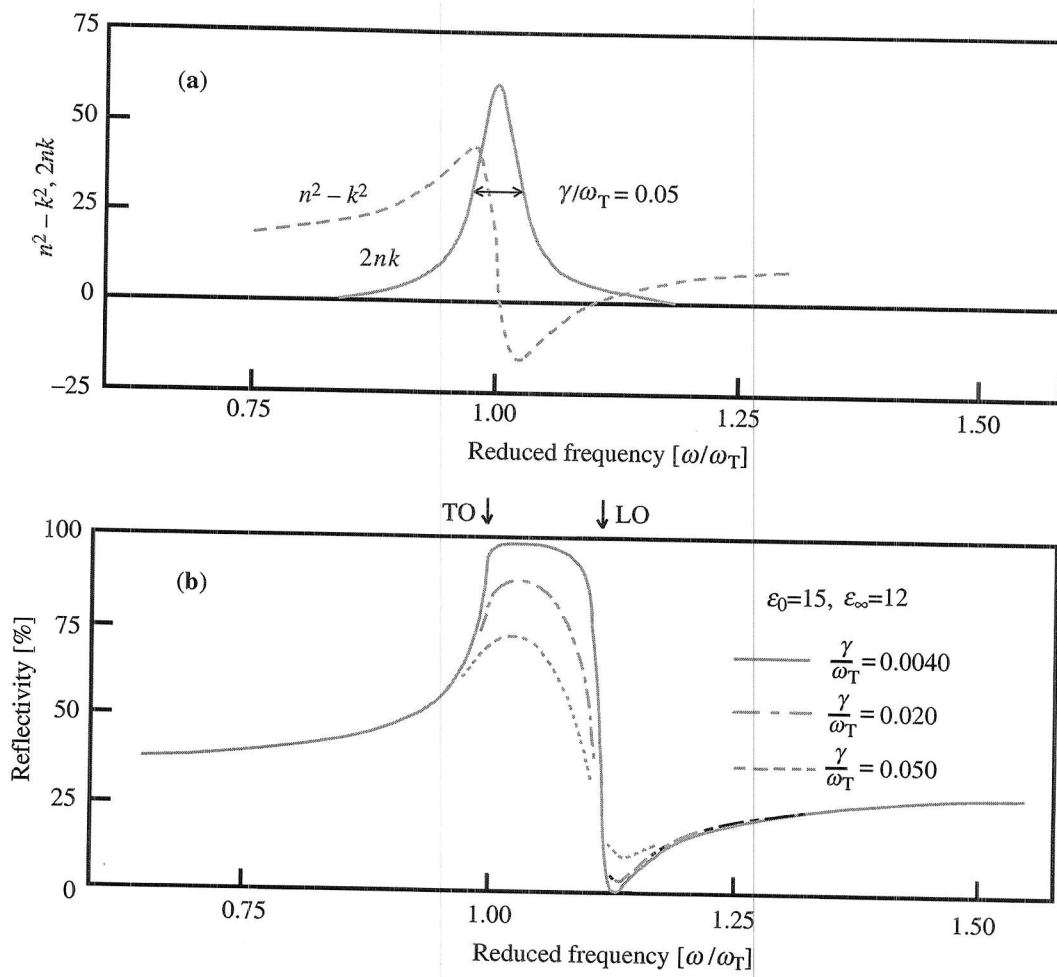


Fig. 6.31. Plot of (a) the real and imaginary parts of the complex dielectric constant and (b) the reflectivity coefficients calculated from (6.117b). The vertical arrows indicate the frequencies of the TO and LO phonons. Note the deep minimum in the reflectivity which corresponds to $\epsilon_r \approx 1$ [6.69]

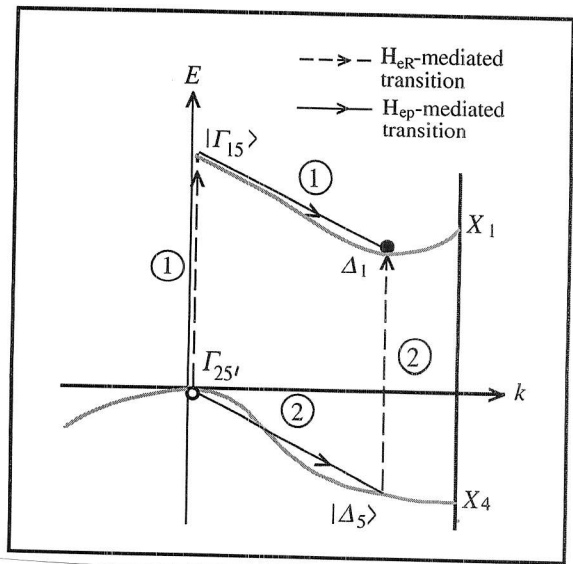


Fig. 6.16. Schematic band structure of Si as an indirect-bandgap semiconductor showing the phonon-assisted transitions (labeled 1 and 2) which contribute to the indirect absorption edge. $|\Gamma_{15}\rangle$ and $|\Delta_5\rangle$ represent intermediate states

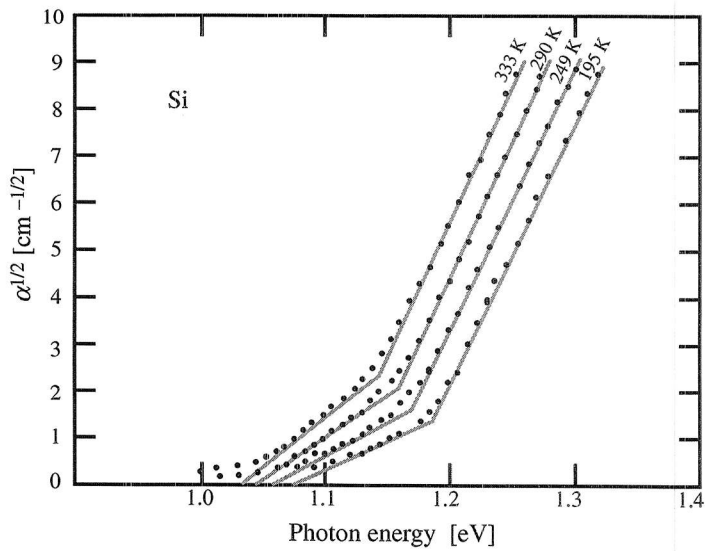


Fig. 6.17. Plots of the square root of the absorption coefficients of Si versus photon energy at several temperatures. The two segments of a straight line drawn through the experimental points represent the two contributions due to phonon absorption and emission [6.33]

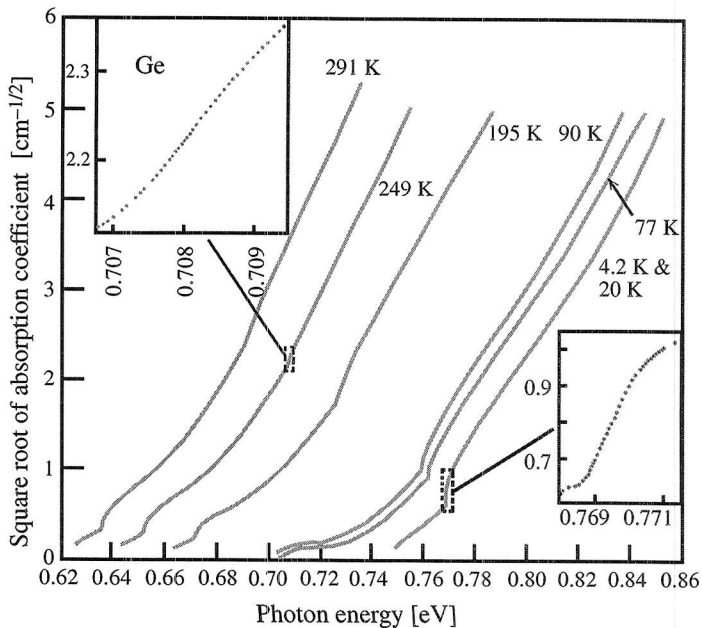


Fig. 6.18. Plots of the square root of the absorption coefficients of Ge versus photon energy at several temperatures. The two insets compare the exciton-induced abruptness of the absorption edge due to phonon emission at high and low temperatures [6.34]

Fig. 6.19. Plots of the square root of the absorption coefficients of GaP versus photon energy at two different temperatures. The labels denote the exciton-enhanced absorption thresholds associated with the emission of various phonon modes. Note the square-root singularities at the onset of the various phonon-aided processes. These square-roots are typical of indirect excitonic absorption (e.g. without k conservation) [6.35]

